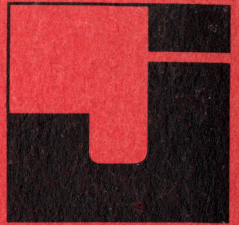


JERNINDUSTRIENS FORLAG



# Impulsteknik

1979

Opgaver

Jern- og Metalindustrien

## Forord

I tilslutning til de ajourførte kursusplaner for elektronikmekanikerlærlinges og EFG-elevs undervisning på teknisk skole blev lærebøgerne Elektronik-Apparatopbygning og Elektronik, der omfattede fem bind, udgivet i 1976 og 1977.

Lærebøgerne blev udarbejdet på Metalindustriens Læringsudvalgs foranledning af faglærere fra de tekniske skoler i samarbejde med Jernindustriens Forlag.

På grundlag af de erfaringer, der er gjort siden udgivelsen af 1. udgaverne, er der foretaget en omfattende revision af såvel instruktioner som øvelser og opgaver.

Endvidere har man fundet det hensigtsmæssigt at emneopdele lærebøgerne samt at undlade det apparatcentrerede materiale. Dette indebærer, at undervisningens modulopbygning kan ændres uden at ændre lærebøgerne, samt at bøgerne er uafhængig af apparatskift i undervisningen.

Lærebogsseriens 2. udgaver udgives derfor i følgende opdeling:

Elektronik – Apparatopbygning

LF og DC teknik

Impulsteknik

HF teknik

Elektronik – Appendiks

Denne lærebog – Impulsteknik – er opdelt i to bind, indeholdende henholdsvis instruktioner og opgaver.

Teoriinstruktionerne omfatter grundlæggende impulsteknik, multivibratorer og andre impulsgivere, talsystemer, logik, gatekredsløb, sekvenskredsløb, AD-DA konverter, servokredsløb og funktionsgenerator.

Teoriøvelserne omfatter teori og målinger, samt spørgsmål som eleverne besvarer skriftligt, og teoriopgaverne omfatter spørgsmålsblade, som besvares skriftligt af eleverne.

Bladene, der er perforeret og forsynet med huller, kan rives ud og indsættes i et ringbind, efterhånden som de anvendes.

Instruktions- og opgavenummereringen er placeret øverst på siderne.

Til brug ved undervisningen er lærebogen endvidere forsynet med fortløbende sidenummerering, der er placeret nederst på siderne.

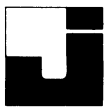
Kursusplanen, der ligger til grund for undervisningen, rekvireres i Direktoratet for erhvervsuddannelserne.

Forlaget vil være taknemmelig for at modtage eventuelle forslag til ændringer og rettelser fra såvel lærere og elever som andre interesserede.

Metalindustriens Efteruddannelsesudvalg og forlaget vil gerne takke de tekniske skoler og faglærerne for værdifuld medvirken og vejledning ved udarbejdelsen af denne 2. udgave.

København, august 1979

JERNINDUSTRIENS FORLAG



Nr.	TEORIØVELSER	SIDE
1.	<u>Grundlæggende impulsteknik</u>	
1.1	RC led - Op- og afladning	1
1.2	Integration og differentiation	5
1.3	Diodebegrænser	7
1.4	Diodeclampere	11
1.5	Transistoren som switch	17
1.6	TRIAC-styring	21
2.	<u>Multivibratorer og andre impulsgivere</u>	
2.1	Astabil multivibrator - AMV	23
2.2	Monostabil multivibrator - MMV	29
2.3	Bistabil multivibrator - BMV	33
2.4	Schmitt-trigger - ST	37
2.5	Comperator - Analog	43
2.6	Relaxationsoscillator	45
2.7	Emitterkoblet AMV	47
2.8	Integreret astabil multivibrator - 8T14	49
2.9	Integreret monostabil multivibrator - SN74122	51
4.	<u>Logik</u>	
4.1	Gates - AND, OR, NAND, NOR, INV	53
4.2	Logikformer	57
5.	<u>Gatekredsløb</u>	
5.1	AND-OR-INV-gate	61
5.2	EX-OR-gate	63
5.3	Størrelsesdetektor - Parity-bitgenerator	65
5.4	Data selektor-multiplekser	67
5.5	BCD adder	71
6.	<u>Sekvenskredsløb</u>	
6.1	RS flip-flop	75
6.2	D flip-flop	81
6.3	JK flip-flop	85
6.4	Asynkrontæller	91
6.5	Synkrontæller	97
6.6	Skifteregister	103
6.7	Ringtæller	105
6.8	RAM	107
7.	<u>AD-DA konverter</u>	
7.1	Digital/analog-konverter	111
7.2	Digitalvoltmeter - A/D-konverter	113



Nr.	TEORIOPGAVER	SIDE
1.	<u>Grundlæggende impulsteknik</u>	
1.1	Impulsdefinitioner	115
1.2	RC led - Op- og afladning	117
1.3	Integration og differentiation	119
1.4	Diodebegrænser og klipper	123
1.5	Clamperkredsløb	125
1.6	Tyristorer - 4-lags-halvledere	127
1.7	Optoelektriske transducere	131
1.8	Integreret kredsløb	133
1.9	Kredsløbsfamilier	135
1.10	Fejlsøgningsinstrumenter	137
2.	<u>Multivibratorer og andre impulsgivere</u>	
2.1	Astabil multivibrator	139
2.2	Monostabil multivibrator	143
2.3	Bistabil multivibrator	147
2.4	Schmitt-trigger	149
2.5	Unijunction transistoren	151
2.6	Emitterkoblet astabil multivibrator	155
2.7	Multivibratorer med tunneldioder	157
2.8	Multivibratorer med integrerede kredsløb	159
2.9	Analog comperator	161
3.	<u>Talsystemer</u>	
3.1	Binært talsystem	163
3.2	Regning med binære tal - Maskinaritmetik	165
3.3	Koder	167
4.	<u>Logik</u>	
4.1	Gates	169
4.2	Logikformer	171
4.3	Boole's algebra	173
5.	<u>Gatekredsløb</u>	
5.1	Specielle AND-OR funktioner	179
5.2	Exclusive OR-gate	181
5.3	Dekoder	183
5.4	Størrelsesdetektor	191
5.5	Paritetskontrol	193
5.6	Multiplekser	195
5.7	Hazard i gatekredsløb	199
5.8	Additions- og subtraktionskredsløb	201
6.	<u>Sekvenskredsløb</u>	
6.1	Flip-flop's	209
6.2	Tæller- og delerkredsløb	221
6.3	Skifteregistre	233
6.4	Hukommelser - Memories	237



Nr.	TEORIOPGAVER	SIDE
7.	<u>AD-DA konverter</u>	
7.1	Digital/analog konvertere - DAC	243
7.2	Analog/digital konvertere - ADC	245
7.3	Digitalvoltmeter - DVM	251
8.	<u>Servokredsløb</u>	
8.1	Servokredsløb	253
9.	<u>Funktionsgenerator</u>	
9.1	Funktionsgenerator	257



DISPOSITION

1. Tidskonstant
2. Spændingsforløbet over modstanden ved opladning
3. Spændingsforløbet over modstanden ved afladning
4. Spændingsforløbet over kondensatoren ved op- og afladning
5. Standardkurve og formel
6. Eksempel
7. Koordinatsystem

UDSTYR

Elektrovoltmeter  $R_i = 10 \text{ M}\Omega$ , spændingsforsyning

MATERIALE

3 stk. kondensator  $1,5 \text{ }\mu\text{F}$

1. TIDSKONSTANT

## 1.1 Definition

- et RC leds tidskonstant  $\tau$  er produktet af  $R \cdot C$  indsat i grundenhederne ohm og farad, og opgives i sekunder

$$\tau = R \cdot C$$

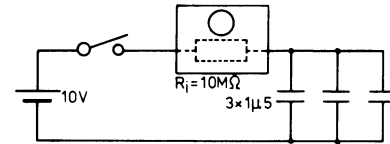
1.2 Beregn  $\tau$ 

Eksempler:

- a. for  $R = 12 \text{ k}\Omega$  og  $C = 47 \text{ nF}$   
 $\tau =$  \_\_\_\_\_
- b. for  $R = 1 \text{ k}\Omega$  og  $C = 120 \text{ pF}$   
 $\tau =$  \_\_\_\_\_
- c. for  $R = 10 \text{ M}\Omega$  og  $C = 4,5 \text{ }\mu\text{F}$   
 $\tau =$  \_\_\_\_\_

2. SPÆNDINGSFORLØBET OVER MODSTANDEN VED OPLADNING

## 2.1 Opbyg opstillingen

2.2 Beregn  $\tau$ 

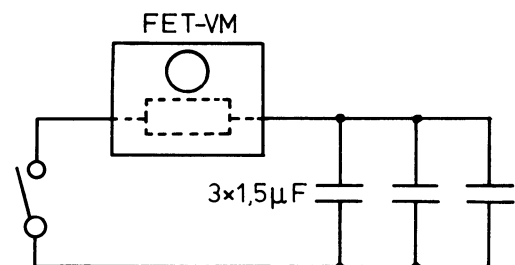
$$\tau =$$

2.3 Optag kurven  $U_{Rop} = f(t)$ 

- indtegn målingerne i koordinatsystemet pkt. 7
- optag med 10 s mellem hver aflæsning
- den optagne kurve viser ladestrømmen til kondensatoren
- strømmens størrelse kan findes ved hjælp af ohm's lov

3. SPÆNDINGSFORLØBET OVER MODSTANDEN VED AFLADNING3.1 Oplad kondensatorerne til 10 V  
- læg kondensatorerne parallelt over spændingsforsyningen

## 3.2 Opbyg opstillingen

3.3 Optag kurven  $U_{Raf} = f(t)$ 

- indtegn i koordinatsystemet pkt. 7

3.4 Beskriv, hvorfor  $U_R$  skifter polaritet ved afladning i forhold til opladning



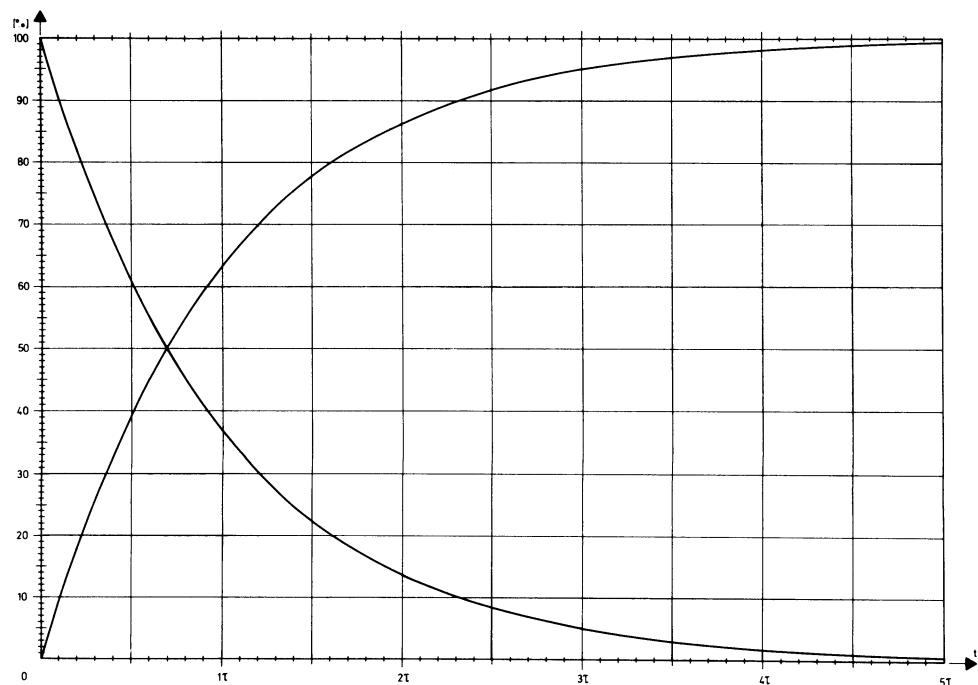
4. SPÆNDINGSFORLØBET OVER KONDENSATOREN VED OP- OG AFLADNING

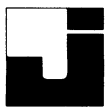
- 4.1 Tegn kurven  $U_{C_{op}} = f(t)$  i koordinatsystemet pkt. 7  
- idet  $U_{C_{op}} = 10 - U_R$
- 4.2 Tegn  $U_{C_{af}} = f(t)$  i koordinatsystemet pkt. 7
- 4.3 Beskriv, efter hvilken funktion  $U_{C_{op}} = f(t)$  forløber
- 4.4 Beregn spændingsforløbet over kondensatoren ved opladning  
 $U_C$  ved tiden  $\tau = 63\%$  af  $10\text{ V} =$  \_\_\_\_\_ V  
 $U_C$  ved tiden  $2\tau =$  \_\_\_\_\_ V  
 $6,3 + 63\%$  af  $(10 - 6,3) =$  \_\_\_\_\_ V  
 $U_C$  ved tiden  $3\tau =$  \_\_\_\_\_ V  
 $U_C$  ved tiden  $4\tau =$  \_\_\_\_\_ V  
 $U_C$  ved tiden  $5\tau =$  \_\_\_\_\_ V  
- tegn de beregnede punkter ind i koordinatsystem pkt. 7

- 4.5 Efter hvilken funktion forløber  $U_{C_{af}} = f(t)$ ?
- 4.6 Beregn spændingsforløbet over kondensatoren ved afladning  
 $U_C$  ved tiden  $\tau = 37\%$  af  $10\text{ V} =$  \_\_\_\_\_ V  
 $U_C$  ved tiden  $2\tau =$  \_\_\_\_\_ V  
 $U_C$  ved tiden  $3\tau =$  \_\_\_\_\_ V  
 $U_C$  ved tiden  $4\tau =$  \_\_\_\_\_ V  
 $U_C$  ved tiden  $5\tau =$  \_\_\_\_\_ V  
- tegn de beregnede punkter ind i koordinatsystem pkt. 7

5. STANDARDKURVE OG FORMEL

- 5.1 Til brug ved opgaveløsning m.m. anvendes op- og afladningskurver for RC og RL led m.m.





5.2 Til brug for opgaveløsning ved hjælp af elektronregnere kunne det være nyttigt at kende den formel, som ligger til grund for opladningskurven

$$U_C = U \left( 1 - e^{-\frac{t}{RC}} \right)$$

U : Ladespændingen

e : Eulerske tal 2,71828.....

t : Tiden i sekunder

R : Modstanden i ohm

C : Kondensatoren i farad

$U_C$  : Spændingen over kondensatoren ved tiden t

## 6. EKSEMPEL

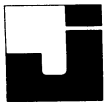
6.1 Beregn, hvor meget en kondensator på  $0,75 \mu\text{F}$  vil være ladet op til, når den sidder i serie med  $10 \text{ M}\Omega$  efter 15 s, 30 s og 80 s - ladespændingen er 7,5 V

$U_C$  15 s : \_\_\_\_\_

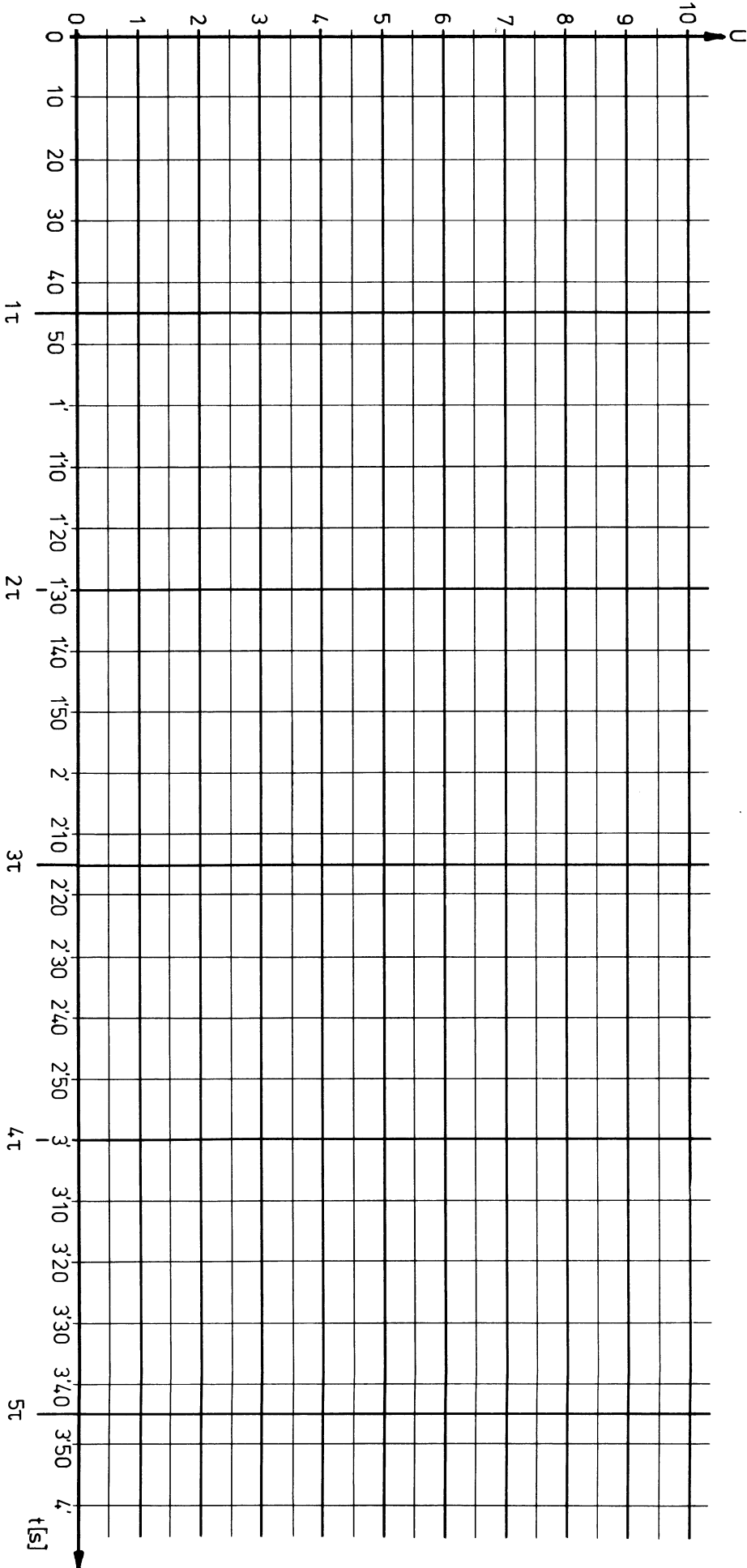
30 s : \_\_\_\_\_

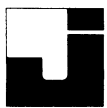
80 s : \_\_\_\_\_

6.2 Afprøv, om det stemmer i praksis



7. KOORDINATSYSTEM





DISPOSITION

- 1. Integration
- 2. Differentiation

UDSTYR

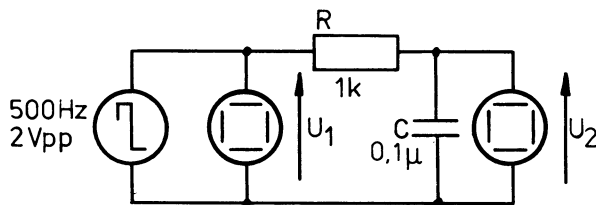
Firkantgenerator, oscilloskop

MATERIALE

- 1 stk. kondensator 0,1  $\mu$ F
- 1 stk. modstand 1 k $\Omega$
- 1 stk. modstand 10 k $\Omega$
- 1 stk. modstand 100 k $\Omega$

1. INTEGRATION

1.1 Måleopstilling



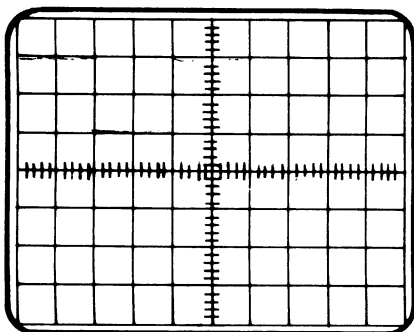
1.2 Beregn  $\tau$

$\tau =$

1.3 Beregn impulstiden

$t_p =$

1.4 Mål  $U_1$  og  $U_2$

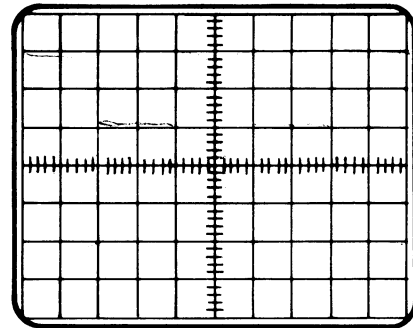


1.5 Udskift R med en 10 k $\Omega$  's modstand

1.6 Beregn  $\tau$

$\tau =$

1.7 Mål  $U_1$  og  $U_2$

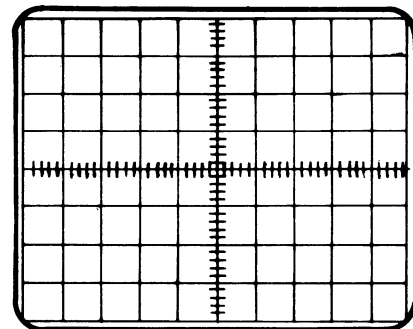


1.8 Udskift R med 100 k $\Omega$  's modstand

1.9 Beregn  $\tau$

$\tau = 10ms$

1.10 Mål  $U_1$  og  $U_2$



1.11 Angiv, hvilken af de tre  $\tau$  der giver den bedste integration?

---

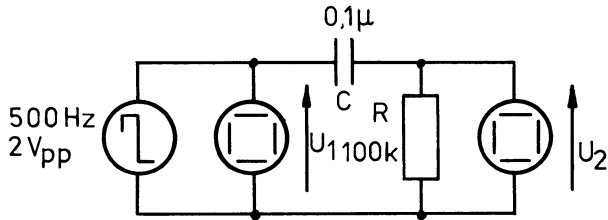


---



2. DIFFERENTIATION

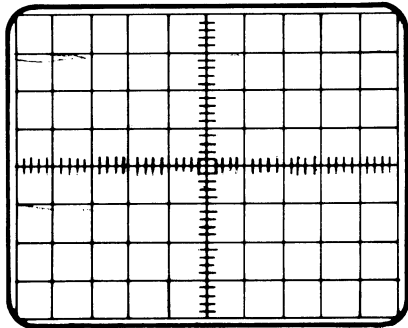
2.1 Måleopstilling



2.2 Angiv  $\tau$

$\tau =$

2.3 Mål  $U_1$  og  $U_2$

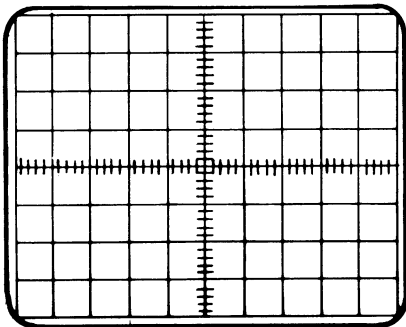


2.4 Udskift R med 10 kΩ

2.5 Angiv  $\tau$

$\tau =$

2.6 Mål  $U_1$  og  $U_2$

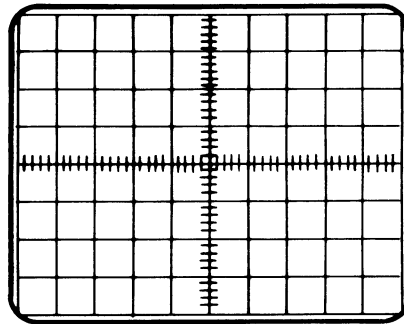


2.7 Udskift R med 1 kΩ

2.8 Angiv  $\tau$

$\tau =$

2.9 Mål  $U_1$  og  $U_2$



2.10 Skriv, hvilken  $\tau$  der giver den bedste differentiering

---

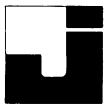


---

2.11 Ændrer firkantgeneratorens frekvens, indtil der lige netop forekommer en tilfredsstillende differentiering

2.12 Beregn forholdet mellem  $\tau$  og impulstiden

$\frac{t_p}{\tau} =$

DISPOSITION

1. Paralleldiodebegrænsere
2. Seriediodebegrænsere

UDSTYR

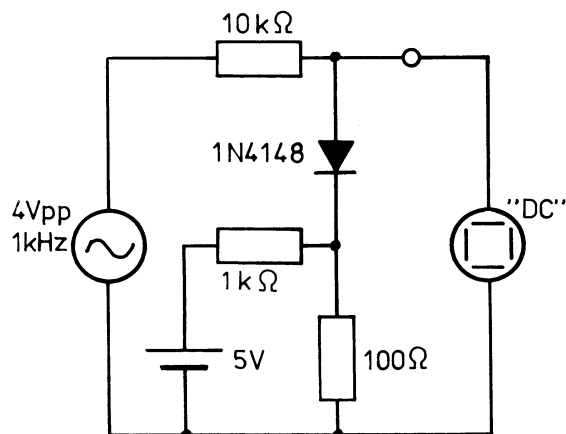
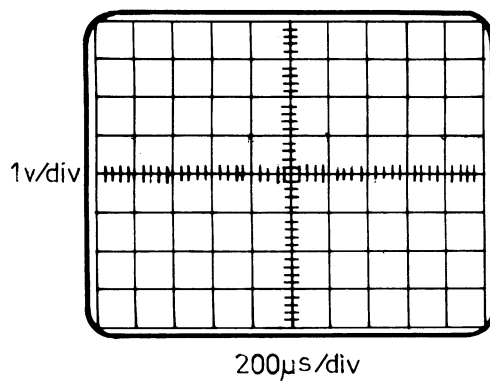
Oscilloskop, tonegenerator, stabiliseret spændingsforsyning

MATERIALE

- 2 stk. diode 1N 4148
- 1 stk. modstand  $10\text{ k}\Omega$
- 1 stk. modstand  $1\text{ k}\Omega$
- 1 stk. modstand  $100\ \Omega$

1. PARALLELDIODEBEGRÆNSERE

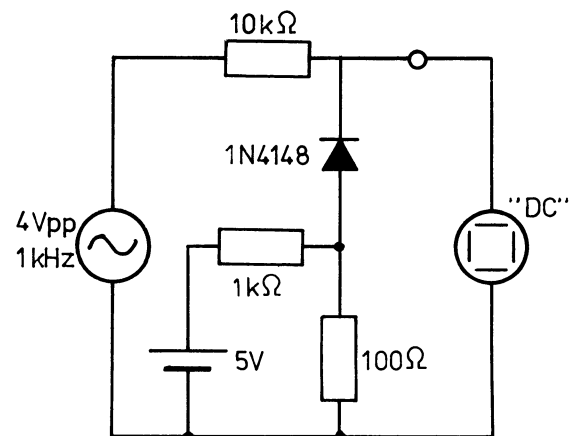
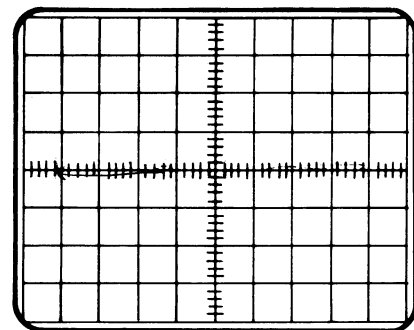
## 1.1 Opbyg kredsløb

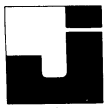
1.2 Tegn oscilloskopbilledet  
- angiv  $U_{p+}$  og  $U_{p-}$ 1.3 Varier forspændingen til dioden  
- betragt samtidigt oscilloskopet1.4 Afkryds, hvad der sker, når forspændingen gøres større 

Der klippes mere af sinusspændingen

Der klippes mindre af sinusspændingen

## 1.5 Opbyg kredsløb

1.6 Tegn oscilloskopbilledet  
- angiv  $U_{p+}$  og  $U_{p-}$ 1.7 Varier forspændingen til dioden  
- betragt samtidigt oscilloskopet



1.8 Afkryds, hvad der sker, når forspændingen gøres større

Der klippes mere af sinusspændingen

Der klippes mindre af sinusspændingen

1.9 Tegn kredsløbet, der begrænser som vist

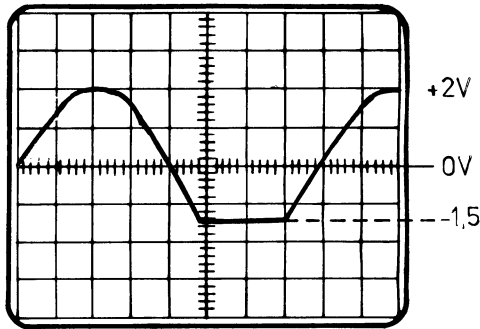
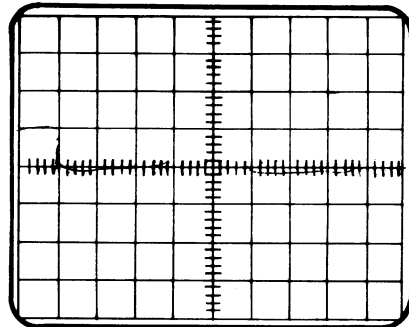


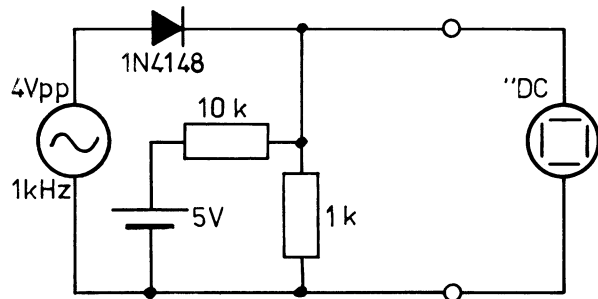
DIAGRAM:

1.11 Tegn oscilloskopbilledet - angiv  $U_{p+}$  og  $U_{p-}$

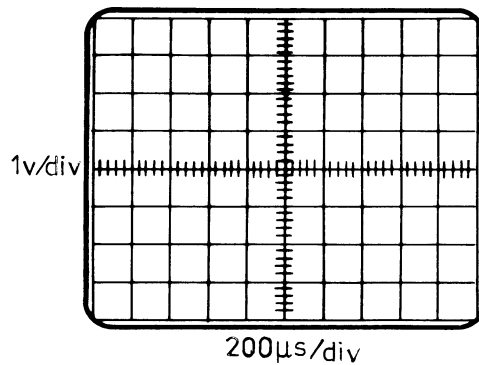


## 2. SERIEDIODEBEGRÆNSER

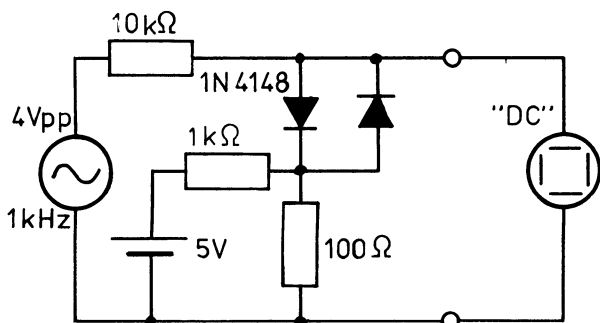
2.1 Opbyg kredsløb



2.2 Tegn oscilloskopbilledet - angiv  $U_{p+}$  og  $U_{p-}$



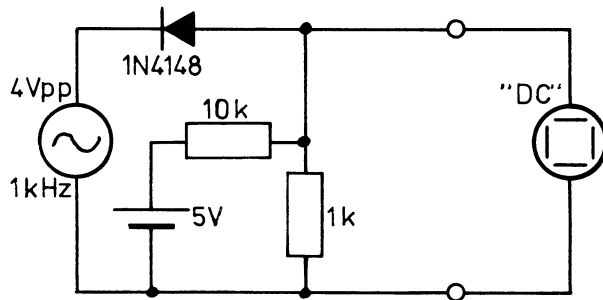
1.10 Opbyg kredsløb



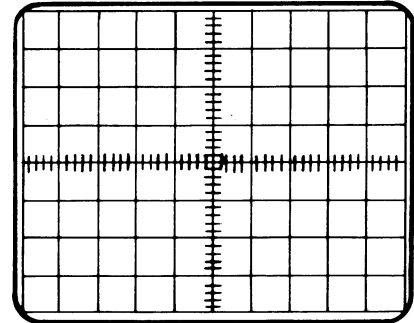
2.3 Varier forspændingen til dioden - betragt samtidigt oscilloskopet



2.4 Opbyg kredsløb

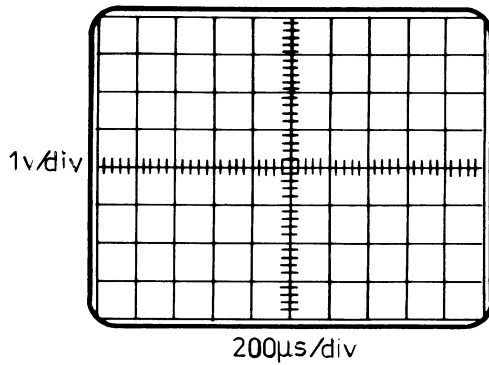


- tegn kurveformen
- angiv  $U_{p+}$  og  $U_{p-}$

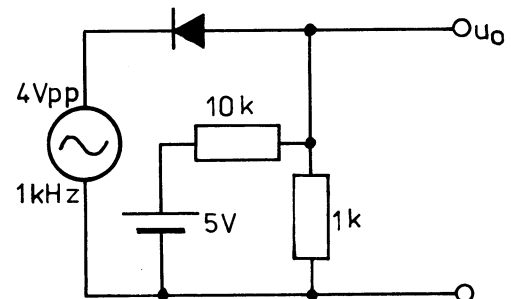


2.5 Tegn oscilloskopbilledet

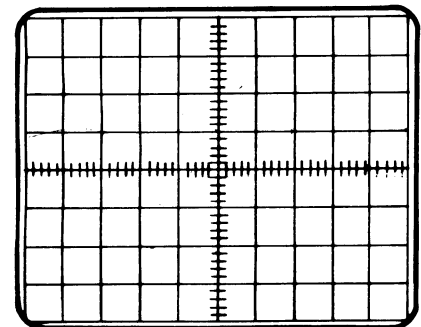
- angiv  $u_{p+}$  og  $u_{p-}$



2.8 Hvorledes ser  $u_o$  ud for viste kredsløb?

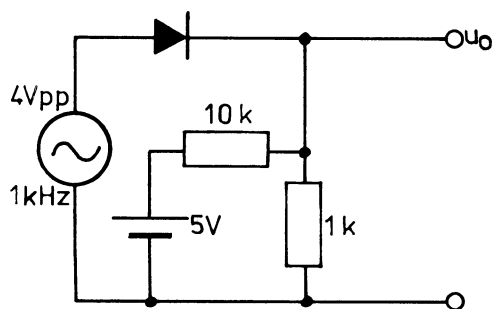


- tegn kurveformen
- angiv  $u_{p+}$  og  $u_{p-}$



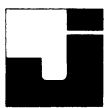
2.6 Varier forspændingen til dioden  
- betragt samtidigt oscilloskopet

2.7 Hvorledes ser  $U_o$  ud for viste kredsløb?



2.9 Opbyg opstillingerne i pkt. 2.7 og 2.8

- kontroller kurverne

DISPOSITION

1. Clampingkredsløb
2. Clampere med forspænding

UDSTYR

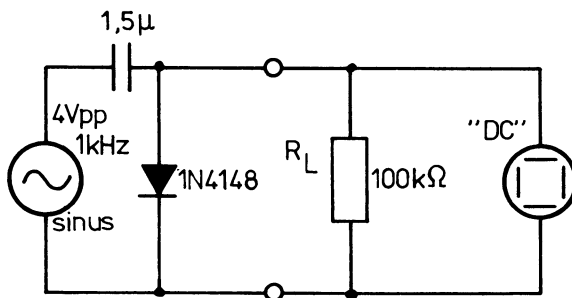
Oscilloskop, sinus/firkantgenerator, universalpanel, stabiliseret spændingsforsyning

MATERIALE

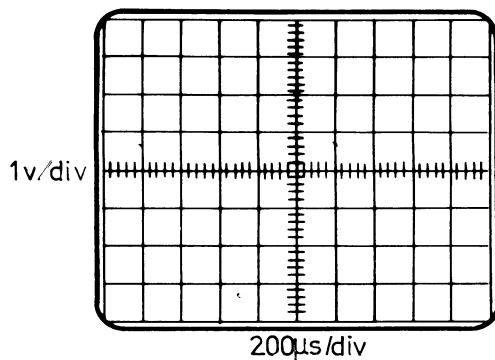
- 1 stk. diode 1N 4148
- 1 stk. kondensator  $1,5 \mu\text{F}$
- 1 stk. modstand  $1 \text{ k}\Omega$
- 1 stk. modstand  $10 \text{ k}\Omega$
- 1 stk. modstand  $100 \text{ k}\Omega$

1. CLAMPINGKREDSLØB

- 1.1 Opbyg viste negative clamper
  - juster oscilloskopprobe inden tilslutning



- 1.2 Tegn kurven på udgangen
  - angiv 0 linie,  $+U_p$  og  $-U_p$  på tegningen



- 1.3 Afkryds, om generatorspændingen er symmetrisk omkring 0 V

Ja Nej 

- 1.4 Afkryds, om clamperens  $U_o$  er symmetrisk omkring 0 V

Ja Nej 

- 1.5 Prøv at ændre generatorspændingens amplitude, betragt samtidig oscilloskopbilledet
  - hvad sker der?

---



---



---



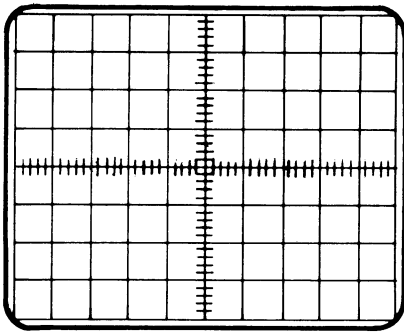
---

- 1.6 Skriv, til hvilket niveau spændingen er clampet

\_\_\_\_\_ V



- 1.7 Skift  $R_L$  til  $1\text{ k}\Omega$   $U_G = 4\text{ V}_{pp}$ 
  - tegn oscilloskopbilledet
  - angiv 0 V DC



- 1.8 Beskriv, hvad der deformerer kurveformer

---



---

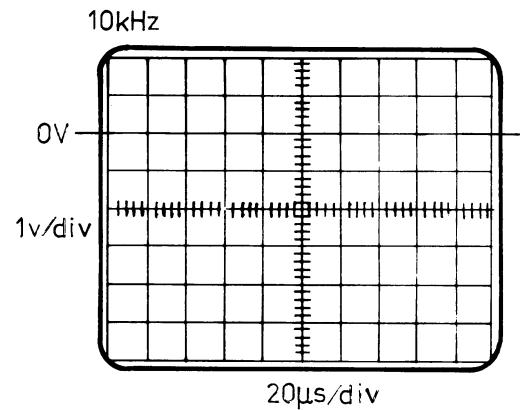
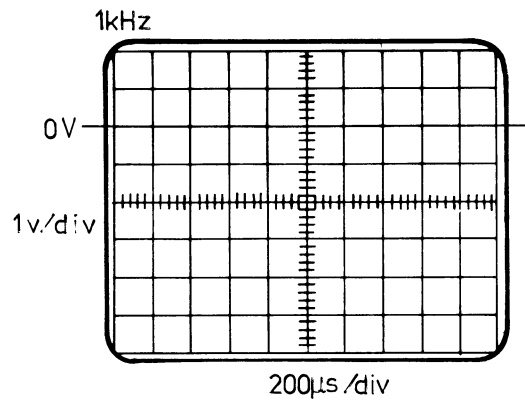
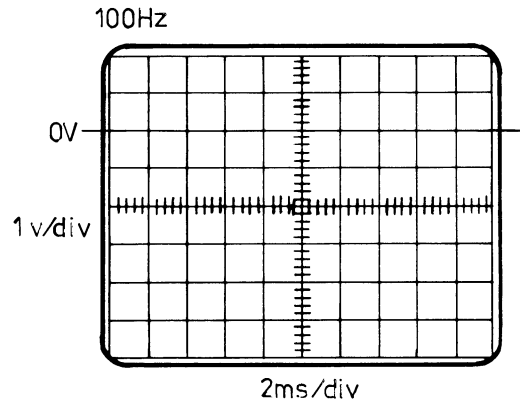


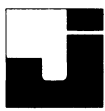
---



---

- 1.9 Skift  $R_L$  til  $100\text{ k}\Omega$ 
  - skift  $U_G$  fra sinus til firkantspænding  $U_G = 4\text{ V}_{pp}$
- 1.10 Tegn oscilloskopbilledet
  - ved 100 Hz, 1 kHz og 10 kHz

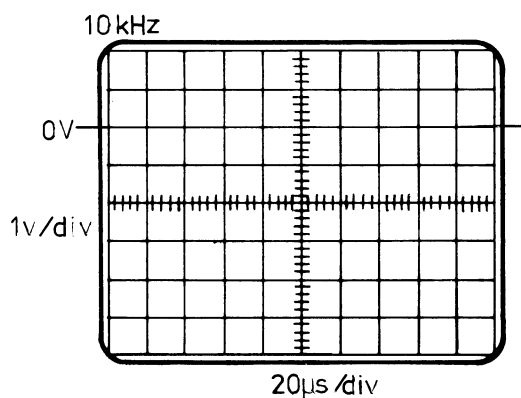
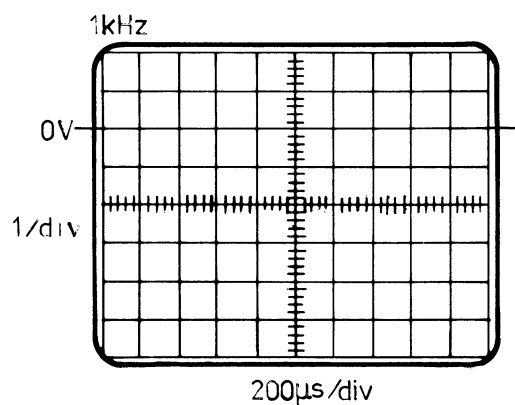
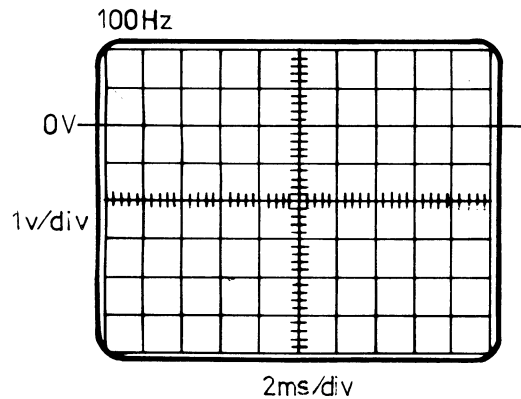


1.11 Skift  $R_L$  til  $1\text{ k}\Omega$ 

$$U_G = 4\text{ V}_{pp}/\text{firkant}$$

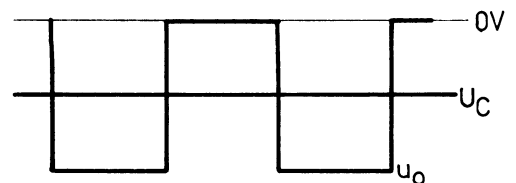
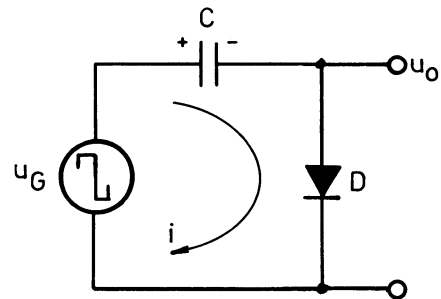
1.12 Tegn oscilloskopbilledet

- ved 100 Hz, 1 kHz og 10 kHz

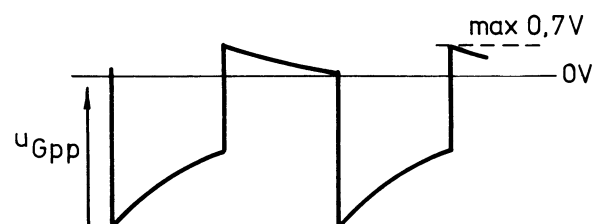
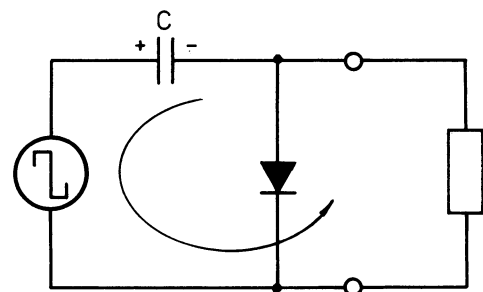


1.13 Clamper

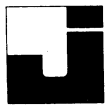
- når clamperen arbejder uden belastning, oplades kondensatoren  $C$  til generatorens spidsværdi



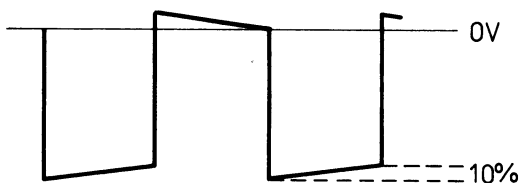
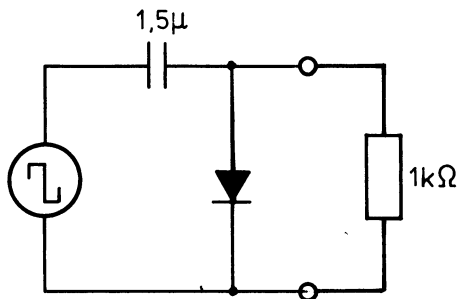
- spændingen over  $C$  er da en konstant DC, som ikke kan aflades, fordi dioden vil spærre for en strøm i modsat retning
- når clamperen belastes, kan spændingen over  $C$  aflades igennem belastningsmodstanden



- kurvens udseende afhænger af belastning og impulsbredde

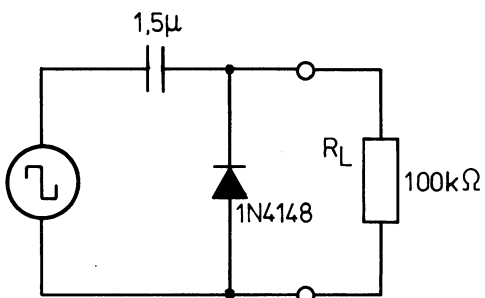


- 1.14 Find maksimum impulsbredde til viste kredsløb  
 - når amplituden højst må ændres 10% på grund af belastningen

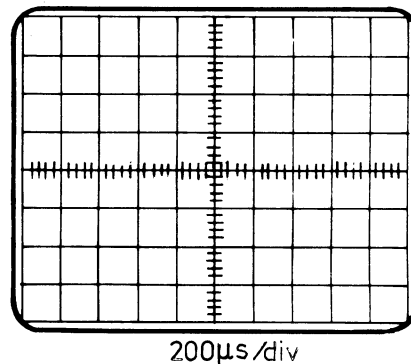


maks. impulsbredde = \_\_\_\_\_ μs

- 1.15 Opbyg viste kredsløb



- 1.16 Tegn udgangsspændingen  
 - med  $U_G = 4 \text{ V}_{pp}/1 \text{ kHz}$   
 - angiv 0 V DC



- 1.17 Afkryds, om udgangssignalet forskydes i positiv eller negativ retning

Positiv   
 Negativ

- 1.18 Hvad hedder kredsløbet i pkt. 1.15, når kredsløbet i pkt. 1.1 kaldes en negativ clamper

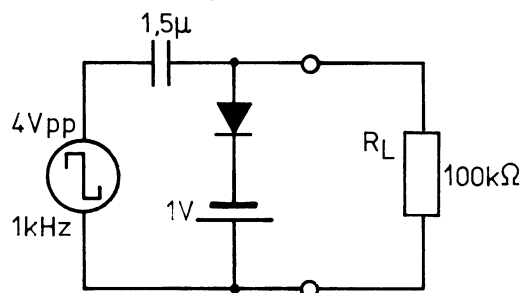
---



---

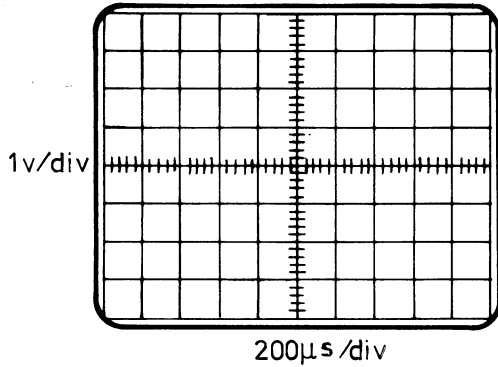
## 2. CLAMPERE MED FORSPÆNDING

- 2.1 Opbyg kredsløb

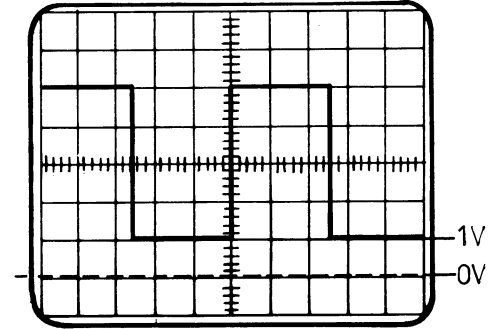




2.2 Tegn oscilloskopbilledet - angiv nullinie



2.6 Tegn diagrammet af positiv clamper, der clamper spændingen til +1 V



2.3 Skriv, hvor stor en DC spænding kondensatoren er opladet til

\_\_\_\_\_ V

DIAGRAM:

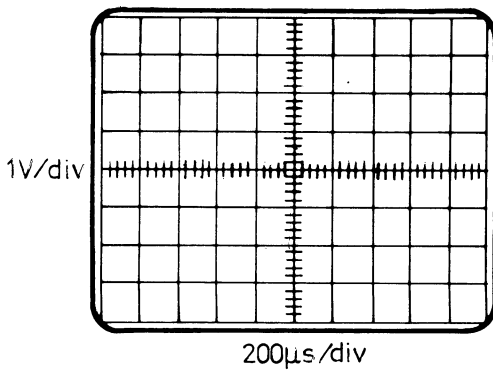
2.4 Hvad sker der, hvis polariteten på forspændingen ændres?

\_\_\_\_\_

\_\_\_\_\_

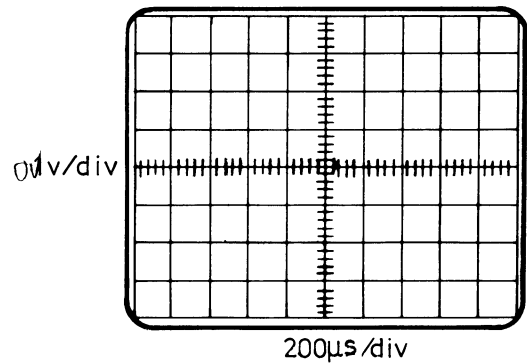
\_\_\_\_\_

2.5 Tegn oscilloskopbilledet - angiv nullinie



2.7 Afprøv diagrammet

2.8 Vend forspændingen om - tegn oscilloskopbilledet



DISPOSITION

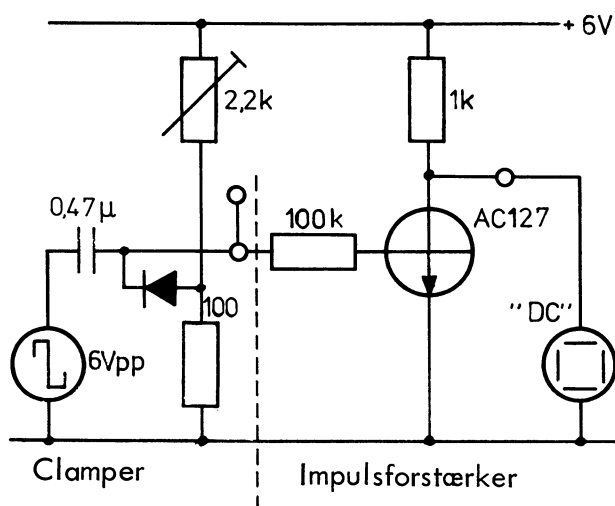
1. Måleopstilling med AC127
2. Måling på BSX20

UDSTYR

Måleopstilling, oscilloskop, sinus/firkantgenerator

MATERIALE

1 stk. kondensator 2,2 nF

1. MÅLEOPSTILLING MED AC127

- imellem generator og impulsforstærker er indsat en clamper
- clamperen har til opgave at ændre den spændingssymmetriske udgang på generatoren til en asymmetrisk udgang



## 1.1 Forbind måleopstillingen

- juster potentiometer til clamping ved 0 V
- juster generator, således at transistoren netop lige er i mætning, dvs. ingen ændring af  $U_{CE}$  ved forøget  $U_{in}$
- generatorfrekvensen sættes til 200 Hz

1.2 Mål  $u_o$  og  $U_{CC}$  med oscilloskop

$$u_{oss} = \underline{\hspace{2cm}}$$

$$U_{CC} = \underline{\hspace{2cm}}$$

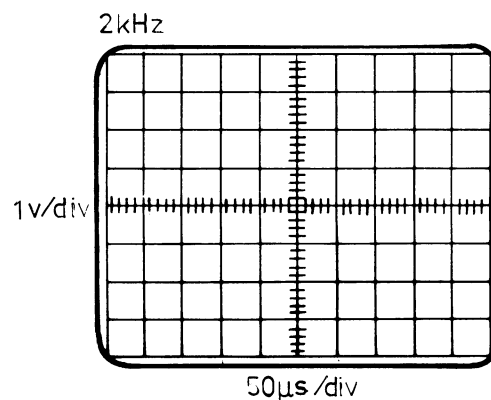
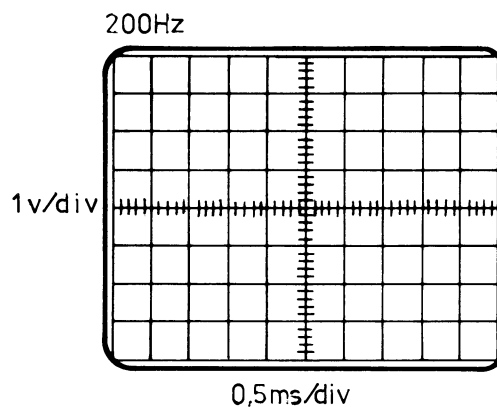
- sammenlign  $u_o$  med  $U_{CC}$

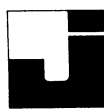
## 1.3 Mål restspændingen over transistoren, når den er i mætning

$$U_{CE} = \underline{\hspace{2cm}}$$

## 1.4 Tegn oscilloskopbilledet ved 200 Hz og 2 kHz

- juster proben inden måling
- tegn  $U_{in}$  og  $U_o$





1.5 Beskriv, hvad årsagen er til den ændrede kurvefacon på  $u_o$ -kurverne i pkt. 1.4

---



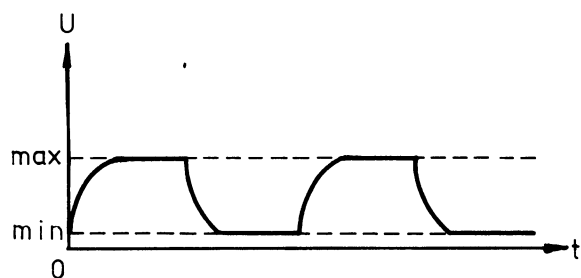
---



---

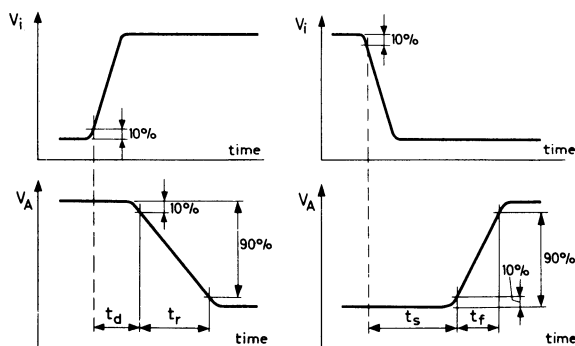
1.6 Firkantimpulsens tider i switch-transistoren

- tegningen viser en typisk firkantimpuls med afrundede for- og bagflanker



- på grund af de afrundede flanker er det vanskeligt at fastlægge, hvor lang tid det tager spændingen at gå fra min.- til maks.-værdien eller omvendt

- derfor foretages en måling af disse tider altid ud fra fastlagte målenormer, der tager sit udgangspunkt i, at der altid måles mellem 10% og 90% af maks. pp-værdien, se skitsen



$t_d$  = Delay time

$t_r$  = Risetid (stigetid)

$t_s$  = Storage time

$t_f$  = Fall time (faldetid)

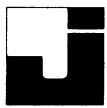
$V_i$  = Indgangsspænding

$V_A$  = Udgangsspænding

1.7 Mål på AC127

$$t_{on} = t_d + t_r = \underline{\hspace{2cm}}$$

$$t_{off} = t_s + t_f = \underline{\hspace{2cm}}$$

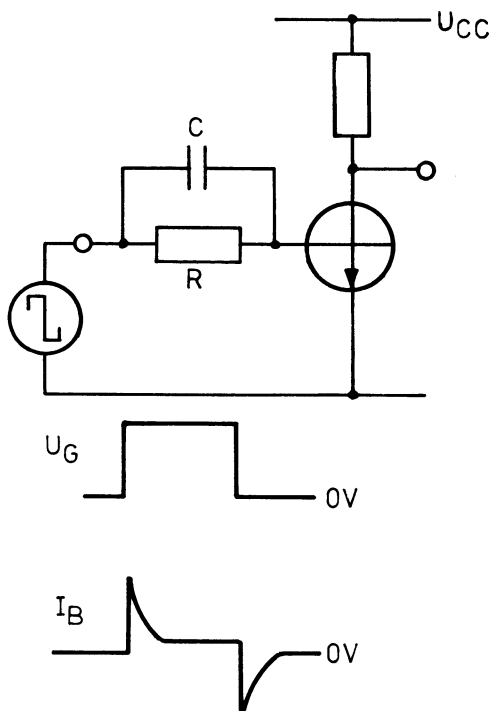


## 1.8 Speed-up kondensator

- stigetiden på transistoren kan gøres mindre ved at tilføre basis en kraftig styrestrøm

$$I_B \gg \frac{I_C}{h_{FE}}$$

- derimod kræver en kort faldetid, at  $I_B$  er så lav som muligt
- for at tilgodese disse to modstridende krav med hensyn til korte stige- og faldetider, indføres ofte en speed-up kondensator, C



- når transistoren påtrykkes en positiv spænding, vil kondensatoren i starten virke som en kortslutning og en kraftig styrestrøm vil flyde til basis, hvorved stigetiden gøres kortere
- når kondensatoren er opladet, bestemmes basisstrømmen udelukkende af R. Denne må vælges således, at basisstrømmen netop kan holde transistoren ON
- når generatoren går til 0, aflades C igennem R med en spændingspolaritet, der vil reverse-re  $U_{BE}$  og dermed formindske faldetiden

## 1.9 Forbind en speed-up kondensator på 100 pF over de 100 kΩ

## 1.10 Mål

$$t_{on} = \underline{\hspace{2cm}}$$

$$t_{off} = \underline{\hspace{2cm}}$$

## 2. MÅLING PÅ BSX20

## 2.1 BSX20

- er specielt fremstillet til switch-koblinger og er i modsætning til LF transistoren AC127 meget hurtig

## 2.2 Stigetid

- når der måles meget hurtige stigetider, kan stigetiden på generator og oscilloskop få indflydelse på målingen
- transistorens stigetid kan beregnes efter:

$$t_r = \sqrt{[t_r(\text{målt})]^2 - [t_r(\text{gen})]^2 - [t_r(\text{scop})]^2}$$

## 2.3 Eksempel

- $t_r$  aflæst på oscilloskop - 40 ns
- $t_r$  opgivet for generator - 33 ns
- $t_r$  opgivet for oscilloskop - 22 ns
- find stigetiden for transistoren

$$t_r = (\sqrt{40^2 - 33^2 - 22^2}) \text{ ns} = 5,2 \text{ ns}$$

## 2.4 Forsøg at måle på BSX20

$$t_{on} = \underline{\hspace{2cm}}$$

$$t_{off} = \underline{\hspace{2cm}}$$



DISPOSITION

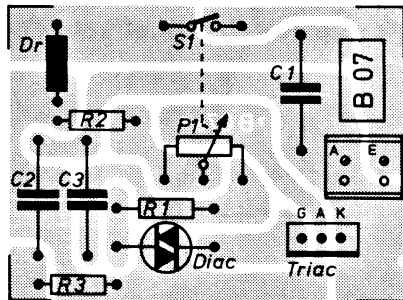
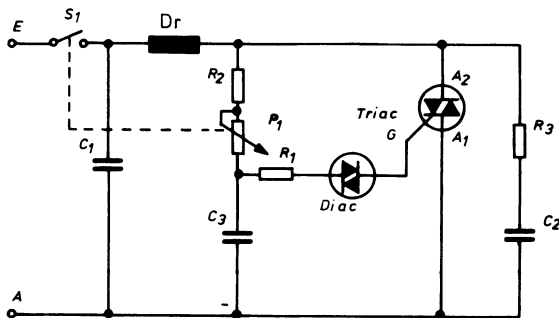
1. Måling på light dimmer

UDSTYR

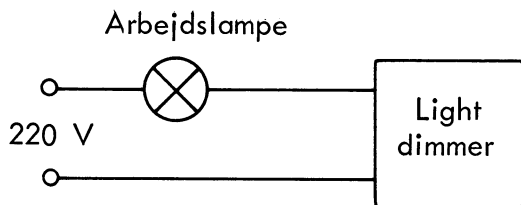
Light dimmer, oscilloskop, skilletransformator, arbejdslampe

1. MÅLING PÅ LIGHT DIMMER

1.1 Diagram og printtegning



1.2 Tilslut opstilling som vist



HUSK SKILLETRANSFORMATOR

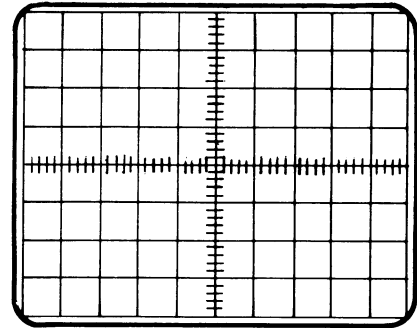
1.3 Tilslut oscilloskop

- ch1 tværs over TRIAC'en
- ch2 over C<sub>3</sub>

1.4 Drej reguleringen til venstre yderstilling

- uden at slukke light dimmer

1.5 Tegn oscilloskopbilledet



- mærk kurverne U<sub>C</sub> og U<sub>Tr</sub>
- hvor lang tid trækker TRIAC'en strøm?

---



---

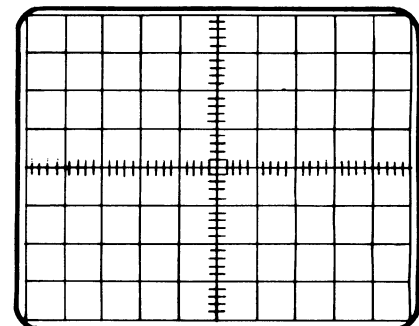


---

1.6 Drej reguleringen til midterstilling

- mekanisk

1.7 Tegn oscilloskopbilledet



- hvor lang tid trækker TRIAC'en strøm?

---



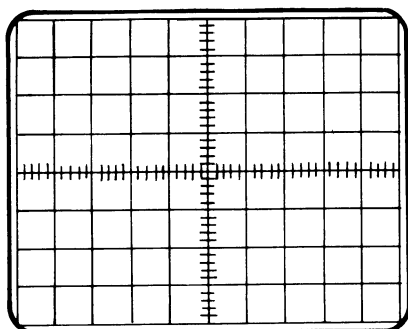
---



---

1.8 Drej reguleringen til højre yderstilling

1.9 Tegn oscilloskopbilledet



- hvor lang tid trækker TRIAC'en strøm?

---



---



---



---

1.10 Beskriv kredsløbets virkemåde

---



---



---



---



---



---



---



---



---



---



---



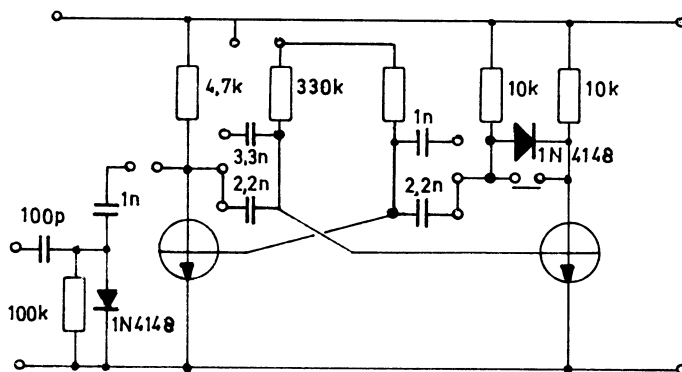
## DISPOSITION

1. Dimensionering af AMV
2. Måling af tider på AMV
3. Kurveformer på AMV
4. Forbedring af stigetiden
5. AMV med variabel periodetid
6. Synkronisering af AMV

## UDSTYR

2 stk. reguleret spændingsforsyning, oscilloskop, firkantgenerator, målepanel

## MÅLEPANEL



## 1.2 Kollektormodstande

- kollektormodstandens størrelse bestemmes af forsyningsspændingen, og af hvor stor kollektorstrøm man ønsker, når den pågældende transistor er ON

$$R_{C1} = \frac{U_{CC}}{I_{C1}}$$

$$R_{C2} = \frac{U_{CC}}{I_{C2}}$$

- ofte vælges  $R_{C1} = R_{C2}$

dersom:

$$U_{CC} = + 6 \text{ V}$$

og

$$I_C = 1,25 \text{ mA}$$

fås:

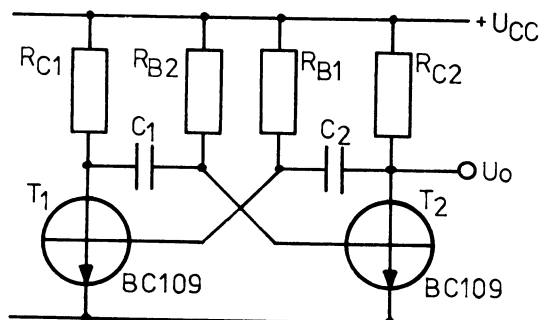
$$R_{C1} = R_{C2} = \frac{6}{1,25} \text{ k}\Omega \sim$$

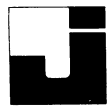
$$4,7 \text{ k}\Omega$$

## 1. DIMENSIONERING AF AMV

### 1.1 Dimensionering

- til den astabile multivibrator anvendes standardbygningen





## 1.3 Basismodstande

- basismodstandens størrelse bestemmes af den basisstrøm, der er nødvendig for at holde transistoren ON

$$I_B = \frac{I_C}{h_{FE}} = \frac{U_{CC}}{R_C \cdot h_{FE}} \text{ (min)}$$

$$R_B = \frac{U_{CC} - U_{BE}}{I_B} \sim$$

$$R_C \cdot h_{FE} \text{ (min)}$$

- for at være sikker på, at transistoren går ON, reduceres den beregnede størrelse med 0,7 gange, altså:

$$R_B \leq 0,7 \cdot R_C \cdot h_{FE} \text{ (min)}$$

- i datablad over BC109B findes:

$$h_{FE} \text{ typ} = 300$$

$$h_{FE} \text{ min} = 100$$

- find  $R_{B1} = R_{B2}$

$$R_{B1} = R_{B2} = \underline{\hspace{2cm}}$$

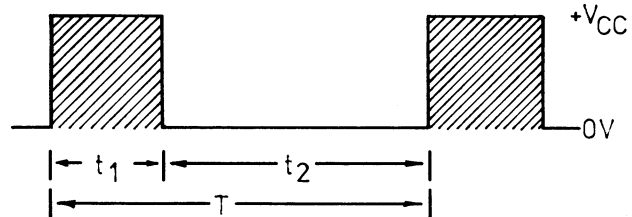
## 1.4 Koblingskondensator

- koblingskondensatorenes størrelse bestemmes af basismodstandenes størrelse, periodetiden  $T$ , samt af duty-faktoren  $d$

- hvis der ønskes en impuls-repeteritionsfrekvens på 1 kHz, bliver periodetiden:

$$T = \frac{1}{PRF} = 1 \text{ ms}$$

- med en duty-faktor på 0,25 bliver  $t_1$  og  $t_2$ :



$$t_1 = T \cdot d = 1 \text{ ms} \cdot 0,25 = 250 \mu\text{s}$$

$$t_2 = T - t_1 = 1 \text{ ms} - 250 \mu\text{s} = 750 \mu\text{s}$$

- sammenhængen mellem tidskonstanterne og  $t_1$  og  $t_2$  er:

$$t_1 = 0,7 \cdot \tau = 0,7 \cdot R_{B2} \cdot C_1$$

$$t_2 = 0,7 \cdot \tau = 0,7 \cdot R_{B1} \cdot C_2$$

- heraf fås:

$$C_1 = \frac{t_1}{0,7 \cdot R_{B2}}$$

$$C_2 = \frac{t_2}{0,7 \cdot R_{B1}}$$

- find  $C_1$  og  $C_2$

$$C_1 = \underline{\hspace{2cm}} = \underline{\hspace{2cm}}$$

$$C_2 = \underline{\hspace{2cm}} = \underline{\hspace{2cm}}$$

- ud fra de beregnede værdier vælges nærmeste standardstørrelse:

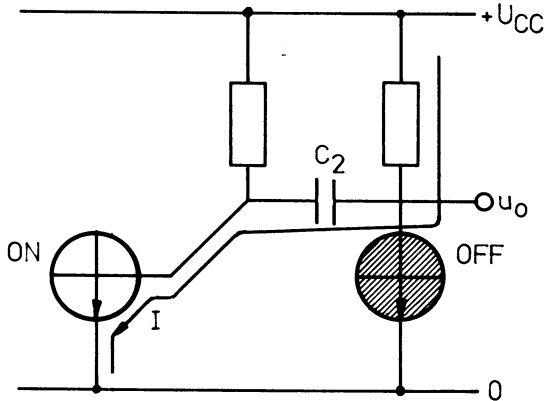
$$C_1 = \underline{\hspace{2cm}}$$

$$C_2 = \underline{\hspace{2cm}}$$



### 1.5 Beregning af stigetid

- under omskiftning fra ON til OFF ændres kollektorspændingen fra 0 til  $+U_{CC}$
- den hastighed, omskiftningen sker med, afhænger af, hvor hurtigt kondensatoren ved kollektoren kan oplades



$$t_r = 2,2 \cdot \tau$$

$$t_r = 2,2 \cdot R_{C_2} \cdot C_2$$

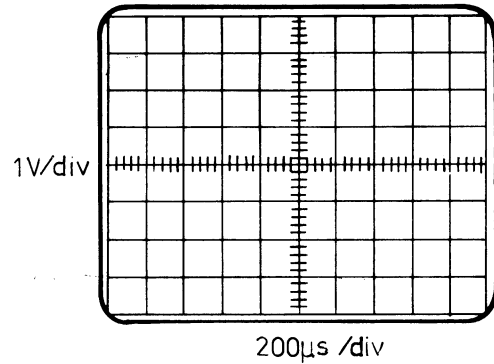
- find stigetiden

$$t_r = \quad = \quad$$

### 2.2 Forbind opstillingen

### 2.3 Juster probe inden måling

### 2.4 Tegn oscilloskopbilledet



### 2.5 Mål

$$t_1 = \quad$$

$$t_2 = \quad$$

$$t_r = \quad$$

$$d = \quad$$

$$f = \quad$$

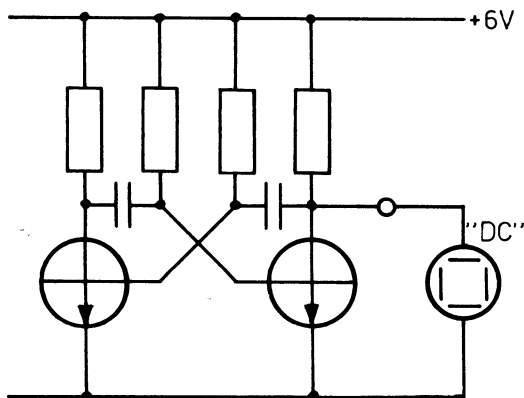
- passer de målte værdier med de beregnede ?

Ja

Nej

## 2. MÅLING AF TIDER PÅ AMV

### 2.1 Påfør diagrammet de beregnede værdier



### 2.6 Mål DC spændingen på kredsløbet med et elektrovoltmeter - indsæt værdierne i diagrammet

### 2.7 Beskriv, hvorfor spændingerne på de to transistorer ikke er ens

---



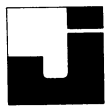
---



---



---

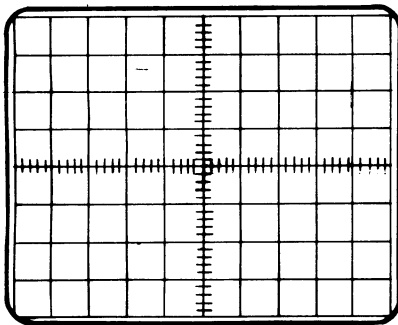
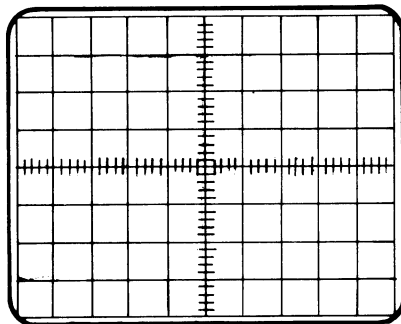
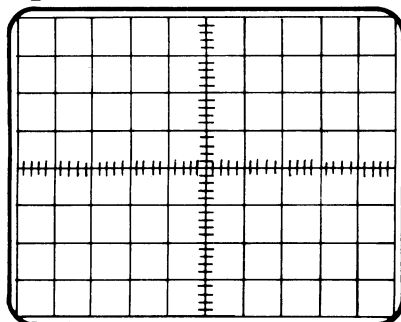
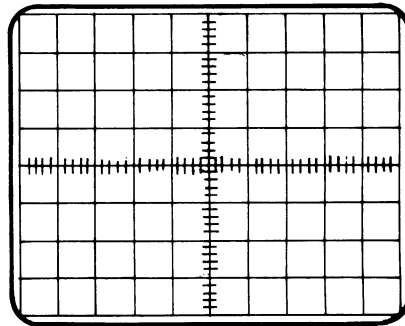


### 3. KURVEFORMER PÅ AMV

- 3.1 Tilslut et oscilloskop til de anførte målepunkter og indtegn signalerne med angivelse af nullinie - signalet til trigning af oscilloskopet tages fra  $T_2$  - kollektor og tilføres  $Y_2$  kanalen (stilling  $Y_2$  trigg.), hvorefter målingerne foretages med  $Y_1$  kanalen - i impulsskemaet skal inddelingen være :

$$Y = 1 \text{ V/div.}$$

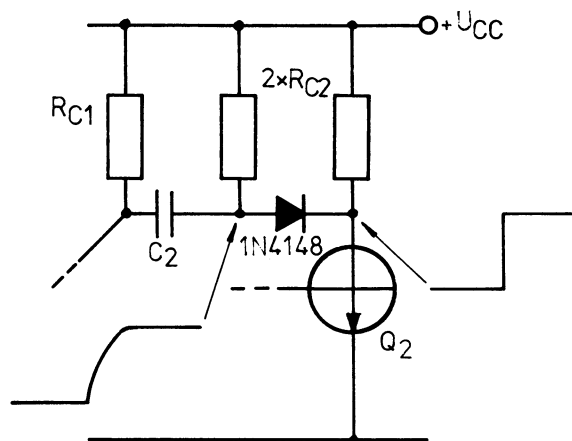
$$X = 200 \text{ } \mu\text{s/div.}$$

 $T_1$  basis $T_1$  kollektor $T_2$  basis $T_2$  kollektor

### 4. FORBEDRING AF STIGETIDEN

#### 4.1 Forbedring af stigetiden

- hertil kan anvendes den viste kobling med  $R_{C2}$  opdelt i to modstande samt en diode
- med den normale opbygning vil forflanken på udgangssignalet være krum, da kondensatoren ikke er i stand til øjeblikkelig at ændre ladning, men ved indskydelse af dioden opnås, at denne vil spærre, når spændingen på katoden er mere positiv end på anoden, hvilket indtræder på et meget tidligt tidspunkt



#### 4.2 Opbyg kredsløbet

- som vist på diagram
- mål den nye stigetid

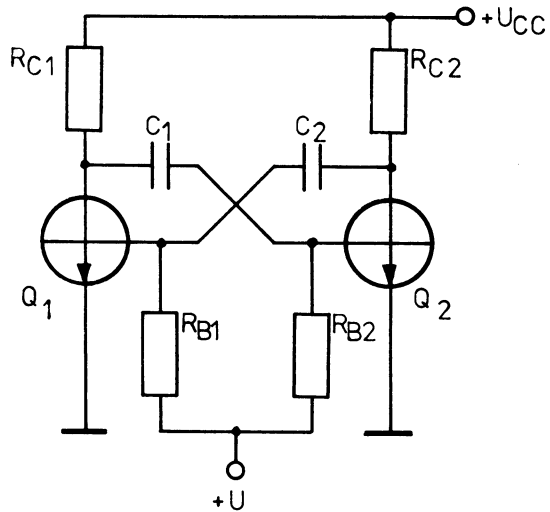
$$t_r = \underline{\hspace{2cm}}$$



## 5. AMV MED VARIABEL PERIODETID

### 5.1 Forbind opstillingen

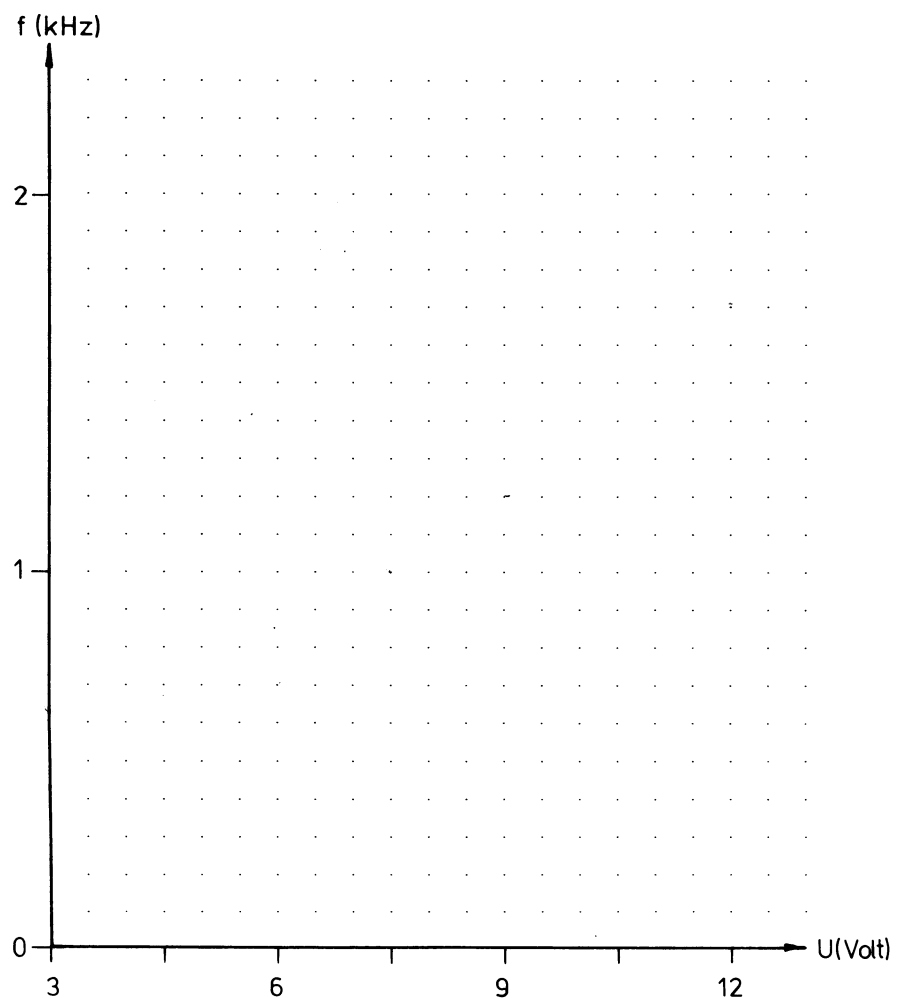
- med  $U$  forbundet til en ekstra spændingsforsyning, der som udgangspunkt indstilles til 6 V



### 5.2 Virkemåde

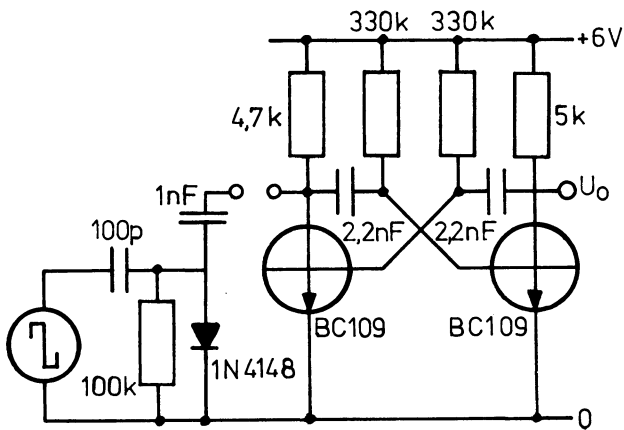
- ved at ændre  $U$  fås en ændring af frekvensen, idet kondensatorerne lader mod  $U$
- ved  $U$  større end  $U_{CC}$  fås en forøgelse af frekvensen
- ved  $U$  mindre end  $U_{CC}$  fås en formindskelse af frekvensen
- frekvensændringen er tilmærkesvis ligefrem proportional med spændingsændringen

### 5.3 Optag kurven $f = f(U)$



6. SYNKRONISERING AF AMV

6.1 Opbyg kredsløbet



6.7 Afkryds, om de to "generatorer" er synkroniserede

- Ja   
Nej

6.8 Afkryds, om synkronfrekvensen skal være højere eller lavere end den frekvens, AMV svinger på fritløbende, når AMV'en skal synkroniseres

- Højere   
Lavere

6.2 Mål periodetiden uden generatoren tilsluttet

$T =$  \_\_\_\_\_

6.3 Beregn PRF

PRF = \_\_\_\_\_

6.4 Tilslut generatoren med 3 V<sub>pp</sub> og en frekvens, der er 10% højere end PRF i pkt. 6.3

6.5 Mål periodetiden med generatoren tilsluttet

$T =$  \_\_\_\_\_

6.6 Beskriv, hvorfor der er forskel på T i pkt. 6.2 og 6.5

---



---



---



---



---

## DISPOSITION

1. Måleopstilling
2. Måling af kurveform og tider på MMV

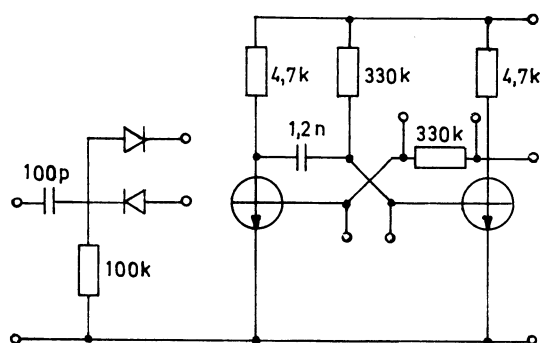
## UDSTYR

Spændingsforsyning, oscilloskop, fir-kantgenerator, målepanel

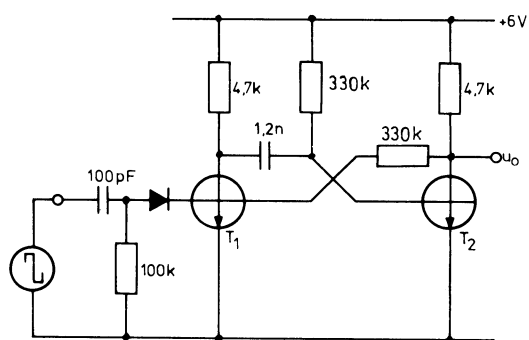
## MATERIALE

1 stk. kondensator 47 pF

## MÅLEPANEL



## 1. MÅLEOPSTILLING



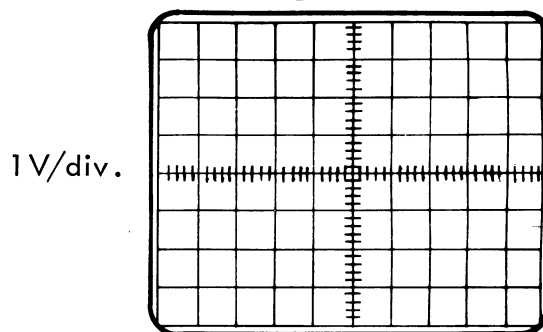
### 1.1 Opbyg kredsløbet

- tilslut generatoren
- $U_G = 3 \text{ V}_{pp}/1 \text{ kHz}$

## 2. MÅLING AF KURVEFORM OG TIDER PÅ MMV

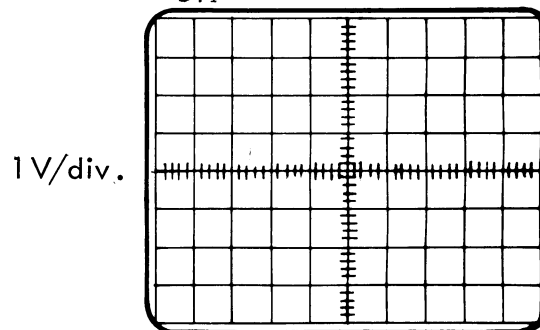
- 2.1 Tegn oscilloskopbilledet
  - juster probe inden måling
  - trig fra generator

Indgangssignal



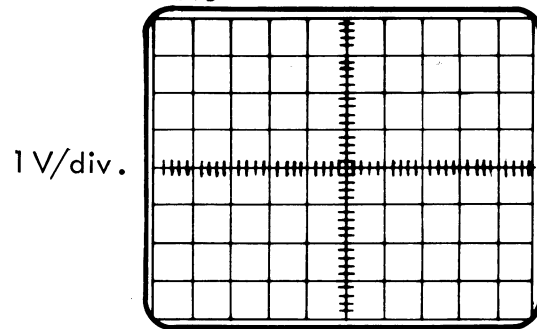
200 μs/div.

UBT<sub>1</sub>



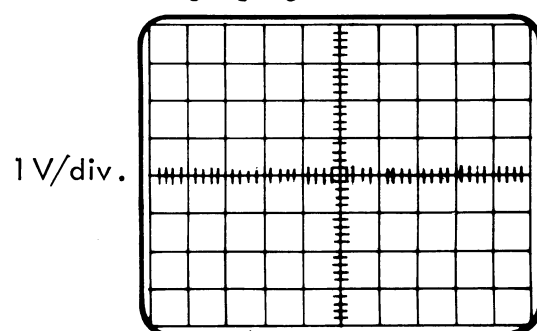
200 μs/div.

UBT<sub>2</sub>



200 μs/div.

Udgangssignal



200 μs/div.



2.2 Angiv impulstiden på udgangssignalet

$t =$  \_\_\_\_\_

2.3 Varier triggersignalet's frekvens  
- hvad er den mindste periodetid, der kan anvendes, når impulstiden pkt. 2.2 skal bibeholdes

$t =$  \_\_\_\_\_

- hvad er den længste periodetid, der kan anvendes?

$t =$  \_\_\_\_\_

2.4 Begrund målingerne i pkt. 2.3

\_\_\_\_\_  
\_\_\_\_\_  
\_\_\_\_\_  
\_\_\_\_\_  
\_\_\_\_\_

2.5 Indstil triggerfrekvensen til 1 kHz  
- formindsk triggerspændingen

2.6 Skriv værdien for den mindste triggerspænding

$U =$  \_\_\_\_\_  $V_{pp}$

2.7 Flyt triggersignalet til basis af  $T_2$  samtidig med, at dioden vendes

2.8 Mål den mindste triggerspænding, der kan anvendes

$U =$  \_\_\_\_\_  $V_{pp}$

2.9 Beskriv, hvorfor værdierne i pkt. 2.6 og 2.8 ikke er ens

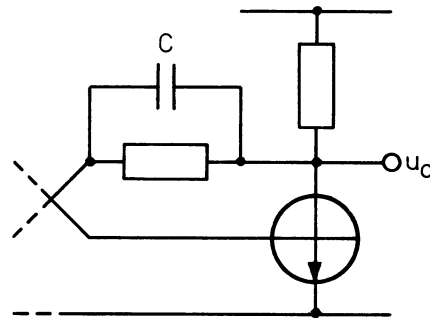
\_\_\_\_\_  
\_\_\_\_\_  
\_\_\_\_\_  
\_\_\_\_\_  
\_\_\_\_\_

2.10 Mål stige- og faldetid på kollektoren af  $T_2$

Stigetid = \_\_\_\_\_

Faldetid = \_\_\_\_\_

2.11 Monter en speed-up kondensator på 47 pF som vist



2.12 Mål ny stige- og faldetid

Stigetid = \_\_\_\_\_

Faldetid = \_\_\_\_\_

2.13 Sammenlign pkt. 2.10 og 2.12  
- hvad ændrede sig mest?

Stigetid

Faldetid



2.14 Begrund pkt. 2.13

---

---

---

---

---

---

---

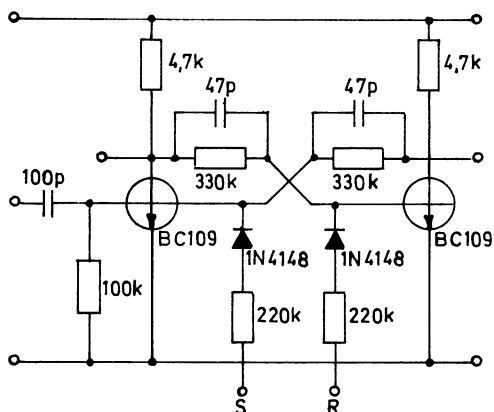
## DISPOSITION

1. Bistabil multivibrator
2. Trigning
3. RS flip-flop
4. T flip-flop

## UDSTYR

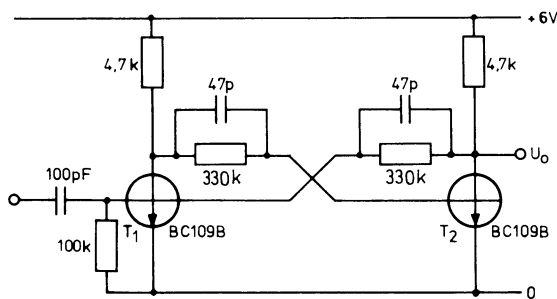
Spændingsforsyning, oscilloskop, firkantgenerator, målepanel RS-FF, målepanel T-FF

## MÅLEPANEL RS-FF



## 1. BISTABIL MULTIVIBRATOR

### 1.1 Måleopstilling



### 1.2 Tilslut opstillingen

- uden indgangssignal
- kortslut basis på T<sub>1</sub> kortvarigt til stel
- mål DC spændingerne på opstillingen og påfør dem diagrammet

### 1.3 Tilfør indgangen et firkantsignal på 1 kHz

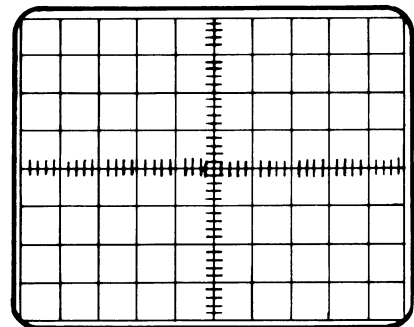
- juster generatorsignal til, der opnås sikker trigning

### 1.4 Skriv, hvor stort et triggersignal der er nødvendigt

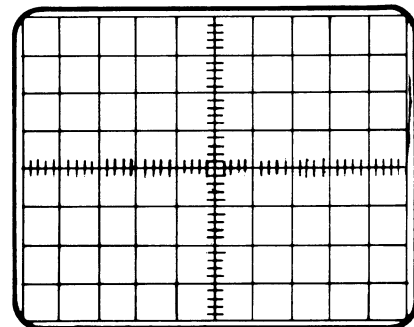
$$U = \text{_____} V_{pp}$$

### 1.5 Tegn oscilloskopbilledet af indgangssignal og udgangssignal, tidsmæssigt overensstemmende

$U_{in}$



$U_o$



## 2. TRIGNING

### 2.1 Kant -, niveautrigning

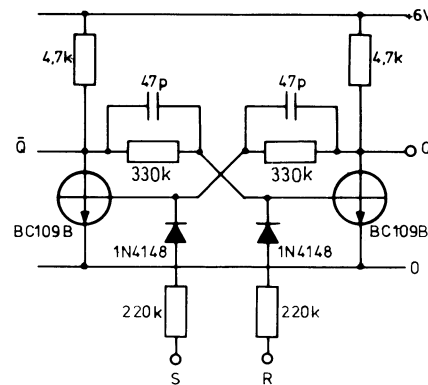
- triggersignalet bruges til at fremkalde et skift fra den ene stilling til den anden
- triggersignalet kan være en impuls, hvor den bistabile skifter på forkant eller bagkant af impulsen. Dette kaldes kanttrigning
- trigning kan også ske ved at påføre den bistabile et fast DC niveau. Dette kaldes niveautrigning

### 2.2 Symmetrisk- og asymmetrisk trigning

- den bistabile multivibrator kan triggas asymmetrisk eller symmetrisk
- ved asymmetrisk trigning tilføres triggeren til den ene transistor, som i pkt. 1.1
- hvis  $T_1$  er OFF, og der tilføres en positiv impuls, skifter den bistabile, og  $T_1$  går ON
- yderligere positive impulser til  $T_1$  er virkningsløse
- for at skifte den bistabile endnu engang, skal der enten tilføres en positiv impuls til  $T_2$  eller en negativ til  $T_1$
- ved symmetrisk trigning anvendes triggerimpuls med samme polaritet
- den bistabile bringes til at skifte ved skiftevis at tilføre en impuls til basen på  $T_1$  og  $T_2$

### 3. RS FLIP-FLOP

#### 3.1 Måleopstilling



- indgangene kaldes Set, S og Reset, R
- udgangene kaldes Q og  $\bar{Q}$ ,  $\bar{Q}$  = ikke Q, idet spændingerne på de to kollektorer er forskellige

#### 3.2 Udfyld skemaet

Spænding på Q inden R og S tilsluttes	Spænding på		Spænding på Q og $\bar{Q}$ , efter tilslutning af R og S	
	R	S	Q	$\bar{Q}$
0 V	0 V	0 V		
0 V	0 V	6 V		
0 V	6 V	0 V		
0 V	6 V	6 V		
6 V	0 V	0 V		
6 V	0 V	6 V		
6 V	6 V	0 V		
6 V	6 V	6 V		



3.3 Afkryds, om der er nogen kombination af inputsignaler, der giver samme spænding på Q og  $\bar{Q}$

Ja Nej 

Hvis ja, hvilken:

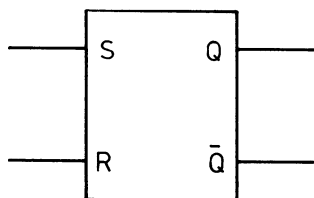
---



---

- en kombination af indgangssignaler, der giver samme spænding på Q og  $\bar{Q}$ , kaldes en forbudt indgangskombination. Q og  $\bar{Q}$  må ikke antage samme værdi i et logisk kredsløb

3.4 Symbol for RS-FF



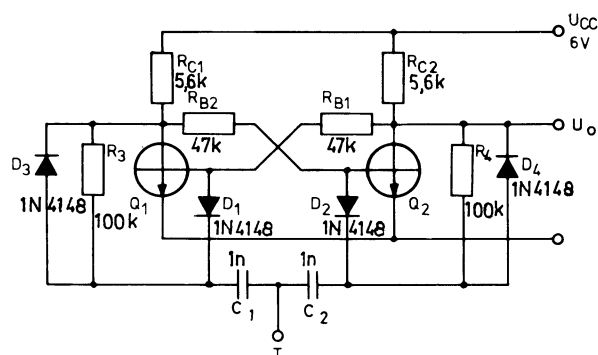
3.5 Skifteregul

- påtrykkes S 6 V og R 0 V, går Q på 6 V, uanset hvad Q stod på før
- påtrykkes S 0 V og R 6 V, går Q på 0 V, uanset hvad Q stod på før
- påtrykkes S 0 V og R 0 V, skifter kredsløbet ikke, uanset hvad Q stod på før

3.6 Kontroller skiftereglerne med skemaet i pkt. 3.2

## 4. T FLIP-FLOP

### 4.1 Måleopstilling



- T flip-flop'en har symmetrisk trigning og kan anvendes som binær deler
- benyttes som sådan i stor udstrækning i f.eks. databehandlingsanlæg, hvor den indgår i binære tæller- eller delerkæder

### 4.2 Triggerkredsløbet

- for at skifte triggerimpulsen fra den ene basis til den anden er den bistabile MV udstyret med et triggerkredsløb
- triggerkredsløbet kan da f.eks. være udformet som vist i pkt. 4.1
- antag, at  $Q_1$  er ON og  $Q_2$  derfor OFF
- på højre side af  $C_2$  vil der derfor være et positivt potentiale, medens der på venstre side af  $C_1$  vil være nærmere 0 V
- en negativ gående triggerimpuls på indgangen vil forårsage en negativ impuls på basis af  $Q_1$ , der vil gå OFF, og den normale bistabile virkning vil bringe  $Q_2$  ON
- potentialerne på kondensatorerne vil nu blive modsat, således at den næste negative impuls slår  $Q_2$  OFF, og kredsløbet vender tilbage til udgangspositionen
- en positiv gående impuls vil være uden indvirkning på kredsløbet



- $D_1$  og  $D_2$  sørger for, at kun negative flanker på T trigger flip-flop'en
- disse vil samtidig forårsage en opladning af  $C_1$  og  $C_2$
- for at fjerne denne ladning hurtigt er dioderne  $D_3$  og  $D_4$  indskudt

## 4.3 Tilslut opstillingen

4.4 Tilslut en firkantgenerator med  $f = 1$  kHz til T

- tegn indgangs- og udgangssignal
- tidsmæssigt overensstemmende

## 4.5 Bestem udgangsfrekvensen i forhold til indgangsfrekvensen

---



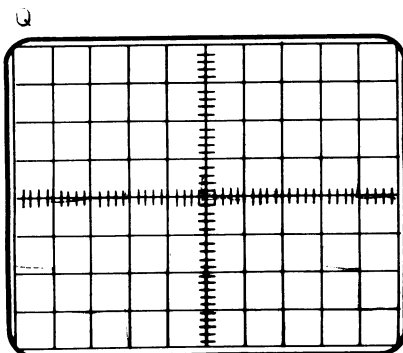
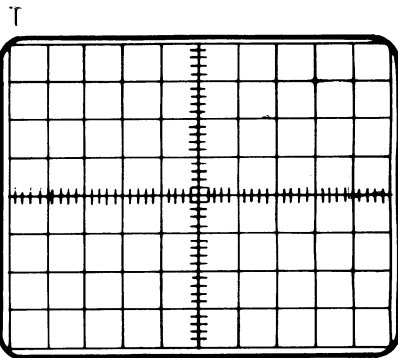
---

## 4.6 Angiv, i hvilket forhold udgangsfrekvensen er delt i forhold til indgangsfrekvensen

---



---



DISPOSITION

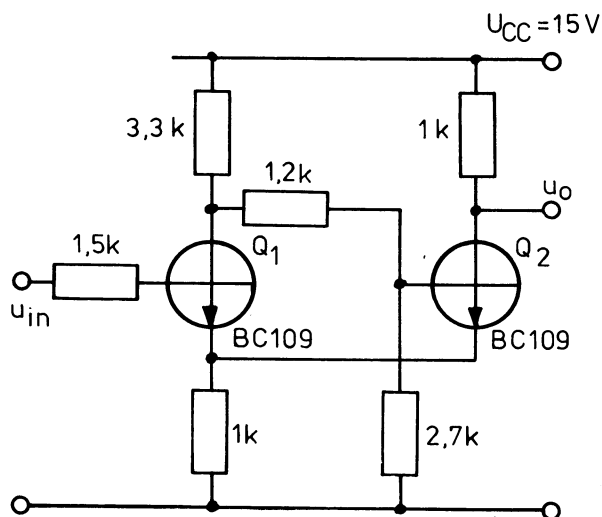
1. Måleopstilling I
2. Kurveformer i ST I
3. Symmetrisk udgangssignal I
4. Måleopstilling II
5. Kurveformer i ST II
6. Symmetrisk udgangssignal II

UDSTYR

Oscilloskop, tonegenerator, 2 måleopstillinger

MATERIALE

- 1 stk. potentiometer 10 k $\Omega$
- 1 stk. kondensator 10  $\mu$ F

1. MÅLEOPSTILLING I

- for opstillingen oplyses følgende

$$U_{UTL} = 5,3 \text{ V}$$

$$U_{LTL} = 3,0 \text{ V samt}$$

$$u_o = 5 \text{ V}_{SS}$$

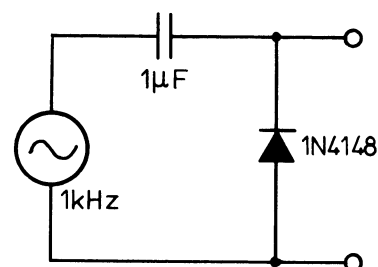
- hvilken transistor er ON uden signal på indgangen?

- når  $Q_2$  er ON, er den da kørt i mætning eller er den umættet?

- hvilken fordel giver dette?

2. KURVEFORMER I ST I

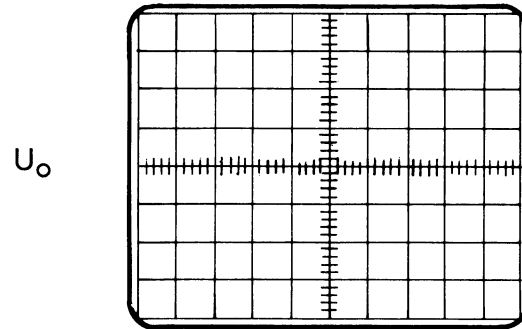
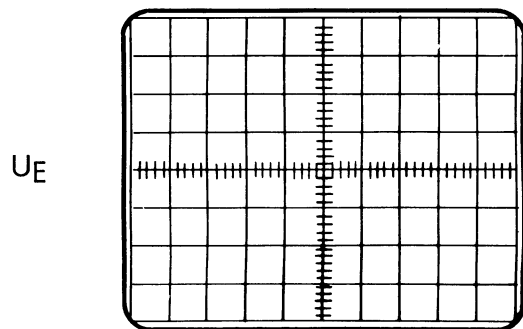
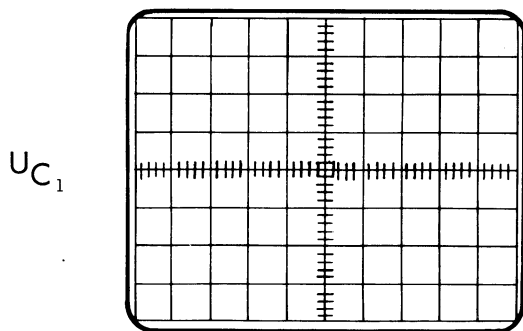
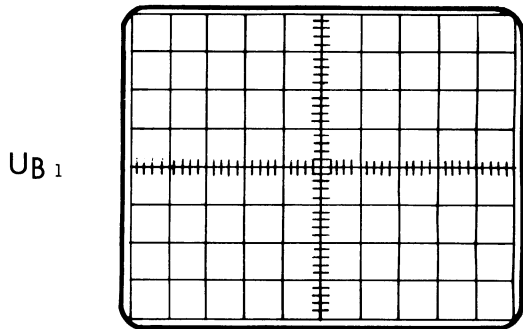
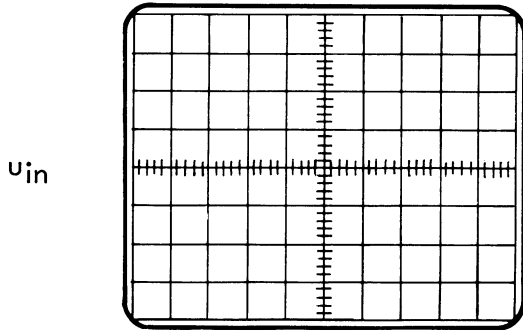
- 2.1 Opbyg kredsløbet
  - tilslut forsyningspænding
- 2.2 Forbind  $u_{in}$  til 0 V
  - mål DC spændinger
  - skriv dem i diagrammet
- 2.3 Forbind  $u_{in}$  til 6 V
  - mål DC spændingerne
  - angiv dem i ( ) på diagrammet
- 2.4 Tilslut en sinusgenerator,  $u_o = 3 \text{ V}_{eff}$  til indgangen af ST gennem viste kredsløb



- hvad kaldes det viste kredsløb?



- 2.5 Tegn oscilloskopbilledet af indgangs- og udgangssignal
- kurverne skal være tidsmæssigt overensstemmende
  - angiv DC niveauer på kurverne

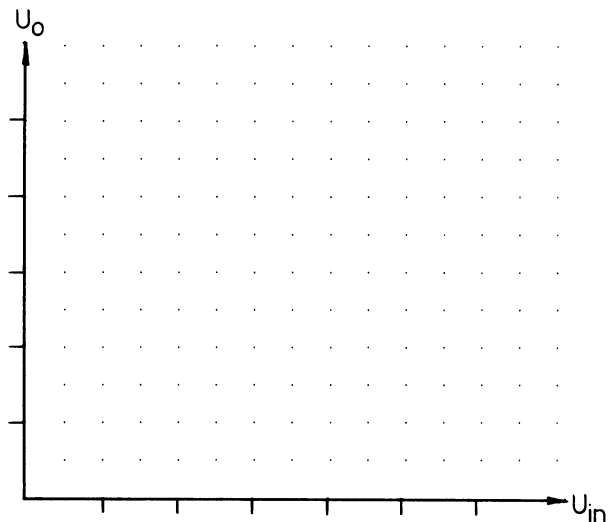


- 2.6 Skriv, ved hvilken indgangsspænding  $Q_2$  er henholdsvis ON og OFF

$$u_{in} = \text{_____} U_{LTL} (Q_2 \text{ ON})$$

$$u_{in} = \text{_____} U_{UTL} (Q_2 \text{ OFF})$$

- 2.7 Tegn kurven  $u_o = f(u_{in})$



- 2.8 Hysterese

- forskellen mellem  $U_{LTL}$  og  $U_{UTL}$  benævnes kredsløbets hysterese

$U_{LTL}$  kan hæves ved at indskyde en modstand i serie med emitteren på  $Q_1$

$U_{UTL}$  kan sænkes ved at indskyde en modstand i serie med emitteren på  $Q_2$



2.9 Giv yderligere to forslag til at ændre på hysteresen

\_\_\_\_\_
\_\_\_\_\_
\_\_\_\_\_
\_\_\_\_\_
\_\_\_\_\_
\_\_\_\_\_
\_\_\_\_\_

3.1 Foretag den viste ændring
- indstil potentiometret, således at udgangssignalet er symmetrisk
- hvilken DC spænding måles i punktet U1 ?

\_\_\_\_\_

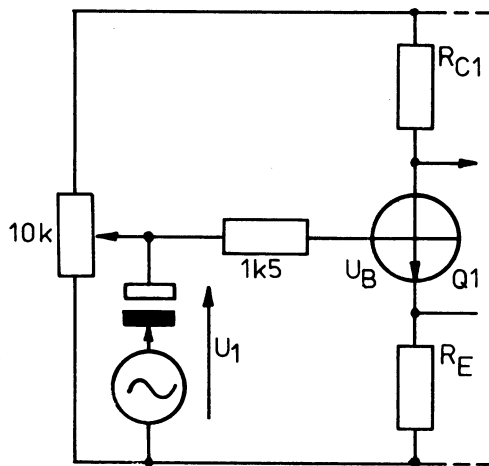
- denne værdi kunne også have været beregnet som middelværdien mellem UUTL og ULTL

U1 = (UUTL + ULTL) / 2 =

\_\_\_\_\_ = \_\_\_\_\_

3. SYMMETRISK UDGANGSSIGNAL I

- opstillingen i pkt. 1 gav ikke et symmetrisk udgangssignal. Dette kan opnås ved at forspænde indgangen på Schmitt-triggeren

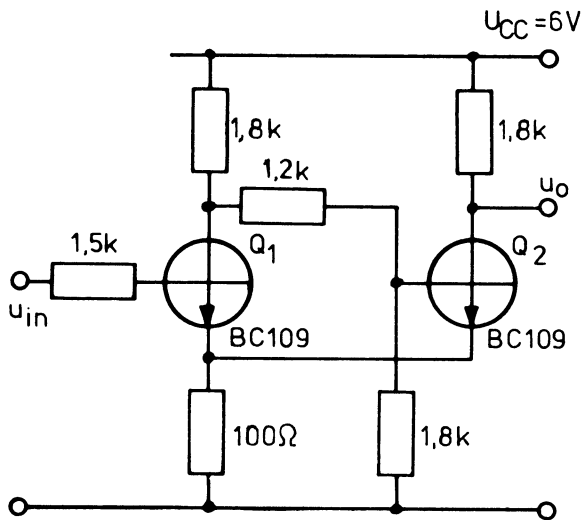


- hvad er den mindste spænding, der kræves fra sinusgeneratoren for at opnå sikker trigning?

\_\_\_\_\_

- hvorfor er denne værdi forskellig fra de foregående målinger?

\_\_\_\_\_
\_\_\_\_\_
\_\_\_\_\_
\_\_\_\_\_
\_\_\_\_\_
\_\_\_\_\_

4. MÅLEOPSTILLING II

- for opstillingen oplyses følgende

$$U_{UTL} = 1 \text{ V}$$

$$U_{LTL} = 0,9 \text{ V samt}$$

$$u_o = 5,5 \text{ V}_{SS}$$

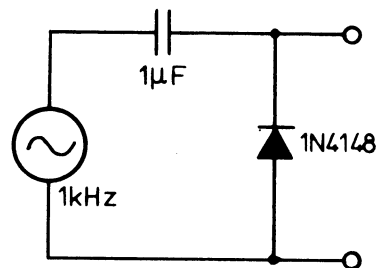
- hvilken transistor er ON uden signal på indgangen?

- når  $Q_2$  er ON, er den da kørt i mætning eller umættet?

- hvilken fordel giver dette?

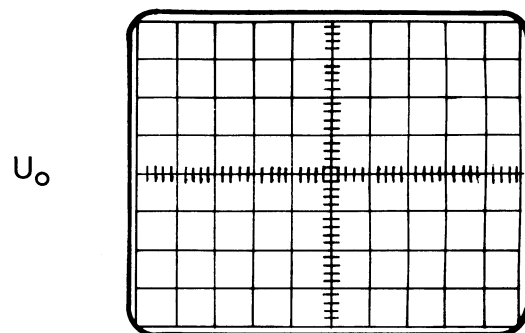
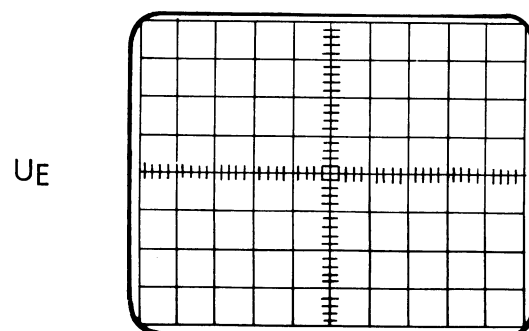
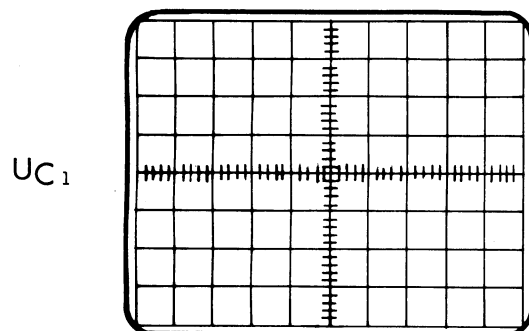
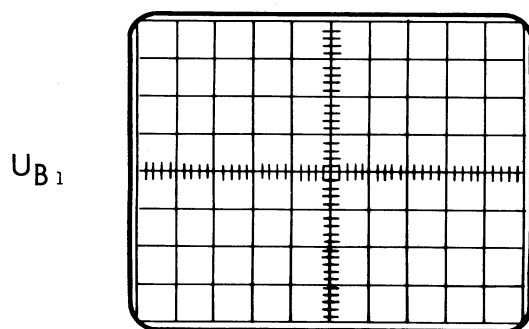
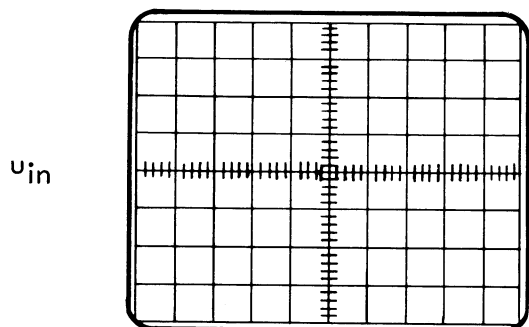
5. KURVEFORMER I ST II

- 5.1 Opbyg kredsløbet
  - tilslut forsyningsspænding
- 5.2 Forbind  $u_{in}$  til 0 V
  - mål DC spændinger
  - skriv dem i diagrammet
- 5.3 Forbind  $u_{in}$  til 6 V
  - mål DC spændingerne
  - angiv dem i ( ) på diagrammet
- 5.4 Tilslut en sinusgenerator,  $u_o = 3 \text{ V}_{eff}$  til indgangen af ST gennem viste kredsløb





- 5.5 Tegn oscilloskopbilledet af indgangs- og udgangssignal
- kurverne skal være tidsmæssigt overensstemmende
  - angiv DC niveauer på kurverne

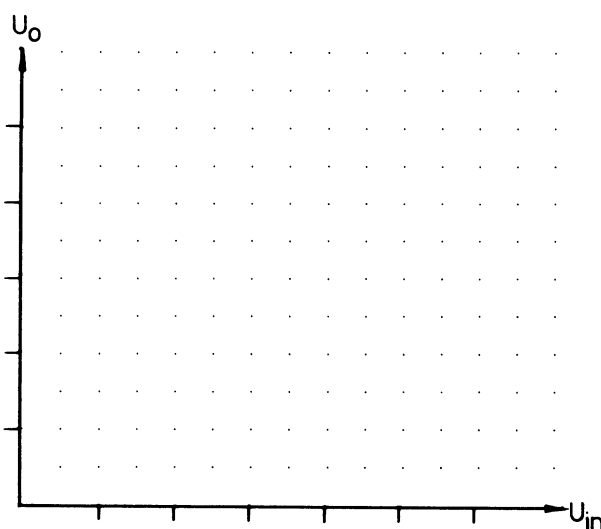


- 5.6 Skriv, ved hvilken indgangsspænding  $Q_2$  er henholdsvis ON og OFF

$$u_{in} = \text{_____ } U_{LTL} (Q_2 \text{ ON})$$

$$u_{in} = \text{_____ } U_{UTL} (Q_2 \text{ OFF})$$

- 5.7 Tegn kurven  $u_o = f(U_{in})$



- 5.8 Hysteresse

- forskellen mellem  $U_{LTL}$  og  $U_{UTL}$  benævnes kredsløbets hysteresse

$U_{LTL}$  kan hæves ved at indskyde en modstand i serie med emitteren på  $Q_1$

$U_{UTL}$  kan sænkes ved at indskyde en modstand i serie med emitteren på  $Q_2$



5.9 Giv yderligere to forslag til at ændre på hysteresen

\_\_\_\_\_
\_\_\_\_\_
\_\_\_\_\_
\_\_\_\_\_
\_\_\_\_\_
\_\_\_\_\_
\_\_\_\_\_
\_\_\_\_\_

6.1 Foretag den viste ændring
- indstil potentiometret, således at udgangssignalet er symmetrisk
- hvilken DC spænding måles i punktet U1?

\_\_\_\_\_
- denne værdi kunne også have været beregnet som middelværdien mellem UUTL og ULTL

U1 = (UUTL + ULTL) / 2 =

\_\_\_\_\_ = \_\_\_\_\_

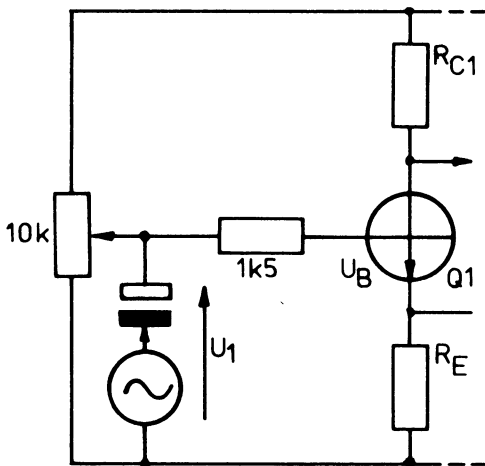
- hvad er den mindste spænding, der kræves fra sinusgeneratoren for at opnå sikker trigning?

\_\_\_\_\_
- hvorfor er denne værdi forskellig fra de foregående målinger?

\_\_\_\_\_
\_\_\_\_\_
\_\_\_\_\_
\_\_\_\_\_
\_\_\_\_\_
\_\_\_\_\_

6. SYMMETRISK UDGANGSSIGNAL II

- opstillingen i pkt. 4 gav ikke et symmetrisk udgangssignal. Dette kan opnås ved at forspænde indgangen på Schmitt-triggeren



DISPOSITION

## 1. Comperator - Analog

UDSTYR

Oscilloskop, tonegenerator, målepånel, spændingsforsyning  $\pm 15$  V

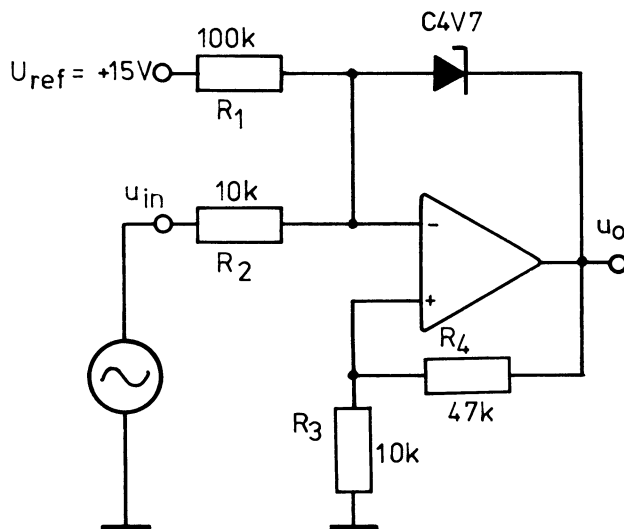
MATERIALE

1 stk. modstand  $10\text{ k}\Omega$

1 stk. modstand  $4,7\text{ k}\Omega$

1. COMPERATOR - ANALOG

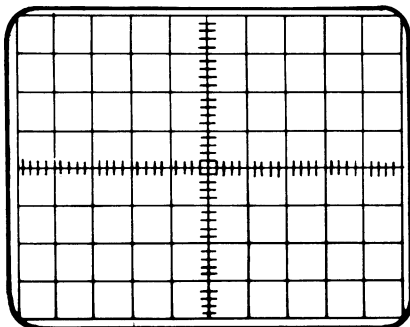
## 1.1 Måleopstilling



## 1.2 Forbind opstillingen

## 1.3 Mål hysteresesløjfen

- angiv hysteresespændingen
- angiv hysteresesløjffens symmetripunkt
- angiv LTL og UTL

1.4 Afbryd  $U_{REF}$ 

- hvad sker der hysteresesløjffens symmetripunkt?

---



---



---

1.5 Udskift  $R_3$  med  $4,7\text{ k}\Omega$ 

- hvad sker der med hysteresespændingen?

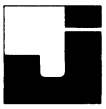
---



---



---

DISPOSITION

## 1. Relaxationsoscillator

UDSTYR

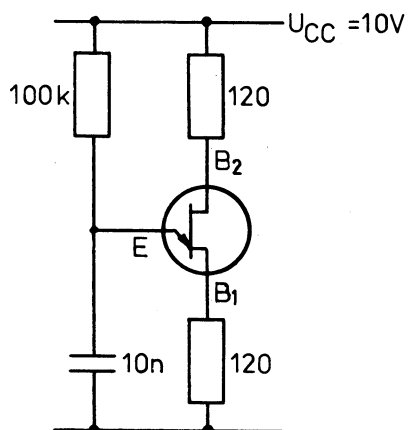
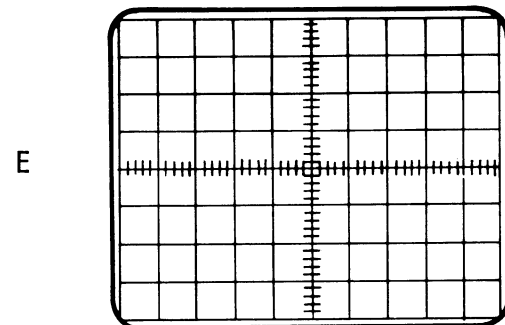
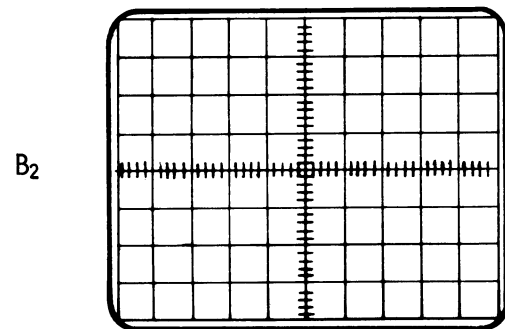
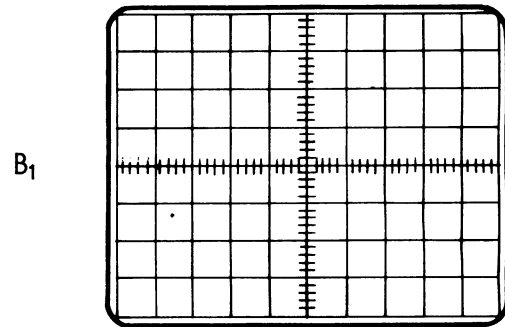
Spændingsforsyning 0 til 30 V, målepanel med UJT, elektrovoltmeter, universalinstrument, oscilloskop

MATERIALE

- 1 stk. modstand 10 k $\Omega$
- 1 stk. kondensator 10 nF

1. RELAXATIONSOSCILLATOR

## 1.1 Måleopstilling

1.2 Mål med oscilloskop på B<sub>1</sub>, B<sub>2</sub> og E

## 1.3 Mål frekvensen

f =

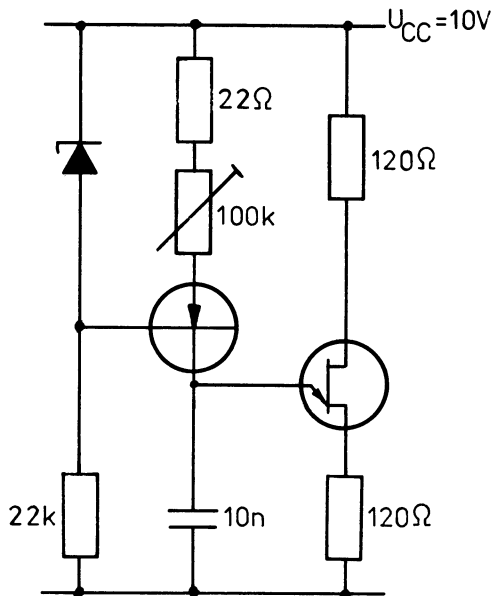
1.4 Indstil U<sub>CC</sub> til 15 V og mål frekvensen

f =

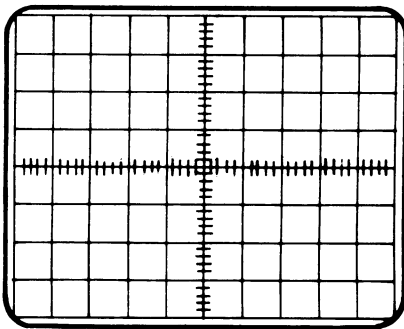
## 1.5 Beskriv, hvad der sker med frekvensen



- 1.6 Indstil  $U_{CC}$  til 10 V og tilslut strømgeneratoren  
 - juster  $P_1$  til oscillatoren svinger på samme frekvens som under pkt. 1.3



- 1.7 Mål med oscilloskop UE



- 1.8 Indstil  $U_{CC}$  til 15 V og mål frekvensen

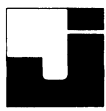
$f =$

- 1.9 Beskriv, hvad der sker med frekvensen og hvorfor

---



---

DISPOSITION

1. Måling på emitterkoblet AMV
2. Undersøgelse af emitterkoblet AMV

UDSTYR

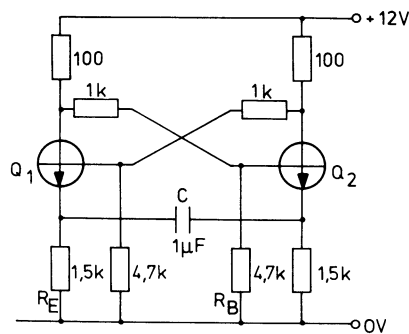
D65, 12 V spændingsforsyning, målepanel, probe

MATERIALE

- 1 stk. modstand  $15\text{ k}\Omega$
- 1 stk. modstand  $2,2\text{ k}\Omega$
- 1 stk. modstand  $4,7\text{ k}\Omega$
- 1 stk. modstand  $1,5\text{ k}\Omega$
- 1 stk. kondensator  $0,47\text{ }\mu\text{F}$
- 1 stk. kondensator  $1\text{ }\mu\text{F}$

1. MÅLING PÅ EMITTERKOBLETAMV

## 1.1 Opbyg det viste kredsløb



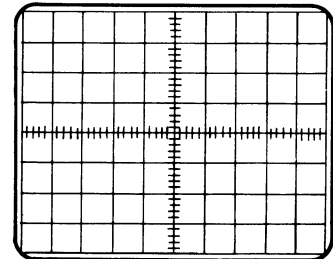
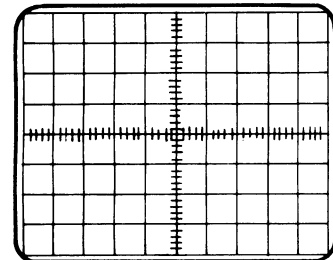
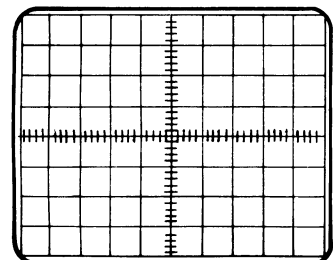
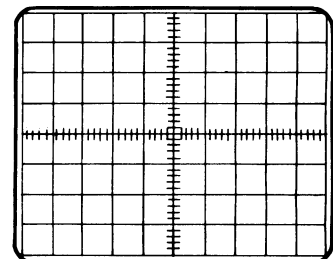
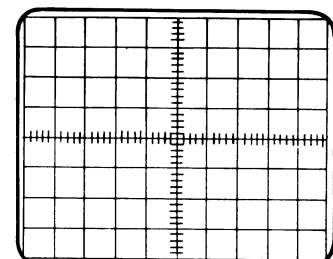
## 1.2 Mål med oscilloskop

- på  $Q_{C1}$ ,  $Q_{B1}$ ,  $Q_{E1}$ ,  $Q_{C2}$ ,  $Q_{B2}$ ,  $Q_{E2}$
- fra emitter  $Q_1$  til emitter  $Q_2$
- trig på  $Q_{E2}$

## 1.3 Tegn oscilloskopbillederne

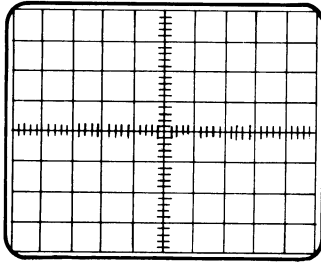
- tidsmæssigt korrekt
- angiv Y-følsomhed og time base-indstilling

Y-følsomhed = V/div.

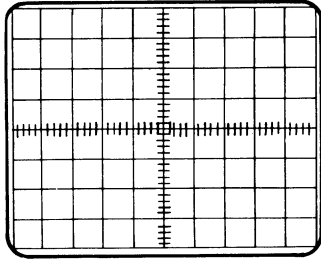
Time base =  $\mu\text{s}/\text{div}$ . $U_{C1}$  $U_{B1}$  $U_{E1}$  $U_{C2}$  $U_{B2}$ 



$U_{E_2}$



$U_{E-E}$



1.4 Mål periodetiden

$t_p =$

1.5 Beregn PRF

PRF =

2. UNDERSØGELSE AF EMITTERKOBLET AMV

2.1 Udskift C

- med 470 nF
- beskriv, hvorledes ændringen af C indvirker på kurverne

---



---



---



---

- skift C tilbage til 1  $\mu$ F

2.2 Udskift  $R_E$

- med 15 k $\Omega$
- hvad sker der med PRF og impuls-pause forholdet

---



---



---



---

- skift  $R_E$  tilbage til 1,5 k $\Omega$

2.3 Udskift  $R_b$

- med 2,2 k $\Omega$
- beskriv, hvorledes dette indvirker på kurverne

---



---



---



---

2.4 Giv en kort beskrivelse af den emitterkoblede AMV's virkemåde

---



---



---



---



---



---



---



---



---



---



DISPOSITION

1. Måling på AMV

UDSTYR

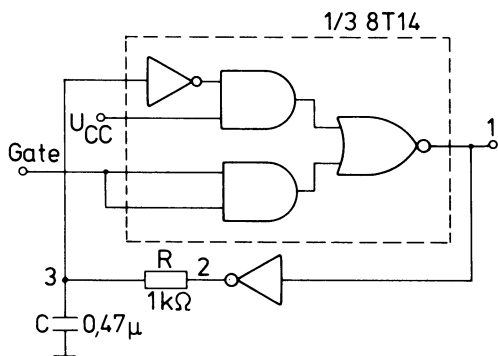
Øvelsespanel, oscilloskop, probe

MATERIALE

- 1 stk. modstand 1 kΩ
- 1 stk. kondensator 0,47 μF
- 1 stk. 8T14

1. MÅLING PÅ AMV

1.1 Opbyg viste kredsløb

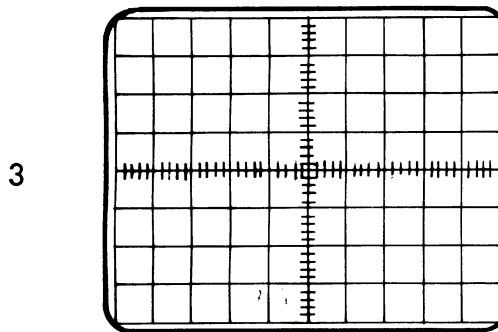
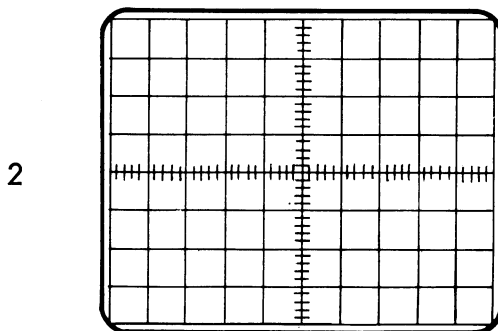
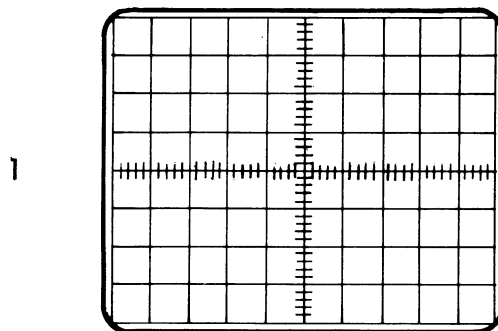


1.2 Forbind gate til 0 V

1.3 Mål med oscilloskop

- på 1, 2 og 3
- trig på 1

1.4 Tegn oscilloskopbillederne  
- angiv time base-indstilling



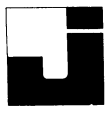
time base =                      s/div.

1.5 Beregn PRF  
PRF =

1.6 Mål  $t_r$  og  $t_f$   
- på 1

$t_r$  =

$t_f$  =



1.7 Beskriv kredsløbets virkemåde

---

---

---

---

---

---

---

---

---

---

DISPOSITION

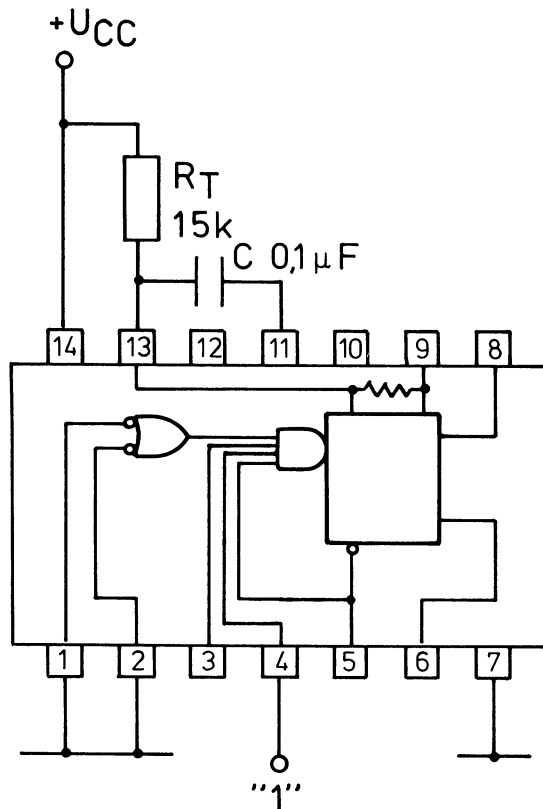
1. Måling på SN74122

UDSTYR

Øvelsespanel, oscilloskop

MATERIALE1 stk. modstand  $15\text{ k}\Omega$ 1 stk. kondensator  $0,1\ \mu\text{F}$ 1. MÅLING PÅ SN74122

1.1 Opbyg viste kredsløb



1.2 Mål impulsbredden på ben 8  
- tilfør nåleimpulser til ben 3  
med PRF < 1 kHz

$t_w =$

1.3 Forøg triggersignalets frekvens  
- hvad sker der med udgangssig-  
nalet, når PRF bliver større  
end 2 kHz ?

---



---



---



---



---



---

1.4 Forbind ben 5 til 0 V  
- hvad sker der med udgangssig-  
nalet ?

---



---



---



---



---



---

DISPOSITION

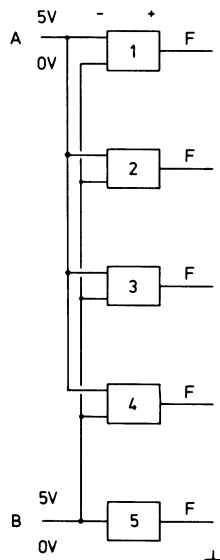
1. Klargøring
2. Kredsløb 1
3. Kredsløb 2
4. Kredsløb 3
5. Kredsløb 4
6. Kredsløb 5

UDSTYR

Spændingsforsyning 5 V, elektrovoltmeter, målepanel med gates

1. KLARGØRING

- 1.1 Indstil spændingsforsyningen til 5 V
- 1.2 Tilslut målepanel
  - + til den røde bøsning
  - til den sorte bøsning



## 1.3 Tilslut elektrovoltmetret

- stel til panelets stel
- måleledningen til udgangen af det kredsløb, der skal undersøges

2. KREDSLØB 1

- 2.1 Opstil en niveautabel for kredsløbet

A	B	F

- 2.2 Udfyld sandhedstabel
  - alle niveauer over 2,8 V er logisk "1"
  - alle niveauer under 2 V er logisk "0"

A	B	F

- 2.3 Angiv det booleske udtryk
- 

- 2.4 Tegn det logiske symbol

3. KREDSLØB 2

3.1 Gentag pkt. 2.1, 2.2, 2.3 og 2.4 for kredsløb 2

3.2 Opstil niveautabel

A	B	F

3.3 Udfyld sandhedstabel

A	B	F

3.4 Angiv det booleske udtryk

---

3.5 Tegn det logiske symbol

4. KREDSLØB 3

4.1 Gentag pkt. 2.1, 2.2, 2.3 og 2.4 for kredsløb 3

4.2 Opstil niveautabel

A	B	F

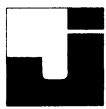
4.3 Udfyld sandhedstabel

A	B	F

4.4 Angiv det booleske udtryk

---

4.5 Tegn det logiske symbol

5. KREDSLØB 4

5.1 Gentag pkt. 2.1, 2.2, 2.3 og 2.4 for kredsløb 4

5.2 Opstil niveautabel

A	B	F

5.3 Udfyld sandhedstabel

A	B	F

5.4 Angiv det booleske udtryk

\_\_\_\_\_

5.5 Tegn det logiske symbol

6. KREDSLØB 5

6.1 Gentag pkt. 2.1, 2.2, 2.3 og 2.4 for kredsløb 5

6.2 Opstil niveautabel

B	F

6.3 Udfyld sandhedstabel

B	F

6.4 Angiv det booleske udtryk

\_\_\_\_\_

6.5 Tegn det logiske symbol

DISPOSITION

1. Klargøring
2. Positiv logik
3. Negativ logik
4. Sammenligning

UDSTYR

Spændingsforsyning 5 V, elektrovoltmeter, målepanel med gates

1. KLARGØRING

- 1.1 Indstil spændingsforsyningen til 5 V
- 1.2 Tilslut målepanel
  - + til den røde bøsning
  - til den sorte bøsning
- 1.3 Tilslut elektrovoltmeter
  - stel til panelets stel
  - måleledningen til udgangen af det kredsløb, der skal undersøges

2. POSITIV LOGIK

- 2.1 Definition
  - logisk "1" er det mest positive potentiale
  - logisk "0" er det mest negative potentiale

2.2 Optag sandhedstabel og tegn logisk symbol for kredsløb 1

A	B	F

2.3 Gentag pkt. 2.2 for kredsløb 2, 3, 4 og 5

Kredsløb 2

A	B	F



Kredsløb 3

A	B	F

Kredsløb 5

B	F

Kredsløb 4

A	B	F

### 3. NEGATIV LOGIK

#### 3.1 Definition

- logik "1" er det mest negative potentiale
- logik "0" er det mest positive potentiale

#### 3.2 Optag sandhedstabel (brug negativ logik) og tegn logisk symbol

A	B	F



3.3 Gentag pkt. 3.2 for kredsløb 2, 3, 4 og 5

Kredsløb 2

A	B	F

Kredsløb 4

A	B	F

Kredsløb 3

A	B	F

Kredsløb 5

B	F



#### 4. SAMMENLIGNING

4.1 Sammenlign de logiske symboler for kredsløbene fra pkt. 2 og 3

4.2 Tegn de logiske symboler for de elektriske kredsløb i henholdsvis positiv og negativ logik

Kredsløb	Positiv logik pkt. 2	Negativ logik pkt. 3
1		
2		
3		
4		
5		



DISPOSITION

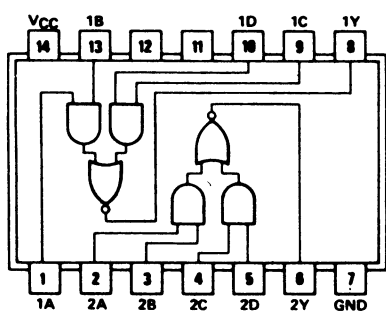
1. Måling på AND-OR-INV-gate

UDSTYR

Øvelsespanel, SN7451

1. MÅLING PÅ AND-OR-INV-GATE

1.1 Tilslut det viste kredsløb



1.2 Optag sandhedstabellen

A	B	C	D	Y

1.3 Udfyld karnaughkort

	AB			
CD	00	01	11	10
00				
01				
11				
10				

1.4 Skriv det booleske udtryk

Y =



DISPOSITION

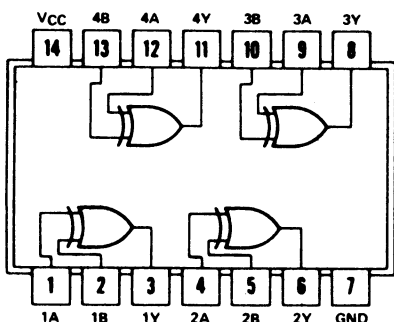
- 1. Måling på EX-OR
- 2. EX-NOR

UDSTYR

Øvelsespanel, SN7486

1. MÅLING PÅ EX-OR

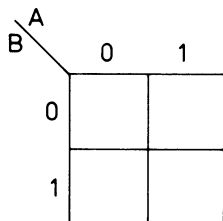
1.1 Tilslut det viste kredsløb



1.2 Optag sandhedstabellen

A	B	Y

1.3 Udfyld karnaughkortet for kredsløbet i pkt. 1.1



1.4 Skriv det booleske udtryk

Y =

2. EX-NOR

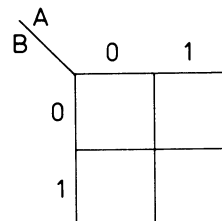
2.1 Udfyld sandhedstabellen for viste kredsløb



2.2 Sandhedstabel

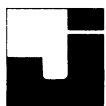
A	B	Y

2.3 Udfyld karnaughkort for kredsløbet i pkt. 2.1



2.4 Skriv det booleske udtryk

Y =

DISPOSITION

1. 3-state output
2. Data selektor-multiplexer

UDSTYR

Øvelsespanel, oscilloskop, universal-instrument, SN74LS253

MATERIALE

1 stk. modstand 390 Ω

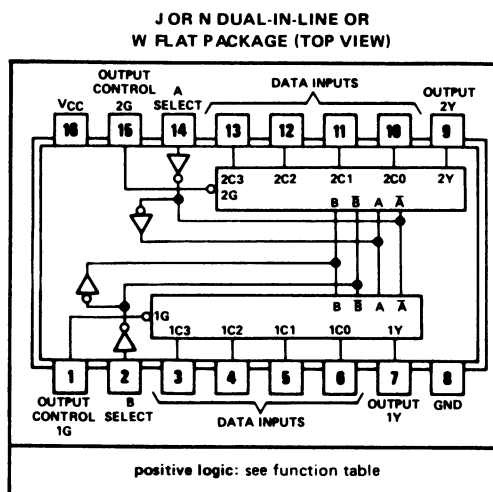
1. 3-STATE OUTPUT1.1 SN74LS253

**TTL  
MSI**

**TYPES SN54LS253, SN74LS253  
DUAL 4-LINE-TO-1-LINE DATA SELECTORS/MULTIPLEXERS  
WITH 3-STATE OUTPUTS**

BULLETIN NO. DL-S 7211790, SEPTEMBER 1972

- Three-State Version of SN54LS153/SN74LS153
- Schottky-Diode-Clamped Transistors
- Permits Multiplexing from N Lines to 1 Line
- Performs Parallel-to-Serial Conversion
- Typical Average Propagation Delay Times:  
Data Input to Output . . . 12 ns  
Control Input to Output . . . 16 ns  
Select Input to Output . . . 21 ns
- Fully Compatible with Most TTL and DTL Circuits
- Low Power Dissipation . . . 35 mW Typical (Enabled)

description

Each of these Schottky-clamped data selectors/multiplexers contains inverters and drivers to supply fully complementary, on-chip, binary decoding data selection to the AND-OR gates. Separate output control inputs are provided for each of the two four-line sections.

The three-state outputs can interface with and drive data lines of bus-organized systems. With all but one of the common outputs disabled (at a high-impedance state) the low-impedance of the single enabled output will drive the bus line to a high or low logic level.

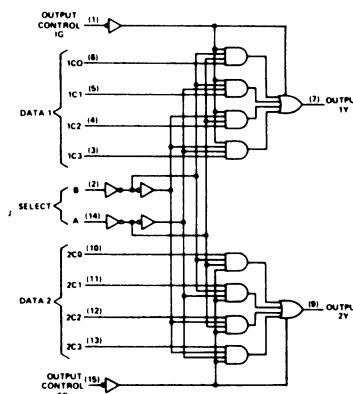
logic

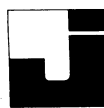
FUNCTION TABLE

SELECT INPUTS		DATA INPUTS				OUTPUT CONTROL	OUTPUT
B	A	C0	C1	C2	C3	G	Y
X	X	X	X	X	X	H	Z
L	L	L	X	X	X	L	L
L	L	H	X	X	X	L	H
L	H	X	L	X	X	L	L
L	H	X	H	X	X	L	H
H	L	X	X	L	X	L	L
H	L	X	X	H	X	L	H
H	H	X	X	X	L	L	L
H	H	X	X	X	H	L	H

Address inputs A and B are common to both sections.

H = high level, L = low level, X = irrelevant, Z = high impedance (off)

functional block diagram

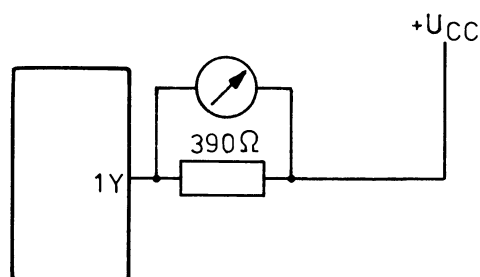


1.2 Forbind SN74LS253 og afprøv sandhedstabellen

1.3 Tilfør nedenstående niveauer til inputs

A	L
B	L
1C0	L
1C1	X
1C2	X
1C3	X
1G	L

1.4 Forbind et voltmeter - parallelt med  $390\Omega$  mellem 1Y og  $U_{CC}$



1.5 Hvor stor strøm løber i udgangen?

\_\_\_\_\_ mA

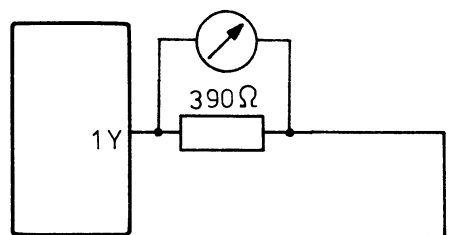
1.6 Er udgangsimpedansen høj eller lav?

1.7 Er det logiske niveau på 1Y high, low eller OFF?

1.8 Tilfør nedenstående niveauer til inputs

A	L
B	L
1C0	H
1C1	X
1C2	X
1C3	X
1G	L

1.9 Forbind et voltmeter - parallelt med  $390\Omega$  mellem 1Y og stel



1.10 Hvor stor en strøm løber i udgangen?

\_\_\_\_\_ mA

1.11 Er udgangsimpedansen høj eller lav?

1.12 Er det logiske niveau på 1Y high, low eller OFF?

1.13 Tilfør nedenstående niveauer til inputs

A	L
B	L
1C0	X
1C1	X
1C2	X
1C3	X
1G	H

1.14 Forbind et voltmeter - parallelt med  $390\Omega$  mellem 1Y og stel

1Y og  $U_{CC}$

- skift input på 1C0 mellem high og low

- hvor stor strøm løber i udgangen?



1.15 Er udgangsimpedansen høj eller lav ?

\_\_\_\_\_

1.16 Er det logiske niveau på 1Y high, low eller OFF ?

\_\_\_\_\_

\_\_\_\_\_

\_\_\_\_\_

\_\_\_\_\_

\_\_\_\_\_

1.17 Hvilken fordel har 3-state output frem for totem-pole output ?

\_\_\_\_\_

\_\_\_\_\_

\_\_\_\_\_

\_\_\_\_\_

\_\_\_\_\_

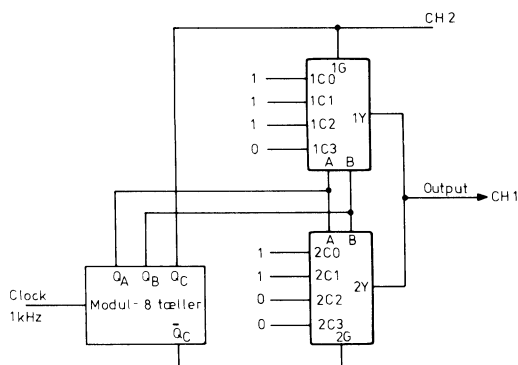
\_\_\_\_\_

2. DATA SELEKTOR-MULTIPLEKSER

2.1 Opbyg viste kredsløb

1G og 2G input skal forbindes til  $Q_C$  og  $\overline{Q_C}$ , inden 1Y og 2Y forbindes

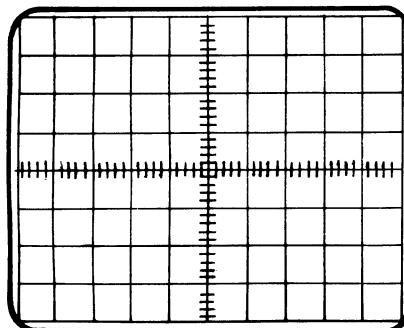
- tilfør de viste niveauer til 1C0 ..... 2C3



2.2 Tilslut oscilloskopets CH1 til output

- tilslut CH2 til  $Q_C$
- trig - på CH2

2.3 Tegn oscilloskopbilledet



2.4 Prøv at ændre input

- til 1C0 ... 1C3 og til 2C0 ... 2C3
- hvad sker der med output ?

\_\_\_\_\_

\_\_\_\_\_

\_\_\_\_\_

\_\_\_\_\_

\_\_\_\_\_

\_\_\_\_\_

2.5 Beskriv kredsløbets virkemåde

\_\_\_\_\_

\_\_\_\_\_

\_\_\_\_\_

\_\_\_\_\_

\_\_\_\_\_

\_\_\_\_\_

\_\_\_\_\_

\_\_\_\_\_



DISPOSITION

1. BCD adder

UDSTYR

Øvelsespanel, 2 stk. SN7483

1. BCD ADDER

1.1 SN7483

TTL MSI

TYPES SN5483A, SN54LS83A, SN7483A, SN74LS83A 4-BIT BINARY FULL ADDERS WITH FAST CARRY

BULLETIN NO. DL-S 7411853, MARCH 1974

- Full-Carry Look-Ahead across the Four Bits
• Systems Achieve Partial Look-Ahead Performance with the Economy of Ripple Carry
• SN54283/SN74283 and SN54LS283/SN74LS283 Are Recommended For New Designs as They Feature Supply Voltage and Ground on Corner Pins to Simplify Board Layout

Table with 4 columns: TYPE, TWO 8-BIT WORDS, TWO 16-BIT WORDS, TYPICAL POWER DISSIPATION PER 4-BIT ADDER. Rows for '83A and 'LS83A.

description

These improved full adders perform the addition of two 4-bit binary numbers. The sum (Σ) outputs are provided for each bit and the resultant carry (C4) is obtained from the fourth bit.

The adder logic, including the carry, is implemented in its true form meaning that the end-around carry can be accomplished without the need for logic or level inversion.

Designed for medium-speed applications, the circuits utilize transistor-transistor logic that is compatible with most other TTL families and other saturated low-level logic families.

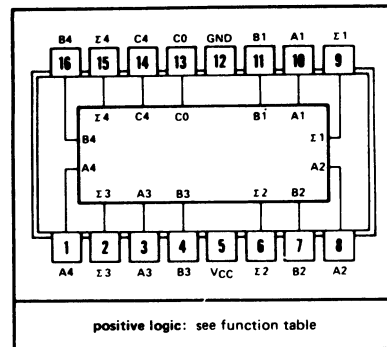
Series 54 and 54LS circuits are characterized for operation over the full military temperature range of -55°C to 125°C, and Series 74 and 74LS circuits are characterized for operation from 0°C to 70°C.

absolute maximum ratings over operating free-air temperature range (unless otherwise noted)

Table of absolute maximum ratings including Supply voltage (VCC), Input voltage, Intermitter voltage, Operating free-air temperature range, and Storage temperature range.

- NOTES: 1. Voltage values, except intermitter voltage, are with respect to network ground terminal. 2. This is the voltage between two emitters of a multiple-emitter transistor.

SN5483A, SN54LS83A ... J OR W PACKAGE SN7483A, SN74LS83A ... J OR N PACKAGE (TOP VIEW)



positive logic: see function table

FUNCTION TABLE

Truth table for the 4-bit full adder with columns for inputs (A1-A4, B1-B4), carry-in (C0), and outputs (Σ1-Σ4, C4).

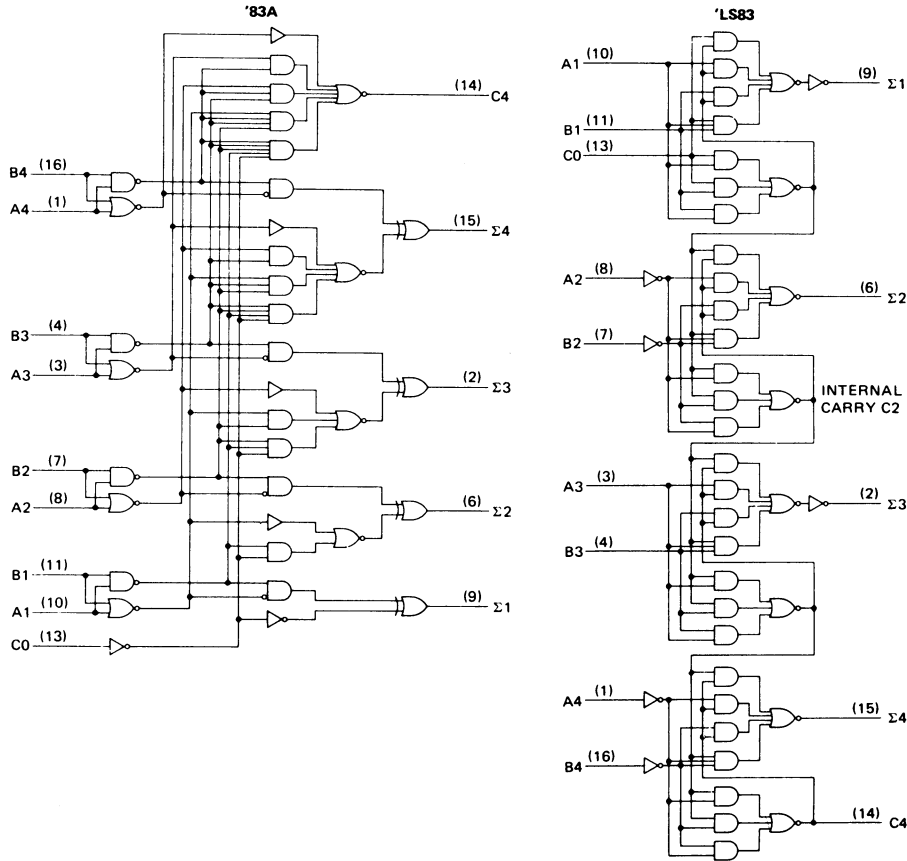
H = high level, L = low level

NOTE: Input conditions at A1, B1, A2, B2, and C0 are used to determine outputs Σ1 and Σ2 and the value of the internal carry C2. The values at C2, A3, B3, A4, and B4 are then used to determine outputs Σ3, Σ4, and C4.

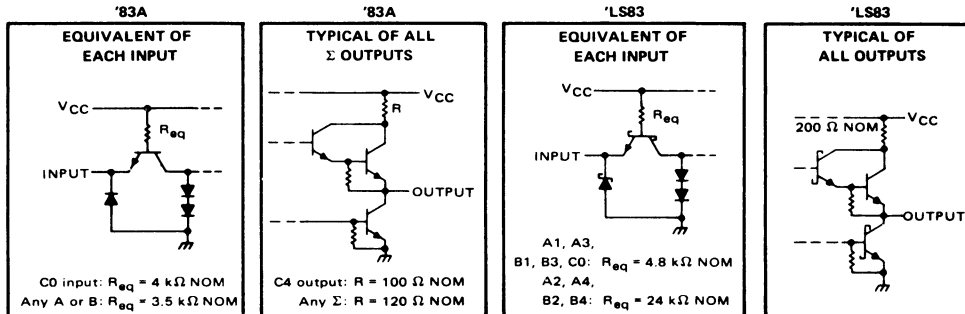


TYPES SN5483A, SN54LS83, SN7483A, SN74LS83  
4-BIT BINARY FULL ADDERS

functional block diagrams

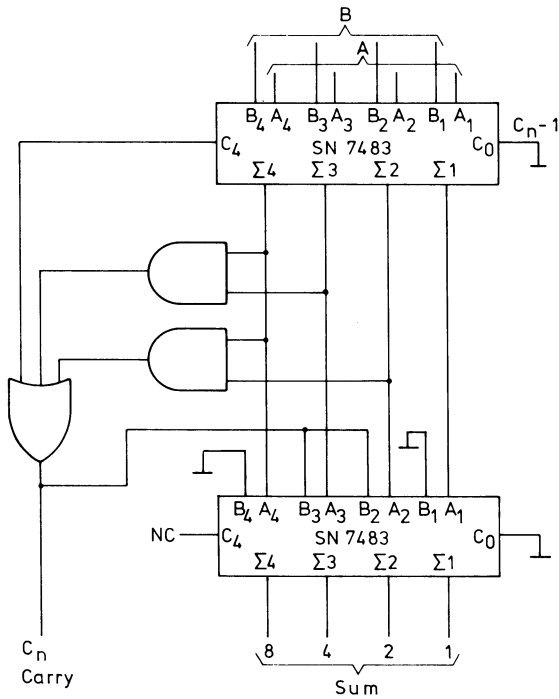


schematics of inputs and outputs





1.2 Opbyg viste BCD adder



1.3 Afprøv kredsløbet ved hjælp af mulige kombinationer af  $A + B = \text{SUM}$

- afprøv især kombinationer, hvor  $> 9$  detektor træder i funktion

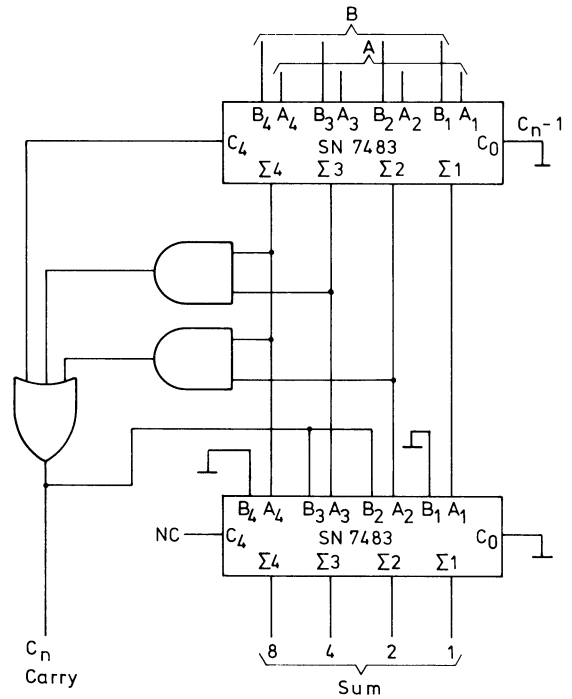
1.4 Hvor mange forskellige værdier findes for  $A + B$ ?

1.5 Hvis  $C_{n-1}$  bliver forbundet til carry out på en mindre betydende dekade, hvor mange forskellige værdier findes da for  $A + B + (C_{n-1})$ ?

1.6 Påfør diagrammet de logiske værdier for addition af

$A = 9$

$B = 7$



- forklar sammenhængen mellem input og output i de to addere og  $> 9$  detektor/0110 generator

---

---

---

---

---

---

---

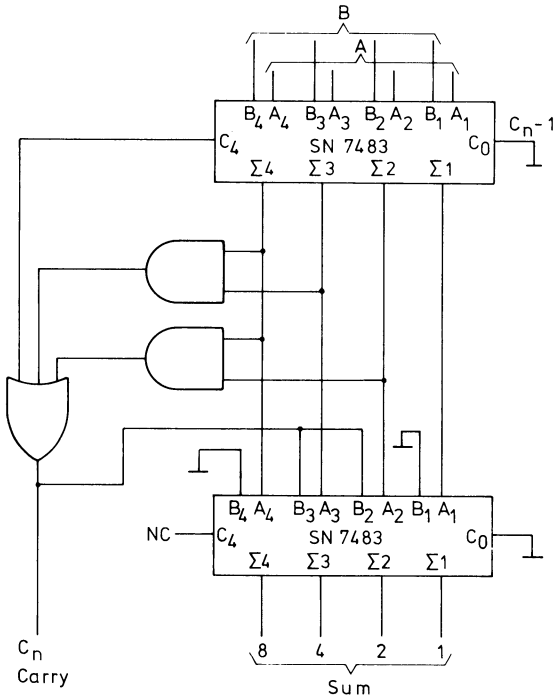
---

---

---

1.7 Påfør diagrammet de logiske værdier for addition af

A = 5  
B = 5



- forklar sammenhængen mellem input og output i de to addere og > 9 detektor/0110 generator

---

---

---

---

---

---

---

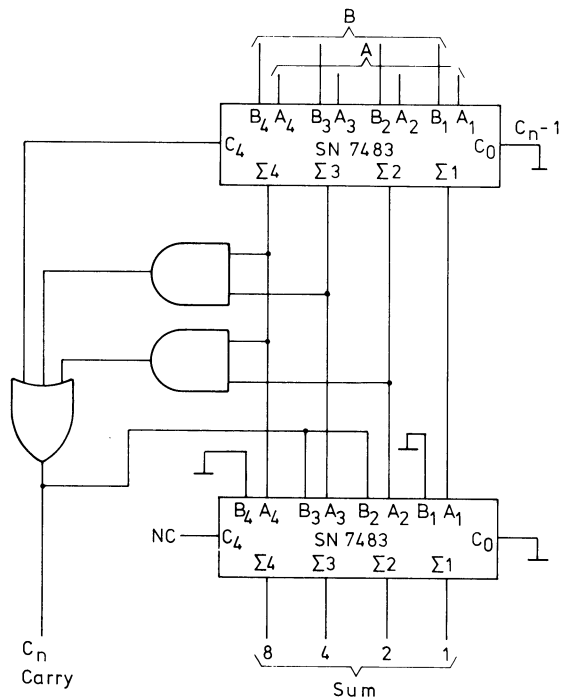
---

---

---

1.8 Påfør diagrammet de logiske værdier for addition af

A = 3  
B = 5



- forklar sammenhængen mellem input og output i de to addere og > 9 detektor/0110 generator

---

---

---

---

---

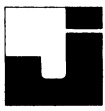
---

---

---

---

---

DISPOSITION

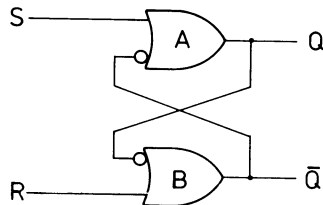
1. RS-FF
2. Clock-impulsstyret RS-FF

UDSTYR

Øvelsespanel

1. RS-FF

- 1.1 Opbyg det viste kredsløb med to OR-gates og to invertere eller med fire NAND-gates



## 1.2 Virkemåde

- med logisk 1 på S-indgangen og logisk 0 på R-indgangen bliver Q 1, dette 1-tal føres tilbage til gate B og inverteres til et 0
- dette 0 føres tilbage til gate A og inverteres til 1, dvs. selv om S-indgangen nu bliver logisk 0, vil Q-udgangen stadig være logisk 1

- 1.3 Hvor lang tid skal signalet være til stede på S-indgangen for at sikre Q-udgangen på logisk 1?

\_\_\_\_\_ s

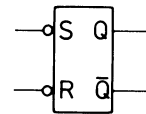
- 1.4 Bliver Q-udgangen 0 eller 1, hvis  $R = 1$  og  $S = 0$

Q = \_\_\_\_\_

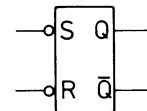
## 1.5 Afprøv sandhedstabellen

S	R	Q	$\bar{Q}$
1	0	1	0
0	0	1	0 (låst)
0	1	0	1
0	0	0	1 (låst)
1	0	1	0
1	1	(1)	(1) (udefineret)

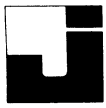
- 1.6 Tegn diagrammet af en RS-FF opbygget med to NAND-gates



- 1.7 Udfyld sandhedstabellen for kredsløbet



S	R	Q	$\bar{Q}$
0	1		
1	1		
1	0		
1	1		
0	1		
0	0		



1.8 Skifter kredsløbet på et high eller low niveau?

Four horizontal lines for writing the answer to question 1.8.

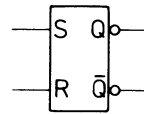
1.9 Er det logisk 0 eller 1 på udgangene ved den udefinerede stilling?

Four horizontal lines for writing the answer to question 1.9.

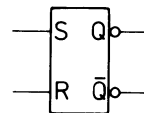
1.10 Er det logisk 0 eller 1 på indgangene, når udgangene er i den udefinerede stilling?

Four horizontal lines for writing the answer to question 1.10.

1.11 Tegn diagrammet af en RS-FF opbygget med to NOR-gate



1.12 Udfyld sandhedstabellen for kredsløbet



S	R	Q	$\bar{Q}$
1	0		
0	0		
0	1		
0	0		
1	0		
1	1		



1.13 Skifter kredsløbet på et high eller low niveau ?

\_\_\_\_\_
\_\_\_\_\_
\_\_\_\_\_
\_\_\_\_\_

1.14 Er der logisk 0 eller 1 på udgangene ved den udefinerede stilling ?

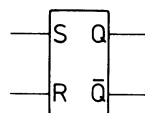
\_\_\_\_\_
\_\_\_\_\_
\_\_\_\_\_
\_\_\_\_\_

1.15 Er der logisk 0 eller 1 på indgangene, når udgangene er i den udefinerede stilling ?

\_\_\_\_\_
\_\_\_\_\_
\_\_\_\_\_
\_\_\_\_\_

1.16 Resume

RS-FF med OR-gates

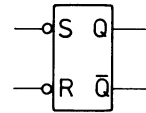


Skifter på \_\_\_\_\_

Logisk \_\_\_\_\_ er udefineret

I den udefinerede stilling er udgangene logisk \_\_\_\_\_

RS-FF med NAND-gates

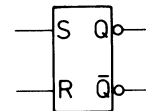


Skifter på \_\_\_\_\_

Logisk \_\_\_\_\_ er udefineret

I den udefinerede stilling er udgangene logisk \_\_\_\_\_

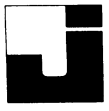
RS-FF med NOR-gates



Skifter på \_\_\_\_\_

Logisk \_\_\_\_\_ er udefineret

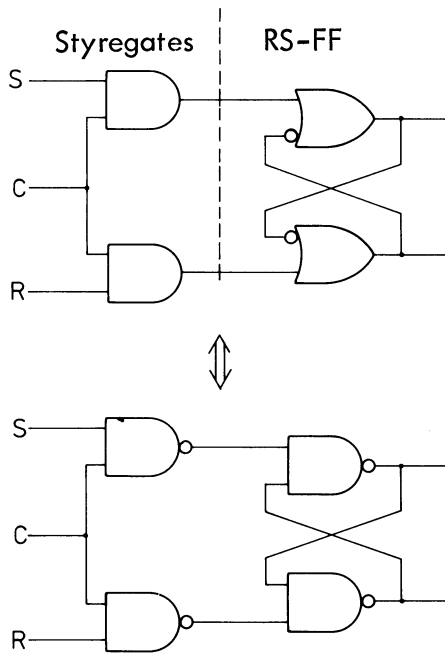
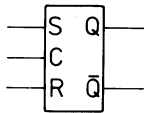
I den udefinerede stilling er udgangene logisk \_\_\_\_\_



2. CLOCK-IMPULSSTYRET RS-FF

Et mere anvendeligt kredsløb fås, hvis man kan tilføre de ønskede niveauer til indgangene, medens disse er blokeret, og på et givet tidspunkt med en anden impuls, en clock-impuls, få FF'en til at skifte stilling.

2.1 Symbol og diagram



2.2 Opbyg kredsløbet med NAND-gates og afprøv sandhedstabellen

tn		tn + 1
S	R	Q
0	0	Qn (låst)
0	1	0
1	0	1
1	1	(undefineret)

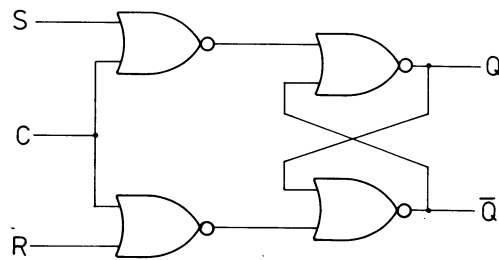
2.3 Skifter FF'en på clock-impulsens high eller low niveau ?

\_\_\_\_\_

2.4 Er der logisk 0 eller 1 på udgangene i den undefinerede stilling ?

\_\_\_\_\_

2.5 Opbyg en clock-impulsstyret RS-FF med NOR-gates



2.6 Udfyld sandhedstabellen

tn		tn + 1	
S	R	Q	Q-bar
0	0		
0	1		
1	0		
1	1		

2.7 Skifter FF'en på clock-impulsens high eller low niveau ?

\_\_\_\_\_

2.8 Er der logisk 0 eller 1 på udgangene i den undefinerede stilling ?

\_\_\_\_\_

2.9 Kan de logiske værdier på udgangene ændres på clock-impulsens low niveau ?

\_\_\_\_\_



2.10 Kan de logiske værdier på udgangene ændres på clock-impulsens high niveau?

---

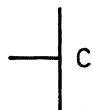
2.11 Færdig tegn symbolet for en clock-impulsstyret RS-FF opbygget med NOR-gates

- angiv korrekt state-indikatorer på ind- og udgange

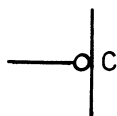


2.12 Hvad angiver en clock-indgang med symbolet:

a.



b.



DISPOSITION

1. D-latch
2. Kanttrigget D-FF

UDSTYR

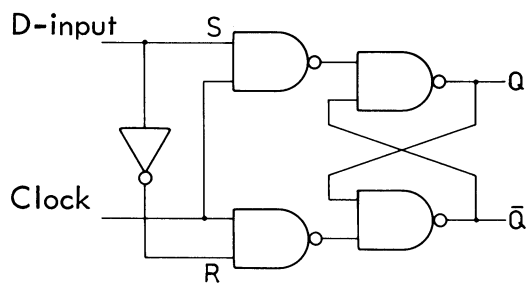
Øvelsespanel, 1 stk. SN7475, 1 stk. SN74175

1. D-LATCH

En D-latch er en videreudvikling af den clock-impulsstyrede RS-FF.

S- og R-indgangene er forbundet med en inverter således, at den udefinerede stilling undgås.

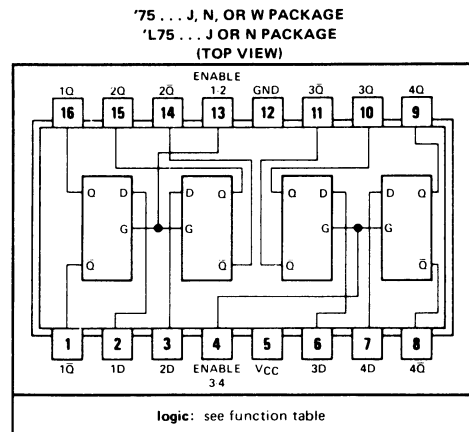
1.1 Principdiagram



1.2 SN7475

**SN5475, SN5477, SN54L75, SN54L77, SN7475, SN7477, SN74L75, SN74L77**  
**4-BIT BISTABLE LATCHES**

BULLETIN NO. DL-S 7211851, DECEMBER 1972



**TTL  
MSI**

logic

**FUNCTION TABLE**  
(Each Latch)

INPUTS		OUTPUTS	
D	G	Q	$\bar{Q}$
L	H	L	H
H	H	H	L
X	L	$Q_0$	$\bar{Q}_0$

H = high level, L = low level, X = irrelevant  
 $Q_0$  = the level of Q before the high-to-low transition of G

**description**

These latches are ideally suited for use as temporary storage for binary information between processing units and input/output or indicator units. Information present at a data (D) input is transferred to the Q output when the enable (G) is high and the Q output will follow the data input as long as the enable remains high. When the enable goes low, the information (that was present at the data input at the time the transition occurred) is retained at the Q output until the enable is permitted to go high.

The '75 and 'L75 feature complementary Q and  $\bar{Q}$  outputs from a 4-bit latch, and are available in various 16-pin packages. For higher component density applications, the '77 and 'L77 4-bit latches are available in 14-pin flat packages.

These circuits are completely compatible with all popular TTL or DTL families. All inputs are diode-clamped to minimize transmission-line effects and simplify system design. Series 54 and 54L devices are characterized for operation over the full military temperature range of  $-55^{\circ}\text{C}$  to  $125^{\circ}\text{C}$ ; Series 74 and 74L devices are characterized for operation from  $0^{\circ}\text{C}$  to  $70^{\circ}\text{C}$ .



1.3 Forbind SN7475 og afprøv sandhedstabellen

1.4 Hvad sker der, hvis input på D-indgangen ændres, medens clock-indgangen (G) er "low" ?

\_\_\_\_\_

\_\_\_\_\_

\_\_\_\_\_

1.5 Hvad sker der, hvis input på D-indgangen ændres, medens clock-indgangen (G) er "high" ?

\_\_\_\_\_

\_\_\_\_\_

\_\_\_\_\_

1.6 Udfyld sandhedstabellen for SN7475

INPUTS		OUTPUTS	
D	G	Q	$\bar{Q}$

1.7 Hvor stor er propagation delay time fra indgang D til Q-udgangen på SN7475

$t_{PLH} = \text{_____ ns}$

$t_{PHL} = \text{_____ ns}$

1.8 Hvor stor er propagation delay time fra indgang G til Q-udgangen på SN7475

$t_{PLH} = \text{_____ ns}$

$t_{PHL} = \text{_____ ns}$

1.9 Er SN7475 kanttriggeret eller niveau-triggeret ?

\_\_\_\_\_

\_\_\_\_\_

\_\_\_\_\_



## 2. KANTRIGGET D-FF

### 2.1 SN74175

#### TYPES SN54174, SN54175, SN54LS174, SN54LS175, SN54S174, SN54S175, SN74174, SN74175, SN74LS174, SN74LS175, SN74S174, SN74S175 HEX/QUADRUPLE D-TYPE FLIP-FLOPS WITH CLEAR

'174, 'LS174, 'S174 ... HEX D-TYPE FLIP-FLOPS

'175, 'LS175, 'S175 ... QUADRUPLE D-TYPE FLIP-FLOPS

- '174, 'LS174, 'S174 Contain Six Flip-Flops with Single-Rail Outputs
- '175, 'LS175, 'S175 Contain Four Flip-Flops with Double-Rail Outputs
- Three Performance Ranges Offered: See Table Lower Right
- Buffered Clock and Direct Clear Inputs
- Individual Data Input to Each Flip-Flop
- Applications include:  
Buffer/Storage Registers  
Shift Registers  
Pattern Generators

#### description

These monolithic, positive-edge-triggered flip-flops utilize TTL circuitry to implement D-type flip-flop logic. All have a direct clear input, and the '175, 'LS175, and 'S175 feature complementary outputs from each flip-flops.

Information at the D inputs meeting the setup time requirements is transferred to the Q outputs on the positive-going edge of the clock pulse. Clock triggering occurs at a particular voltage level and is not directly related to the transition time of the positive-going pulse. When the clock input is at either the high or low level, the D input signal has no effect at the output.

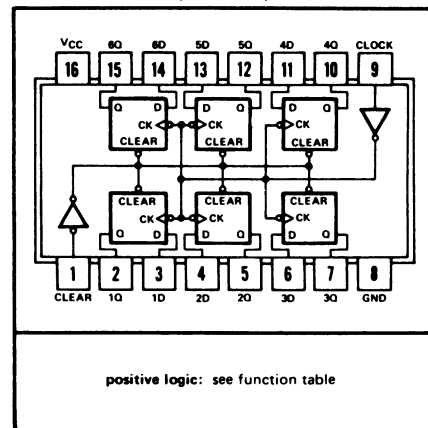
These circuits are fully compatible for use with most TTL or DTL circuits.

FUNCTION TABLE  
(EACH FLIP-FLOP)

INPUTS			OUTPUTS	
CLEAR	CLOCK	D	Q	$\bar{Q}$ †
L	X	X	L	H
H	↑	H	H	L
H	↑	L	L	H
H	L	X	$Q_0$	$\bar{Q}_0$

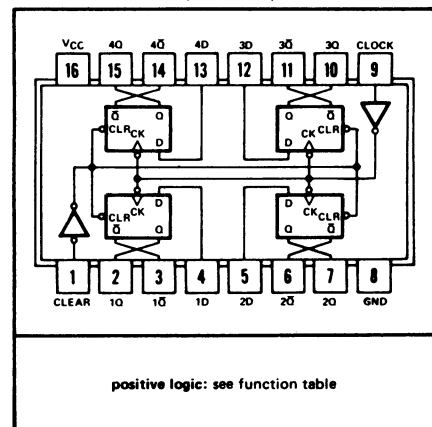
H = high level (steady state)  
L = low level (steady state)  
X = irrelevant  
↑ = transition from low to high level  
 $Q_0$  = the level of Q before the indicated steady-state input conditions were established.  
† = '175, 'LS175, and 'S175 only

SN54S174 ... J OR W PACKAGE  
'174, 'LS174, SN74S174 ... J, N, OR W PACKAGE  
(TOP VIEW)



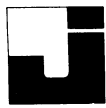
positive logic: see function table

'175, 'LS175, 'S175 ... J, N, OR W PACKAGE  
(TOP VIEW)



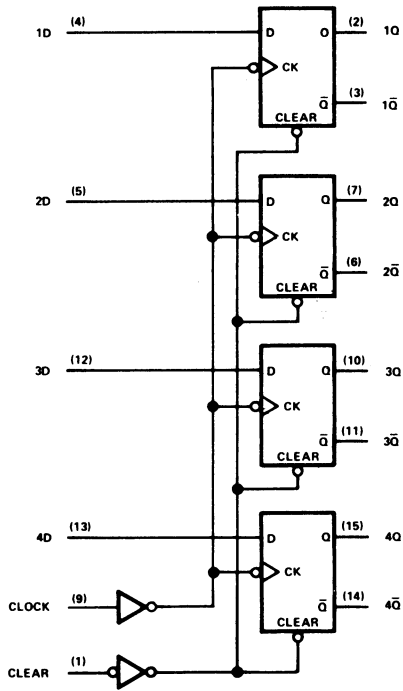
positive logic: see function table

TYPES	TYPICAL MAXIMUM CLOCK FREQUENCY PER FLIP-FLOP	TYPICAL POWER DISSIPATION
'174, '175	35 MHz	38 mW
'LS174, 'LS175	40 MHz	11 mW
'S174, 'S175	110 MHz	75 mW



### 2.2 Blokdiagram SN74175

'175, 'LS175, 'S175



2.3 Forbind SN74175 - afprøv sandhedstabellen

2.4 Hvad sker der, hvis input på D-indgangen ændres, medens clock-indgangen er "low" ?

---



---



---



---

2.5 Hvad sker der, hvis input på D-indgangen ændres, medens clock-indgangen er "high" ?

---



---



---



---

2.6 På hvilket tidspunkt kan der indlæses en ny logisk værdi i D-FF'en ?

---



---

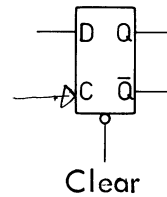


---

2.7 Er SN74175 kanttrigget eller niveau-trigget ?

---

2.8 Tegn symbolet for clock-indgang



2.9 Tegn diagrammet af en kanttrigget D-FF koblet som T-FF

DISPOSITION

1. JK flip-flop
2. JK-MS flip-flop

UDSTYR

Øvelsespanel, SN7470, SN7473, SN74111, oscilloskop, strømprobe

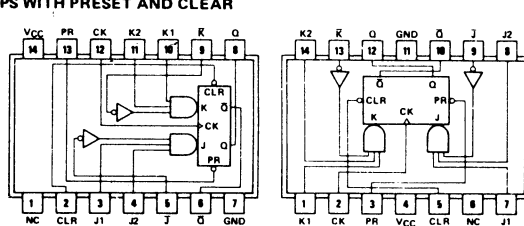
1. JK FLIP-FLOP

1.1 SN7470

**70 AND-GATED J-K POSITIVE-EDGE-TRIGGERED FLIP-FLOPS WITH PRESET AND CLEAR**

FUNCTION TABLE						
INPUTS			OUTPUTS			
PRESET	CLEAR	CLOCK	J	K	Q	$\bar{Q}$
L	H	L	X	X	H	L
H	L	L	X	X	L	H
L	L	X	X	X	L*	L*
H	H	↑	L	L	Q <sub>0</sub>	$\bar{Q}$ <sub>0</sub>
H	H	↑	H	L	H	L
H	H	↑	L	H	L	H
H	H	↑	H	H	TOGGLE	
H	H	L	X	X	Q <sub>0</sub>	$\bar{Q}$ <sub>0</sub>

positive logic:  $J = J1 \cdot J2 \cdot \bar{J}$   
 $K = K1 \cdot K2 \cdot \bar{K}$   
 If inputs  $\bar{J}$  and  $\bar{K}$  are not used, they must be grounded.  
 See page 6-46 Preset or clear function can occur only when the clock input is low.



NC—No internal connection

1.2 Forbind SN7470 og afprøv sandhedstabel

1.3 Forbind SN7470 til toggle-funktion

- tilfør 1 kHz til clock-indgangen
- tegn kurveformerne for clock-frekvensen og Q output tidsmæssigt korrekt under hinanden

1.4 Hvilket forhold er der mellem clock-frekvensen og frekvensen på Q?

---



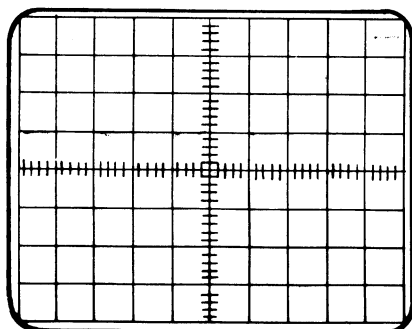
---

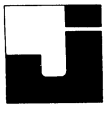
1.5 På hvilket tidspunkt overføres informationen fra J- og K-indgangene til Q-udgangen?

---



---





1.6 Hvad sker der med Q, hvis J og K ændres, medens clock-indgangen er "low" ?

Ændringen på J og K skal efterfølges af et H → L skift på clock-indgangen.

---

---

1.7 Hvad sker der med Q, hvis J og K ændres, medens clock-indgangen er "high" ?

---

---

1.8 Er SN7470 kantrigget eller niveau-trigget ?

---

## 2. JK-MS FLIP-FLOP

En speciel form for JK flip-flop er JK master-slave. De logiske niveauer, som tilføres J og K, indlæses i masteren på clock-impulsens "high" niveau og overføres til slaven, og dermed til udgangen på clock-impulsens negative flanke.

DUAL J-K FLIP-FLOPS WITH CLEAR

**73**

'73, 'H73, 'L73  
FUNCTION TABLE

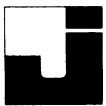
INPUTS				OUTPUTS	
CLEAR	CLOCK	J	K	Q	$\bar{Q}$
L	X	X	X	L	H
H	$\downarrow$	L	L	Q <sub>0</sub>	$\bar{Q}_0$
H	$\downarrow$	H	L	H	L
H	$\downarrow$	L	H	L	H
H	$\downarrow$	H	H	TOGGLE	TOGGLE

'LS73  
FUNCTION TABLE

INPUTS				OUTPUTS	
CLEAR	CLOCK	J	K	Q	$\bar{Q}$
L	X	X	X	L	H
H	$\downarrow$	L	L	Q <sub>0</sub>	$\bar{Q}_0$
H	$\downarrow$	H	L	H	L
H	$\downarrow$	L	H	L	H
H	$\downarrow$	H	H	TOGGLE	TOGGLE
H	H	X	X	Q <sub>0</sub>	$\bar{Q}_0$

SN5473 (J, W)      SN7473 (J, N)  
 SN54H73 (J, W)    SN74H73 (J, N)  
 SN54L73 (J, T)    SN74L73 (J, N)  
 SN54LS73 (J, W)   SN74LS73 (J, N)

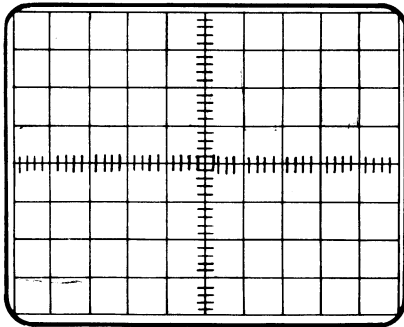
See pages 6-46, 6-50, 6-54, and 6-56



2.2 Forbind SN7473 og afprøv sandhedstabel

2.3 Forbind SN7473 til toggle-funktion

- tilføj 1 kHz til clock-indgangen
- tegn kurveformerne for clock-frekvensen og Q output tidsmæssigt korrekt under hinanden



2.4 På hvilket tidspunkt overføres informationen på J- og K-indgangene til udgangene?

---



---

2.5 Hvilket forhold er der mellem clock-frekvensen og frekvensen på Q?

---



---

2.6 Hvilken funktion udfører JK flip-flop'en, når den er koblet som T flip-flop?

---



---

2.7 Tilføj faste niveauer til J-, K- og clock-indgangene.

2.8 Hvad sker der med Q, hvis J og K ændres, medens clock-indgangen er "low"?

---



---

2.9 Hvad sker der med Q, hvis J og K ændres, medens clock-indgangen er "high"?

Ændringen på J og K skal efterfølges af et H → L skift på clock-indgangen.

---



---

2.10 På hvilket tidspunkt af clock-impulsen kan informationen i master FF'en ændres?

---



---

2.11 Er SN7473 kanttrigget eller niveau-trigget?

---



---

2.12 Hvad fortæller flip-flop'ens symbol om clock-indgangen.

---



---



---



---



2.13 Find følgende oplysninger om SN7473 i databogen

a. Hvor stor strøm trækker clock-indgangen i "low"?

---

b. Hvor stor strøm trækker clock-indgangen i "high"?

---

c. Hvor mange standardindgange belaster clock-indgangen med?

---

d. Hvor mange standardindgange belaster clear- eller preset-indgangen med?

---

e. Hvor mange standardindgange belaster J- eller K-indgangen med?

---

2.14 Hvor stor er den maksimale propagation delay time fra clock-indgangen til Q-udgangen?

$t_{PLH} =$  \_\_\_\_\_

$t_{PHL} =$  \_\_\_\_\_

2.15 SN74111

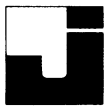
**111** DUAL J-K MASTER-SLAVE FLIP-FLOPS WITH DATA LOCKOUT

**FUNCTION TABLE**

INPUTS			OUTPUTS			
PRESET	CLEAR	CLOCK	J	K	Q	$\bar{Q}$
L	H	X	X	X	H	L
H	L	X	X	X	L	H
L	L	X	X	X	H*	H*
H	H	$\downarrow$	L	L	$Q_0$	$\bar{Q}_0$
H	H	$\uparrow$	H	L	H	L
H	H	$\downarrow$	L	H	L	H
H	H	$\uparrow$	H	H	TOGGLE	

See page 120

SN54111/SN74111(J, N, W)



2.16 Forbind SN74111 og afprøv sandhedstabel

2.17 Hvad sker der med Q, hvis J og K ændres, medens clock-indgangen er "low"?

---

---

2.18 Hvad sker der med Q, hvis J og K ændres, medens clock-indgangen er "high"? *intet*

Ændringen på J og K skal efterfølges af et H → L skift på clock-indgangen

---

---

2.19 På hvilket tidspunkt indlæses informationen fra J og K i master-FF'en?

---

---

2.20 På hvilket tidspunkt indlæses informationen fra master-FF'en til slave-FF'en?

---

---

2.21 Er SN74111 kanttrigget eller niveau-trigget?

---

DISPOSITION

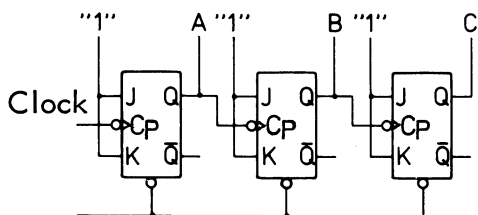
1. Optæller
2. Nedtæller
3. Selvstændsende tæller
4. Tællere med SN7490

UDSTYR

Øvelsespanel, oscilloskop, impulsgenerator

1. OPTÆLLER

1.1 Opbyg viste tæller



1.2 Reset tælleren  
- resettes der på "1" eller "0" ?

---

1.3 Tilslut clock  
- hvorledes er forholdet mellem clock-frekvensen og A ?

---

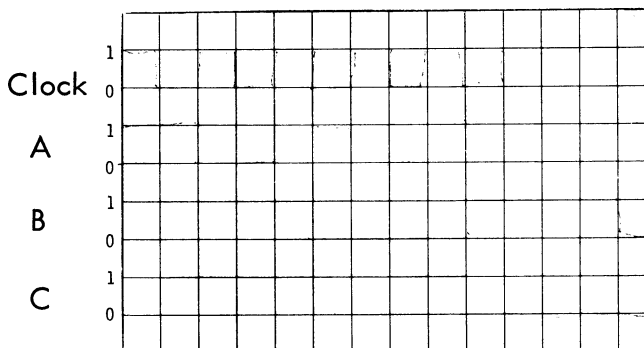


---



---

- 1.4 Optag impulsskemaet
- med oscilloskop
  - trig på C
  - time base 0,1 ms/div.
  - clock-frekvens ca. 10 kHz



1.5 Angiv start på impulsskemaet  
- der hvor ABC har værdierne 000

1.6 Udfyld sandhedstabel  
- angiv den binære værdi ud for hver stilling

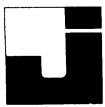
C	B	A	C <sub>p</sub>	Værdi
			0	
			1	
			2	
			3	
			4	
			5	
			6	
			7	
			8	

1.7 Hvor stort er forholdet mellem clock-frekvensen og C ?

---



---



1.8 Hvor mange stillinger har en 3-bittæller ?

---

---

1.9 Mål tidsforskellen mellem clock og C  
- trig på C  
- clock på en høj frekvens

t =

2. NEDTÆLLER

2.1 Opbyg en tæller som under pkt. 1.1, men med FF, der er positiv kantrigget

2.2 Tegn diagram

2.6 Beskriv kredsløbets virkemåde på clock-impuls 0, 1, 2 og 3

---

---

---

---

---

---

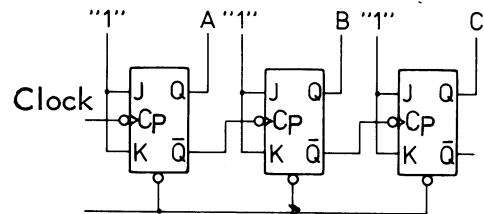
---

---

---

---

2.7 Opbyg viste kredsløb



2.3 Reset opstillingen

2.4 Optag sandhedstabel  
- anvend manuel clock

C	B	A	Clock	Værdi

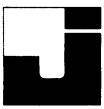
2.8 Optag sandhedstabel

C	B	A	Clock	Værdi

2.5 Hvilken vej tæller kredsløbet pkt. 2.1

---

---



2.9 Er tælleren i pkt. 2.7 en op- eller nedtæller ?

---

---

---

---

2.10 Beskriv kredsløbets virkemåde på clock-impuls 0, 1, 2 og 3

---

---

---

---

---

---

---

---

---

---

3.2 Beskriv kredsløbets virkemåde, dersom A'B'C' har værdierne 010

---

---

---

---

---

---

---

---

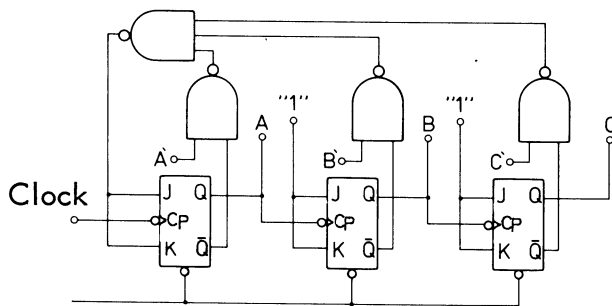
---

---

3.3 Afprøv kredsløbet  
- bestem forskellige værdier, hvor kredsløbet skal standse

3. SELVSTANDESENDE TÆLLER

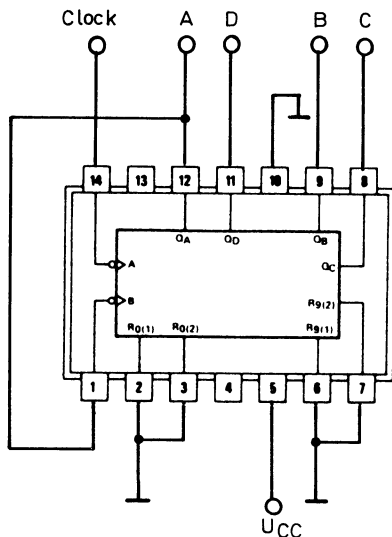
3.1 Opbyg viste kredsløb





## 4. TÆLLERE MED SN7490

## 4.1 Opbyg den viste tæller



## 4.2 Optag sandhedstabel

- reset opstillingen ved at forbinde p. 2 og p. 3 kortvarigt til "1", for derefter igen at forbinde den til "0"

D	C	B	A	CP nr.
				0
				1
				2
				3
				4
				5
				6
				7
				8
				9
				10
				11
				12

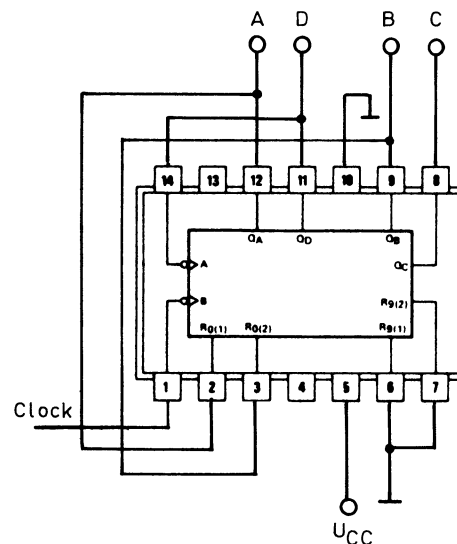
## 4.3 Mål tidsforskellen mellem udgangene A og D

- anvend en høj clock-frekvens
- trig på D

t =

## 4.4 SN7490

- en SN7490 er en integreret dekadetæller, der består af modul 2 og en modul 5 tæller
- FF A er modul 2 tælleren
- kredsløbet resettes ved at sætte "1" på  $R_0(1)$  og  $R_0(2)$
- kredsløbet kan også presettes til 1001 ved at forbinde  $R_9(1)$  og  $R_9(2)$  til "1"
- for at kredsløbet kan tælle, skal en af  $R_0$  og  $R_9$  indgangene være "0"
- ved hjælp af reset-indgangene kan tælleren bringes til at tælle moduler fra 2 til 10
- når kredsløbet forbindes som i pkt. 4.1, er tællerkoden 8421
- ved at forbinde clock-impulsen til B-indgangen og QD til A-indgangen, bliver der talt i 5421 koden
- en modul 6 tæller 5421 vil se således ud:

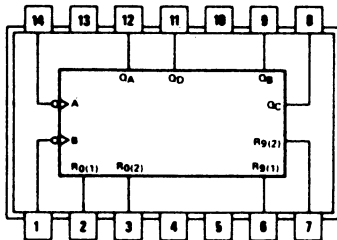


- her er A MSB og B LSB



- 4.5 Forbind SN7490, så den tæller  
binært, modul 9  
- maksimum tal, der kan udlæses,  
skal være 8

- 4.6 Tegn forbindelserne



DISPOSITION

1. Gray-tæller
2. Op/nedtæller SN74191

UDSTYR

Øvelsespanel, oscilloskop

1. GRAY-TÆLLER

- 1.1 Forbind en 3-bit gray-tæller med JK-FF
  - anvend skemaet pkt. 1.2 til at finde forbindelserne

## 1.2 Skema

Binær tæller ved hjælp af Karnaugh kort

Tællertype: \_\_\_\_\_

Tællerkode: \_\_\_\_\_

Tællermodul: \_\_\_\_\_

Karnaugh kode:

1 : fra 0 til 1

/ : fra 1 til 1

∅ : fra 1 til 0

0 : fra 0 til 0

- : ligegyldigt

Sandhedstabel

D	C	B	A	CP nr.
				0
				1
				2
				3
				4
				5
				6
				7
				8
				9
				10
				11
				12
				13
				14
				15
				16

DC	D - FF			
	BA 00	01	11	10
00				
01				
11				
10				

$J_D =$

$K_D =$

DC	C - FF			
	BA 00	01	11	10
00				
01				
11				
10				

$J_C =$

$K_C =$

DC	B - FF			
	BA 00	01	11	10
00				
01				
11				
10				

$J_B =$

$K_B =$

DC	A - FF			
	BA 00	01	11	10
00				
01				
11				
10				

$J_A =$

$K_A =$

Udlæsning af boolske udtryk:

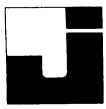
JK-FF J : 1 skal, 0 må ikke benyttes

RS-FF R : ∅ skal, 1 og / må ikke benyttes

T-FF T : 1 og ∅ skal benyttes og / og 0 må ikke benyttes

K : ∅ skal, / må ikke benyttes

S : 1 skal, 0 og ∅ må ikke benyttes

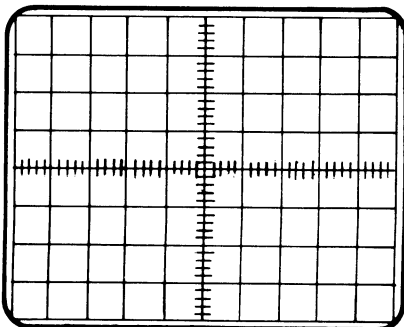


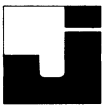
### 1.3 Tegn kredsløbet

### 1.4 Afprøv kredsløbet

### 1.5 Optag impulsplan med oscilloskop

- trig på MSB
- anvend høj clock-frekvens
- tegn impulserne tidsmæssigt korrekt





## 2. OP/NEDTÆLLER SN74191

### 2.1 SN74191

- Counts 8-4-2-1 BCD or Binary
- Single Down/Up Count Control Line
- Count Enable Control Input
- Ripple Clock Output for Cascading
- Asynchronously Presetable with Load Control
- Parallel Outputs
- Cascadable for n-Bit Applications

TYPE	AVERAGE PROPAGATION DELAY	TYPICAL MAXIMUM CLOCK FREQUENCY	TYPICAL POWER DISSIPATION
'190, '191	20 ns	25 MHz	325 mW
'LS190, 'LS191	20 ns	25 MHz	100 mW

#### description

The '190, 'LS190, '191, and 'LS191 are synchronous, reversible up/down counters having a complexity of 58 equivalent gates. The '191 and 'LS191 are 4-bit binary counters and the '190 and 'LS190 are BCD counters. Synchronous operation is provided by having all flip-flops clocked simultaneously so that the outputs change coincident with each other when so instructed by the steering logic. This mode of operation eliminates the output counting spikes normally associated with asynchronous (ripple clock) counters.

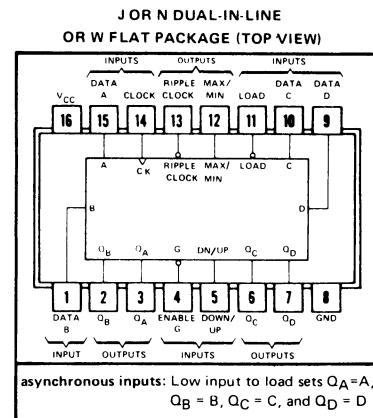
The outputs of the four master-slave flip-flops are triggered on a low-to-high-level transition of the clock input if the enable input is low. A high at the enable inputs inhibits counting. Level changes at either the enable input or the down/up input should be made only when the clock input is high. The direction of the count is determined by the level of the down/up input. When low, the counter counts up and when high, it counts down.

These counters are fully programmable; that is, the outputs may be preset to either level by placing a low on the load input and entering the desired data at the data inputs. The output will change to agree with the data inputs independently of the level of the clock input. This feature allows the counters to be used as modulo-N dividers by simply modifying the count length with the preset inputs.

The clock, down/up, and load inputs are buffered to lower the drive requirement which significantly reduces the number of clock drivers, etc., required for long parallel words.

Two outputs have been made available to perform the cascading function: ripple clock and maximum/minimum count. The latter output produces a high-level output pulse with a duration approximately equal to one complete cycle of the clock when the counter overflows or underflows. The ripple clock output produces a low-level output pulse equal in width to the low-level portion of the clock input when an overflow or underflow condition exists. The counters can be easily cascaded by feeding the ripple clock output to the enable input of the succeeding counter if parallel clocking is used, or to the clock input if parallel enabling is used. The maximum/minimum count output can be used to accomplish look-ahead for high-speed operation.

Series 54' and 54LS' are characterized for operation over the full military temperature range of  $-55^{\circ}\text{C}$  to  $125^{\circ}\text{C}$ ; Series 74' and 74LS' are characterized for operation from  $0^{\circ}\text{C}$  to  $70^{\circ}\text{C}$ .



### 2.2 Forbind SN74191

- indikator til alle udgange

### 2.3 Tilføj clock-impulser

- lav frekvens

### 2.4 Forbind indgangene

- load "1"
- data til 0110
- enable "0"
- down/up "0"



2.5 Udfyld sandhedstabel  
- anvend manuel clock-impuls

C	P	D	C	B	A	maks./ min.	Ripple- clock

- hvornår er maksimum/minimum "1" ?

---



---



---

- hvornår er der "0" på ripple-clock ?

---



---



---

- tælles der op eller ned ?

---



---



---

2.6 Load-tælleren

- enable forbindes til 1
- load forbindes kortvarigt til 0
- hvad står der på udgangene DCBA ?

---



---

2.7 Tilfør tre clock-impulser

- hvad sker der på udgangen ?

---



---



---

2.8 Forbind enable til "0"

2.9 Tilfør tre clock-impulser

- hvad sker der på udgangen ?

---



---



---



2.10 Stop tælleren og tæl nedefter

- forbind enable til "0"
- down/up forbindes til "1"
- forbind enable til "1"

2.11 Optag sandhedstabel

C	P	D	C	B	A	maks./ min.	Ripple- clock

- hvornår afgiver maksimum/minimum et "1" ?

---



---

- hvornår afgiver ripple-clock et "0" ?

---



---



---



---

DISPOSITION

1. Skifteregister

UDSTYR

Øvelsespanel, SN74194

1. SKIFTEREGISTER

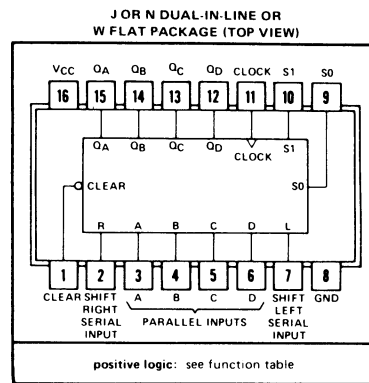
1.1 SN74194

TTL  
MSI

**TYPES SN54194, SN54LS194, SN54S194,  
SN74194, SN74LS194, SN74S194  
4-BIT BIDIRECTIONAL UNIVERSAL SHIFT REGISTERS**

- Parallel Inputs and Outputs
- Four Operating Modes:  
Synchronous Parallel Load  
Right Shift  
Left Shift  
Do Nothing
- Positive Edge-Triggered Clocking
- Direct Overriding Clear

TYPE	TYPICAL MAXIMUM CLOCK FREQUENCY	TYPICAL POWER DISSIPATION
'194	36 MHz	195 mW
'LS194	28 MHz	60 mW
'S194	105 MHz	425 mW



description

These bidirectional shift registers are designed to incorporate virtually all of the features a system designer may want in a shift register. The circuit contains 46 equivalent gates and features parallel inputs, parallel outputs, right-shift and left-shift serial inputs, operating-mode-control inputs, and a direct overriding clear line. The register has four distinct modes of operation, namely:

- Parallel (Broadside) Load
- Shift Right (In the direction  $Q_A$  toward  $Q_D$ )
- Shift Left (In the direction  $Q_D$  toward  $Q_A$ )
- Inhibit Clock (Do nothing)

Synchronous parallel loading is accomplished by applying the four bits of data and taking both mode control inputs,  $S_0$  and  $S_1$ , high. The data is loaded into the associated flip-flop and appears at the outputs after the positive transition of the clock input. During loading, serial data flow is inhibited.

Shift right is accomplished synchronously with the rising edge of the clock pulse when  $S_0$  is high and  $S_1$  is low. Serial data for this mode is entered at the shift-right data input. When  $S_0$  is low and  $S_1$  is high, data shifts left synchronously and new data is entered at the shift-left serial input.

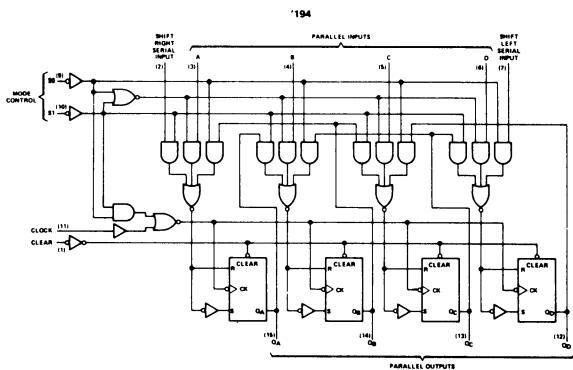
Clocking of the flip-flop is inhibited when both mode control inputs are low. The mode controls of the SN54194/SN74194 should be changed only while the clock input is high.

CLEAR	MODE $S_1$ $S_0$		CLOCK	INPUTS				OUTPUTS					
				SERIAL		PARALLEL		$Q_A$	$Q_B$	$Q_C$	$Q_D$		
				LEFT	RIGHT	A	B	C	D	$Q_{A0}$	$Q_{B0}$	$Q_{C0}$	$Q_{D0}$
L	X	X	X	X	X	X	X	X	X	L	L	L	L
H	X	X	L	X	X	X	X	X	X	$Q_{A0}$	$Q_{B0}$	$Q_{C0}$	$Q_{D0}$
H	H	H	↑	X	X	a	b	c	d	a	b	c	d
H	L	H	↑	X	H	X	X	X	X	H	$Q_{An}$	$Q_{Bn}$	$Q_{Cn}$
H	L	H	↑	X	L	X	X	X	X	L	$Q_{An}$	$Q_{Bn}$	$Q_{Cn}$
H	H	L	↑	H	X	X	X	X	X	$Q_{Bn}$	$Q_{Cn}$	$Q_{Dn}$	H
H	H	L	↑	L	X	X	X	X	X	$Q_{Bn}$	$Q_{Cn}$	$Q_{Dn}$	L
H	L	L	X	X	X	X	X	X	X	$Q_{A0}$	$Q_{B0}$	$Q_{C0}$	$Q_{D0}$

H = high level (steady state)  
L = low level (steady state)  
X = irrelevant (any input, including transitions)  
↑ = transition from low to high level  
a, b, c, d = the level of steady-state input at inputs A, B, C, or D, respectively  
 $Q_{A0}, Q_{B0}, Q_{C0}, Q_{D0}$  = the level of  $Q_A, Q_B, Q_C, Q_D$ , respectively, before the indicated steady-state input conditions were established  
 $Q_{An}, Q_{Bn}, Q_{Cn}, Q_{Dn}$  = the level of  $Q_A, Q_B, Q_C, Q_D$ , respectively, before the most recent transition of the clock.

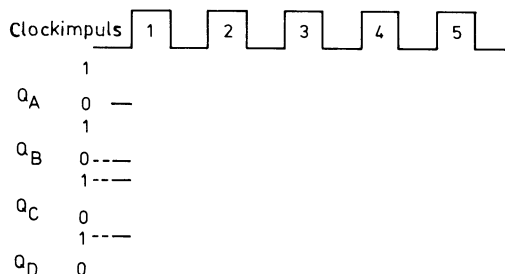


1.2 Blokdiagram af SN74194



1.9 Parallellindlæs den binære værdi 1100

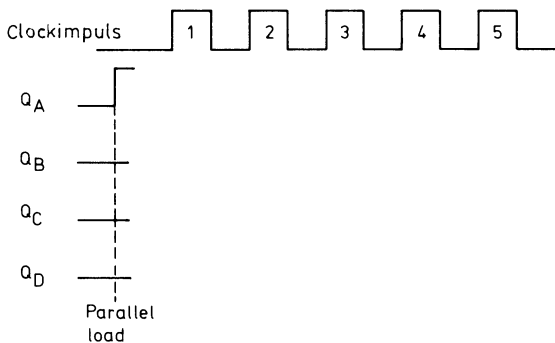
1.10 Optag impulsplanen for kredsløbet i "Shift left" mode - manual clock



1.3 Forbind SN74194 - indikator til alle udgange

1.4 Parallellindlæs den binære værdi 0001 - input A = LSB

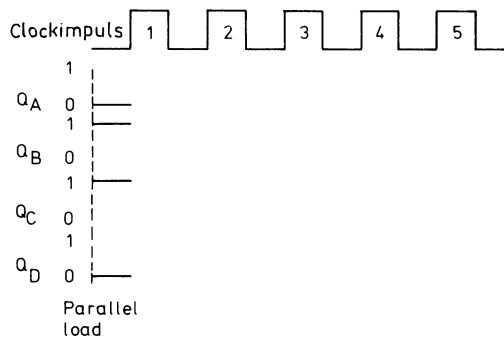
1.5 Optag impulsplanen for kredsløbet i "Shift right" mode - manual clock



1.11 Forbind SN74194 som re-cirkulerende "Shift left" register

1.12 Parallellindlæs den binære værdi 0110

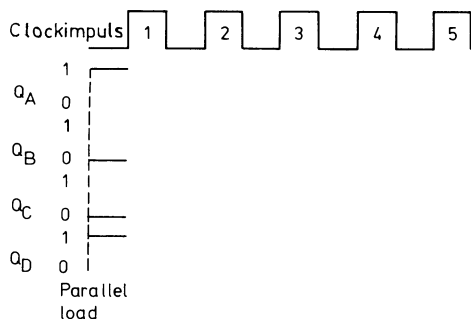
1.13 Optag impulsplanen for kredsløbet - manual clock



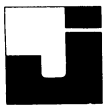
1.6 Forbind SN74194 som re-cirkulerende "Shift right" register

1.7 Parallellindlæs den binære værdi 1001

1.8 Optag impulsplanen for kredsløbet - manual clock

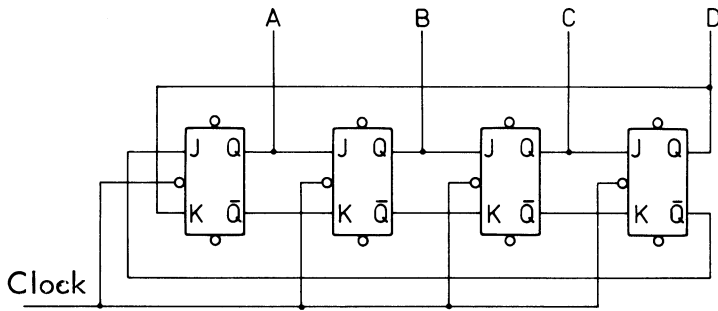






2. JOHNSON-TÆLLER

2.1 Opbyg kredsløb



2.2 Reset kredsløbet

2.3 Udfyld sandhedstabel - manuel clock

D	C	B	A	Cp
				0
				1
				2
				3
				4
				5
				6
				7
				8
				9
				10
				11

- hvor mange clock-impulser skal der til for at invertere informationen ?

2.4 Beskriv kredsløbets virkemåde

---



---



---



---



---



---



---



---



---



---



## DISPOSITION

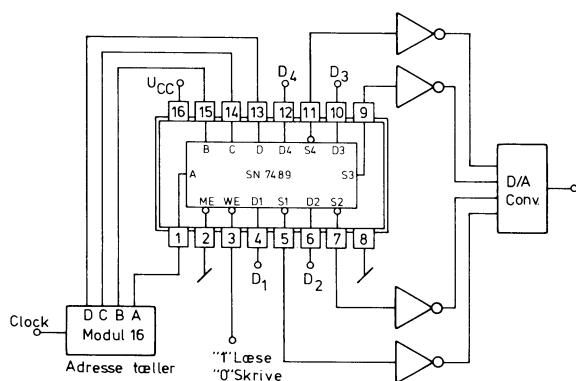
1. Opstilling
2. Programmering
3. Udlæsning

## UDSTYR

Øvelsespanel, D/A-konverter, oscilloskop, SN7489

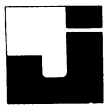
## 1. OPSTILLING

### 1.1 Opbyg viste opstilling



### 1.2 RAM

- RAM'en er en  $16 \cdot 4$  bit RAM, dvs. der kan lagres 16 ord bestående af 4 bit hver
- hvor i lageret informationen placeres eller hentes ud, bestemmes af adresseindgangene A, B, C, D
- med ME og WE styres, om der skal indlæses, udlæses, eller om lageret skal blokeres
- lageret kan kun huske den indlæste information, så længe spændingen er tilsluttet
- på  $D_1$ ,  $D_2$ ,  $D_3$ ,  $D_4$  indsættes den information, der skal lagres på den adresse, der er bestemt af A, B, C, D



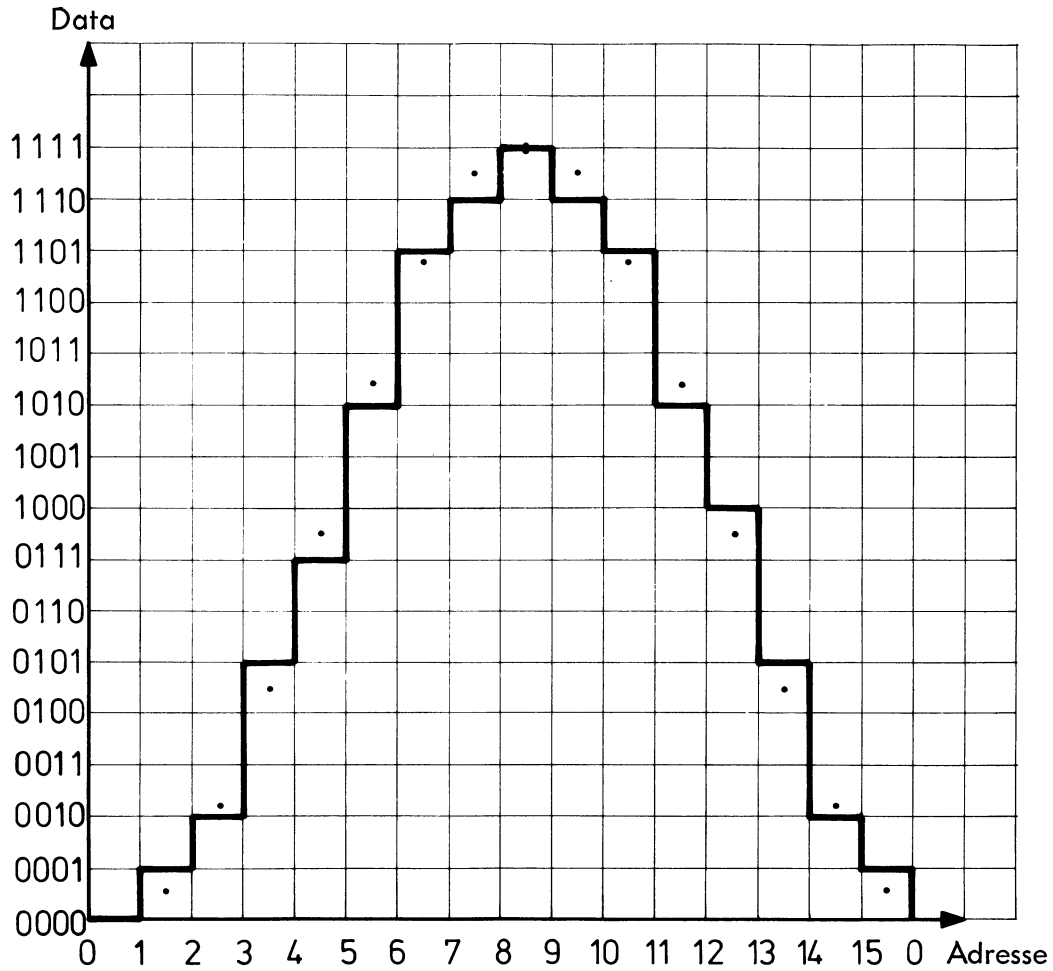
## 2. PROGRAMMERING

### 2.1 Data

- de data, der her skal indlæses, består af en sinuskurve

### 2.2 Aflæs data fra kurvebladet

- husk, at information bibeholdes på udgangen, indtil næste adresse er indkodet

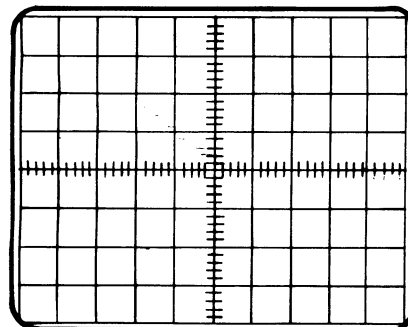




Adresse	D <sub>4</sub>	D <sub>3</sub>	D <sub>2</sub>	D <sub>1</sub>
0				
1				
2				
3				
4				
5				
6				
7				
8				
9				
10				
11				
12				
13				
14				
15				

### 3. UDLÆSNING

- 3.1 Tilslut oscilloskop  
- til udgangen D/A-konverteren
- 3.2 Tilfør adressetælleren clock-impulser  
- med høj frekvens
- 3.3 Tegn oscilloskopbilledet  
- trig int.

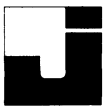


### 2.3 Indlæs data

- reset adressetælleren til 0
- indsæt data på D<sub>4</sub>, D<sub>3</sub>, D<sub>2</sub>, D<sub>1</sub>
- indsæt et kortvarigt 0 på WE, data 0 er nu indlæst
- clock frem til næste adresse, indlæs data og fortsæt, til alle data er indlæst

#### ADVARSEL

- der må ikke slukkes for opstillingen, før øvelsen er afsluttet, da det vil slette data



DISPOSITION

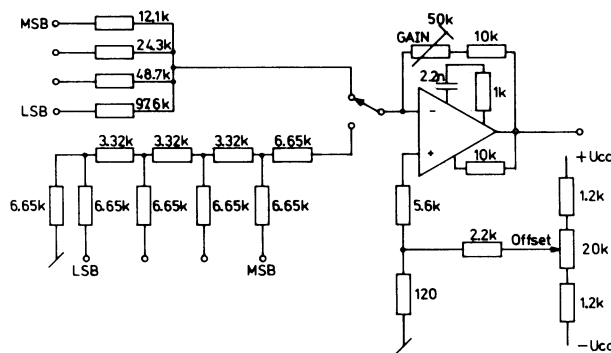
1. Digital/analog-konverter

UDSTYR

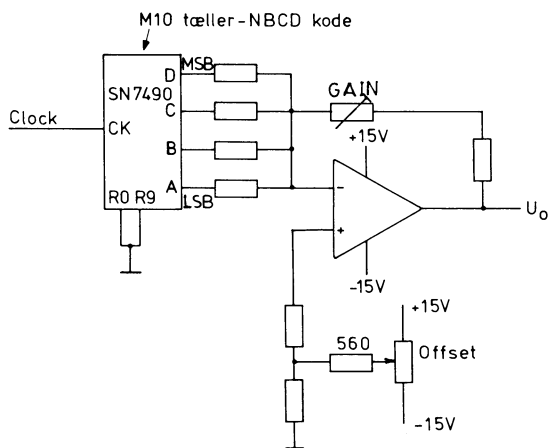
Øvelsespanel, målepanel, spændingsforsyning ± 15 V, oscilloskop

1. DIGITAL/ANALOG-KONVERTER

1.1 Målepanel



1.2 Forbind viste måleopstilling



1.3 Clock NBCD-tælleren til 0000  
- juster OFFSET

1.4 Juster GAIN til full scale =  
10 V

1.5 Tilfør A, B, C og D viste inputkombinationer  
- mål  $U_o$   
- udfyld skema

Input				Output
D	C	B	A	$U_o$
0	0	0	0	
0	0	0	1	
0	0	1	0	
0	0	1	1	
0	1	0	0	
0	1	0	1	
0	1	1	0	
0	1	1	1	
1	0	0	0	
1	0	0	1	

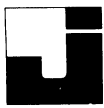
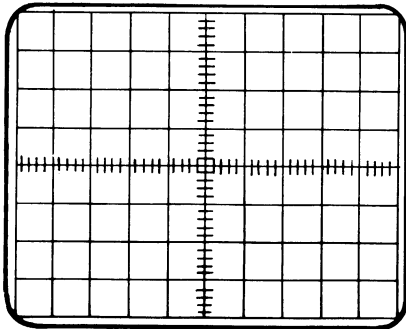
1.6 Hvor stor er forstærkningen fra A til udgangen ?

1.7 Hvor stor er forstærkningen fra B til udgangen ?

1.8 Hvor stor er forstærkningen fra C til udgangen ?

1.9 Hvor stor er forstærkningen fra D til udgangen ?

1.10 Tilslut NBCD-tælleren en clock-frekvens på 1 kHz

1.11 Tegn oscilloskopbilledet af  $U_o$ 

## 1.12 Misjuster GAIN

- tegn oscilloskopbilledet i pkt. 1.11
- mærk kurven "GAIN-fejl"

## 1.13 Juster GAIN til korrekt værdi

## 1.14 Misjuster OFFSET

- tegn oscilloskopbilledet i pkt. 1.11
- mærk kurven "OFFSET-fejl"

## 1.15 Beskriv forskellen mellem en "GAIN-fejl" og en "OFFSET-fejl"

---

---

---

---

---

---

---

---

---

---



## DISPOSITION

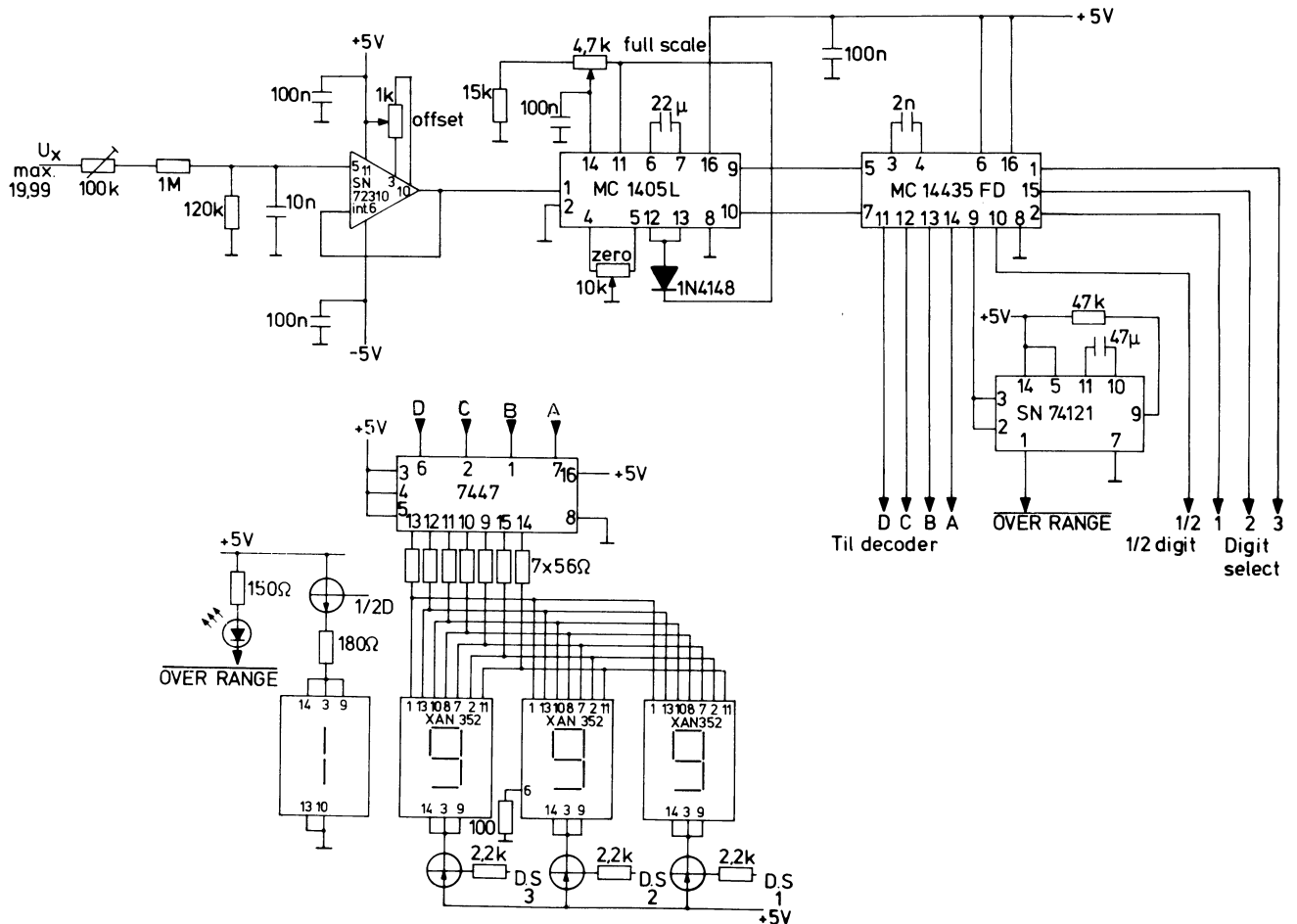
1. Målepanel
2. A/D-konverter

## UDSTYR

Målepanel, oscilloskop, meterkalibrator

## 1. MÅLEPANEL

### 1.1 Diagram



### 1.2 Juster Zero-potentiometer

- kortslut ben 1 på MC1405L til stel
- juster til 0000 visning
- fjern kortslutning

### 1.3 Juster OFFSET-potentiometer

- kortslut indgangen til stel
- juster til 0000 visning
- fjern kortslutning

### 1.4 Juster attenuator

- tilslut indgangen en spænding på 19,99 V
- mål spændingen på MC1405L ben 1
- indstil indgangsattenuatoren, til der måles 1,999 V

### 1.5 Juster Zero-potentiometer

- kortslut indgangen til stel
- juster til 0000 visning



- 1.6 Juster full scale-potentiometer
  - tilslut indgangen en spænding på 19,995 V
  - juster til skift mellem 1999 visning og "overrange"

- 1.7 Gentag pkt. 1.5 og pkt. 1.6 nogle gange

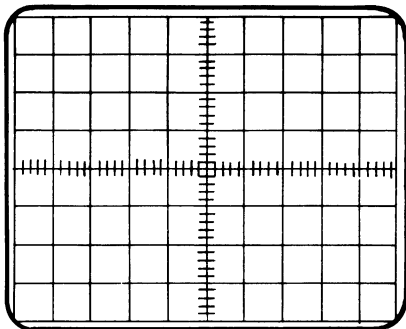
2. A/D-KONVERTER

- 2.1 Tilslut CH2 på oscilloskopet til p6 på MC1405
  - tilslut CH1 til p7 på MC1405
  - mål differentielt mellem p6 og p7

- 2.2 Trig Ext + på MC1405/p9

- 2.3 Tilslut 15 V til indgangen på kredsløbet

- 2.4 Tegn oscilloskopbilledet
  - mærk kurven 15 V



- 2.5 Tilslut 10 V til indgangen på kredsløbet
  - tegn oscilloskopbilledet som pkt. 2.4
  - mærk kurven 10 V

- 2.6 Tilslut 5 V til indgangen på kredsløbet
  - tegn oscilloskopbilledet i pkt. 2.4
  - mærk kurven 5 V

- 2.7 I hvor lang tid går slopen i positiv retning ved 5, 10 og 15 V?

5 V - \_\_\_\_\_ s

10 V - \_\_\_\_\_ s

15 V - \_\_\_\_\_ s

- 2.8 Beskriv forholdet mellem hældningen på den positive slope og indgangsspændingen

---

---

---

---

---

---

---

---

- 2.9 Beskriv forholdet mellem hældningen på den negative slope og indgangsspændingen

---

---

---

---

---

---

---

---

- 2.10 Hvilket forhold er der mellem indgangsspændingen og den tidsmæssige længde af den negative slope ?

---

---

---

---

---

---

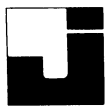
---

---

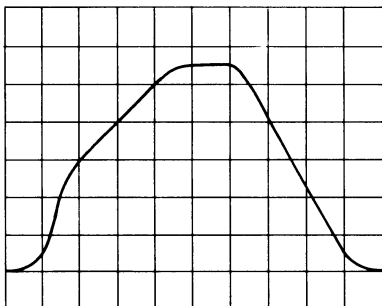


1. Hvilken kurveform er ikke en impuls?
- Symmetrisk firkant.
- Trekant.
- Sinus.
- Asymmetrisk firkant.
2. Ved en impuls stigetid forstås :
- Den tid det tager for impulsen at vokse fra 0% til 100% af fuld opnåelig amplitude.
- Den tid det tager for impulsen at vokse fra 10% til 90% af fuld opnåelig amplitude.
- Den tid det tager for impulsen at vokse fra 0% til 50% af fuld opnåelig amplitude.
- Den tid det tager for impulsen at vokse fra 20% til 80% af fuld opnåelig amplitude.
3. Varighed af en impuls kan fastlægges :
- Helt entydigt som varigheden ved 50% niveau.
- Helt entydigt som varigheden ved 10% niveau.
- På flere forskellige måder som f.eks. varigheden ved 10%, 50% eller 90% niveau.
- Helt entydigt som varigheden ved 90% niveau.
4. Pausetiden på en impuls må være den tid, hvor impulsniveauet er :
- Tiden mellem stige- og faldetiden.
- Positivt.
- Negativt.
- 0 V.
5. Impulstiden for en negativ impuls er den tid, hvor impulsniveauet er :
- Negativt.
- Positivt.
- Negativt eller positivt.
- 0 V.

Navn: \_\_\_\_\_ Trin: \_\_\_\_\_ Dato: / 19 Godk.: \_\_\_\_\_ 115



6. Impulsamplituder måles i:
- Spids- til spidsværdi.
  - Middelværdi.
  - Effektværdi.
  - Øjebliksværdi.
7. Følgende vil finde sted, hvis pausetiden på en firkantspænding øges, idet impulstiden forbliver konstant:
- Impulsrepetitionsfrekvensen forbliver konstant.
  - Impulsrepetitionsfrekvensen mindskes.
  - Impulsrepetitionsfrekvensen øges.
  - Impuls-pauseforholdet forbliver uændret.
8. Frekvensen er 25 kHz på positive firkantimpulser. Impulslængden er  $30\ \mu\text{s}$ .  
Hvor længe varer pausen?
- $10\ \mu\text{s}$
  - $0\ \mu\text{s}$
  - $20\ \mu\text{s}$
  - $30\ \mu\text{s}$
9. Impulsrepetitionsfrekvensen forudsættes konstant.  
Hvilket er da rigtigt:
- Forholdet mellem impuls-pauseforholdet skal være konstant.
  - Impulstiden kan varieres, medens pausetiden fastholdes.
  - Forholdet mellem impuls-pausetiden kan varieres.
  - Pausetiden kan varieres, medens impulstiden fastholdes.



10. Ovenstående kurve stammer fra et oscilloskop, som er indstillet til en sweep hastighed på  $100\ \mu\text{s}/\text{div.}$  og en følsomhed på  $20\ \text{mV}/\text{div.}$   
Svarende hertil er følgende korrekt:
- | Stigetid           | Faldetid           | $U_{pp}$         |                          |
|--------------------|--------------------|------------------|--------------------------|
| $500\ \mu\text{s}$ | $500\ \mu\text{s}$ | $90\ \text{mV}$  | <input type="checkbox"/> |
| $350\ \mu\text{s}$ | $500\ \mu\text{s}$ | $45\ \text{mV}$  | <input type="checkbox"/> |
| $300\ \mu\text{s}$ | $250\ \mu\text{s}$ | $110\ \text{mV}$ | <input type="checkbox"/> |
| $100\ \mu\text{s}$ | $250\ \mu\text{s}$ | $110\ \text{mV}$ | <input type="checkbox"/> |
| $280\ \mu\text{s}$ | $370\ \mu\text{s}$ | $110\ \text{mV}$ | <input type="checkbox"/> |



1. Tegn en komplet op- og aflade-  
kurve for et RC led.

.....

.....

.....

.....

.....

.....

.....

.....

.....

.....

.....

2. Tidskonstanten af et RC led på  
 $3,3 \text{ k}\Omega$  og  $47 \text{ nF}$  er:

\_\_\_\_\_

\_\_\_\_\_

\_\_\_\_\_

\_\_\_\_\_

3. Ved tiden  $1,5\tau$  har en kondensa-  
tor, som lades op gennem en  
modstand, en spænding på:

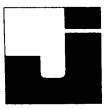
\_\_\_\_\_

\_\_\_\_\_

\_\_\_\_\_

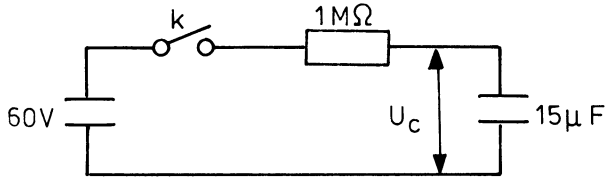
4. Ved tiden  $0,7\tau$  har en kondensa-  
tor, som lades af gennem en  
modstand, en spænding på:

- 70% af den spænding, den var ladet op til.
- 50% af den spænding, den var ladet op til.
- 25% af den spænding, den var ladet op til.
- 60% af den spænding, den var ladet op til.



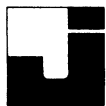
5. Hvor stor vil  $U_c$  være 5 sekunder efter, kontakten  $k$  er sluttet?

Kondensatoren var afladt ved forsøgets start.



6. En kondensator på  $0,1 \mu\text{F}$ , som er ladet op til 1,4 volt, aflades gennem  $47 \text{ k}\Omega$ .

Hvor stor er  $U_c$  efter 10 ms?



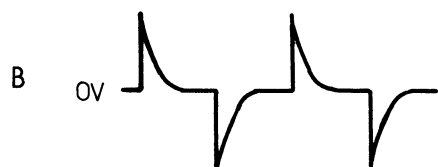
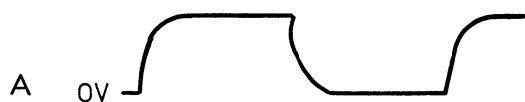
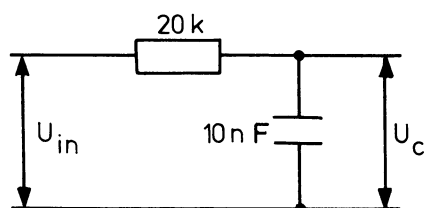
1. På det viste RC led er påtrykt en positiv gående tidssymmetrisk firkantspænding  $10 V_{pp}$  med frekvensen  $250 \text{ Hz}$ .

- A   
B   
C   
D   
E

Hvordan ser spændingen ud over C ?

5 mm vandret = 1 ms

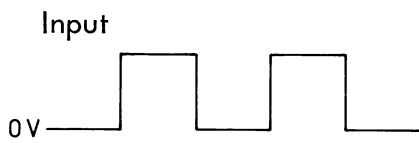
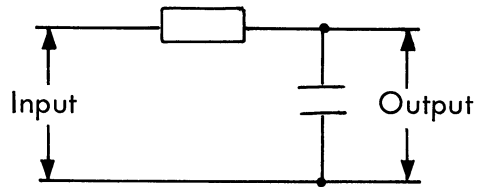
5 mm lodret = 5 V



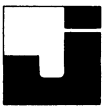


2. Bestem det rigtige output.

- A
- B
- C
- D
- E



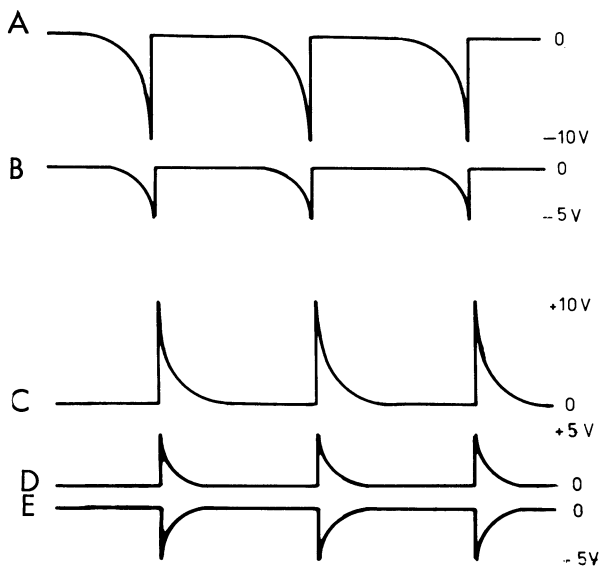
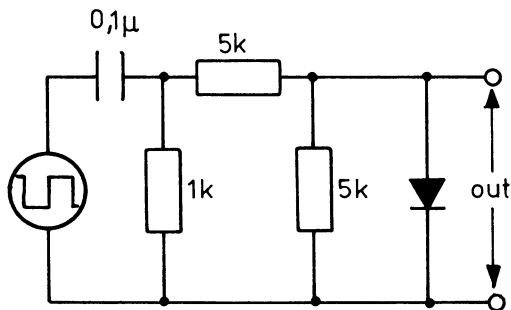
- Output
- A
  - B
  - C
  - D
  - E



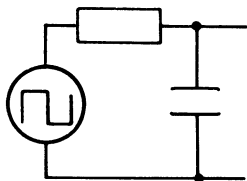
3. Generatoren i opstillingen leverer symmetriske firkantimpulser af størrelsen  $10 V_{SS}$ .

Udgangssignalet  $u_o$  vil da have et udseende som vist i figur.

- A   
B   
C   
D   
E



4. For det viste leds DC komponent på udgangen gælder følgende:

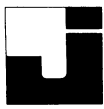


Den er proportional med hældningen på indgangskurveformen.

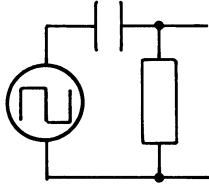
Den er uafhængig af impuls-pauseforholdet på grund af kondensatorens stabiliserende virkning.

Den er proportional med arealet af indgangsimpulserne.

Den bliver større, hvis pausen bliver større, idet kondensatoren ikke kan nå af aflade.



5. For det viste leds udgangsspænding gælder følgende:



Den er proportional med arealet af indgangsimpulserne.

Dens amplitude er afhængig af impuls-pauseforholdet.

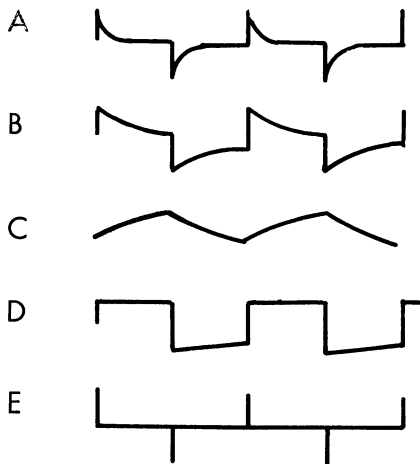
Hvis der tilføres positive firkantimpulser, forekommer der kun positive spændinger på udgangen.

Den er proportional med hældningen på indgangskurveformen.

6. En symmetrisk firkantspænding er blevet differentieret ved hjælp af et CR led.

Frekvensen er 50 kHz, modstanden 10 k $\Omega$  og kondensatoren 1 nF.

Hvilken af de viste kurveformer er den rette?



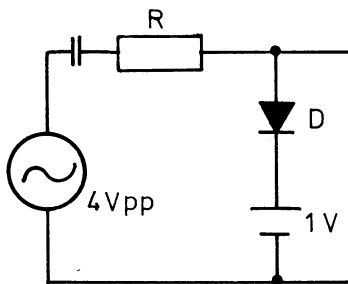
- A
- B
- C
- D
- E



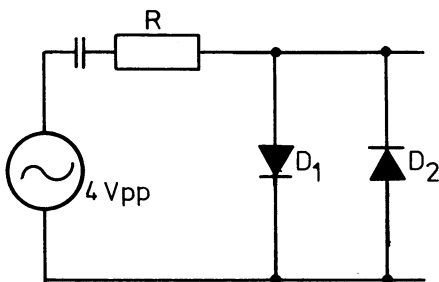
1. Tegn principdiagram af en serie-diodebegrænser.

2. Tegn principdiagram af en parallel-diodeklipper.

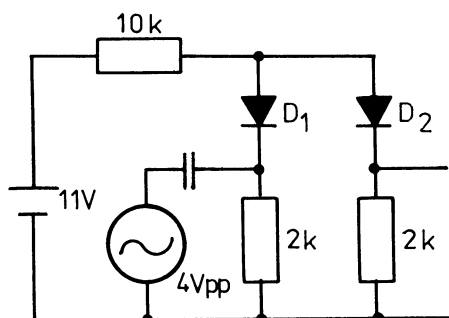
3. Tegn udgangssignal for den viste begrænser.



4. Tegn udgangssignal for den viste begrænser.

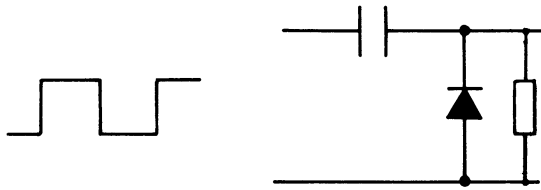


5. Tegn udgangssignal med angivne spændinger, idet dioderne betragtes som ideelle af den viste klipper.





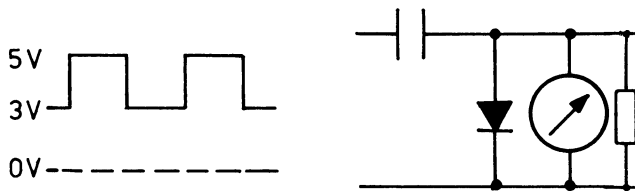
1. Tegn udgangssignalet for den viste clamper med angivelse af nul-linie.



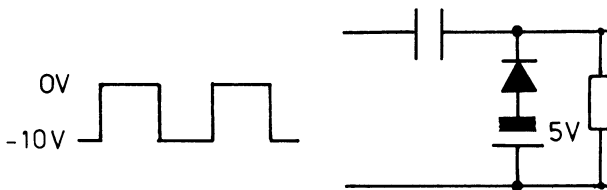
2. Indgangen af en clamper tilsluttes en firkantspænding med de angivne spændingsniveauer.

På udgangen tilsluttes et jævnspændingsinstrument.

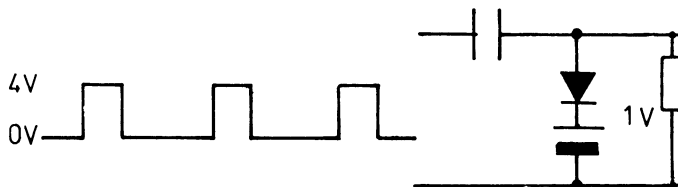
Hvilken spænding vil instrumentet vise?

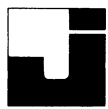


3. Tegn udgangssignalet for den viste clamper og angiv spændinger.



4. Tegn udgangssignalet for den viste clamper og angiv spændinger.

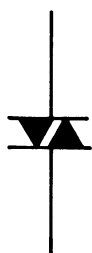




Nedenstående symboler anvendes i opgave 1 til 6.



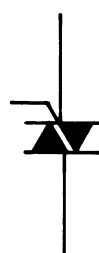
a.



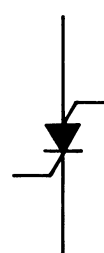
b.



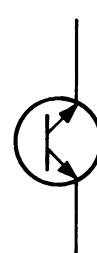
c.



d.



e.



f.

1. Symbol a viser en :

- Trigger DIAC   
 DIAC   
 SUS   
 Shockley-diode   
 SCR

2. Symbol b viser en :

- Trigger DIAC   
 DIAC   
 TRIAC   
 Shockley-diode   
 SCR

3. Symbol c viser en :

- Trigger DIAC   
 SCS   
 DIAC   
 Shockley-diode   
 SCR

4. Symbol d viser en :

- Trigger DIAC   
 DIAC   
 TRIAC   
 SCS   
 SCR

5. Symbol e viser en :

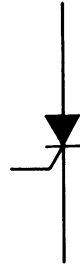
- Trigger DIAC   
 TRIAC   
 SCS   
 SCR   
 LASCS

6. Symbol f viser en :

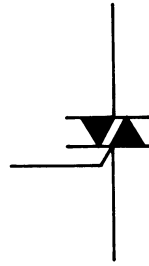
- Trigger DIAC   
 TRIAC   
 SCS   
 SCR   
 LASCS

Navn: \_\_\_\_\_ Trin: \_\_\_\_\_ Dato: \_\_\_\_\_ / \_\_\_\_\_ 19 Godk.: \_\_\_\_\_

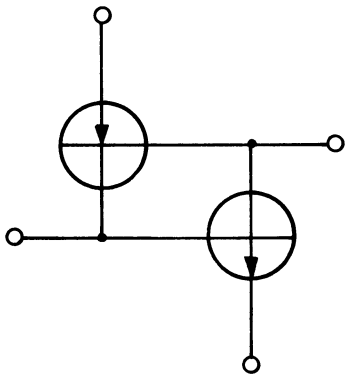
7. Påfør symbolet terminalbetegnelser.



8. Påfør symbolet terminalbetegnelser.

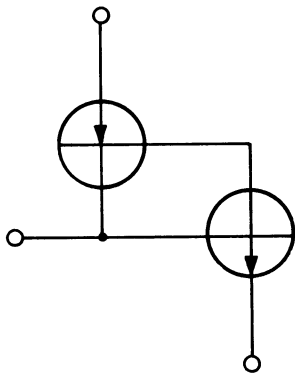


9. Ækvivalentdiagrammet viser en :



- SCR
- TRIAC
- DIAC
- SCS
- SBS

10. Ækvivalentdiagrammet viser en :



- SCR
- TRIAC
- DIAC
- SCS
- SBS



11. På hvilke måder kan en SCR bringes til at lede?

---

---

---

---

---

---

---

---

12. På hvilke måder kan en SCR bringes i OFF?

---

---

---

---

---

---

---

---

13. Hvad sker der med "Breakover Voltage", hvis gatestrømmen øges i en SCR?

---

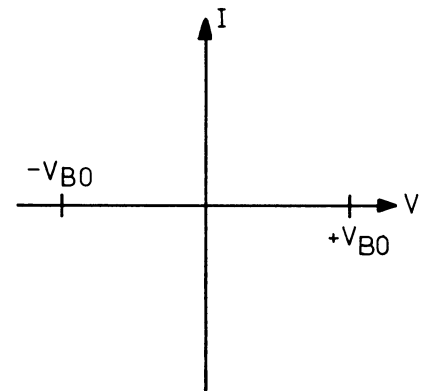
---

---

---

---

14. Tegn karakteristikken for en trigger DIAC.



15. Kan en DIAC lede i begge retninger?

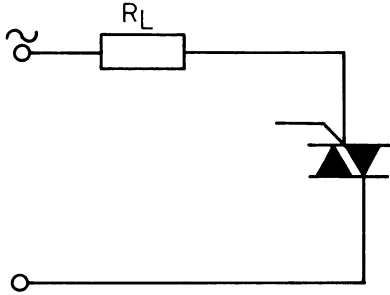
Ja   
Nej



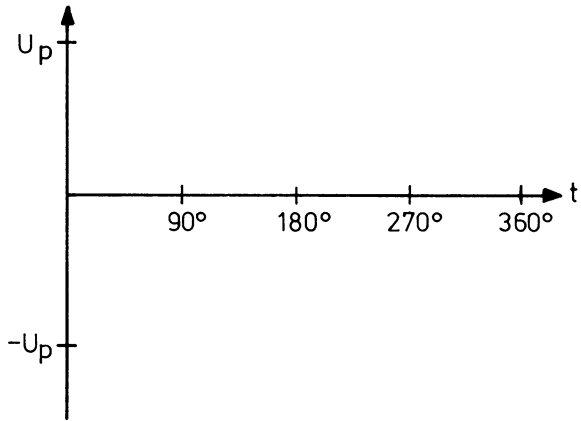
16. Kan en TRIAC lede i begge retninger ?

Ja   
Nej

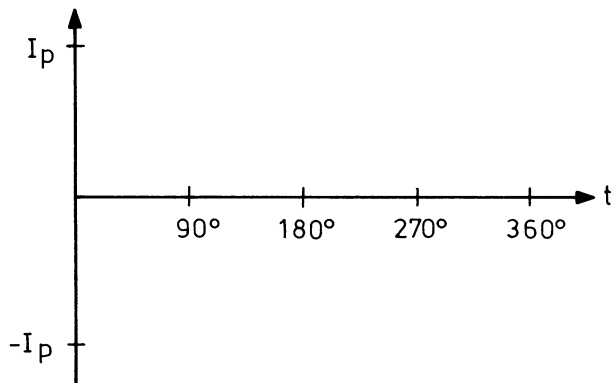
17. En TRIAC leder i 90° af hver halvperiode i en sinusspænding.

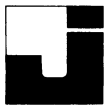


a. Tegn spændingskurven over TRIAC'en.



b. Tegn kredsløbsstrømmens udseende.





1. For en LDR-modstand er følgende påstand rigtig:

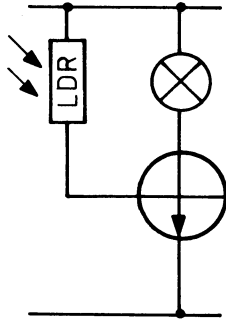
Modstandsværdien stiger ved stigende belysning

Modstandsværdien falder ved stigende belysning

2. For kredsløbet gælder:

Lampen lyser ved stigende belysning

Lampen slukkes ved stigende belysning



3. En LDR har i mørke en modstandsværdi på ca.:

10 M $\Omega$

100  $\Omega$

4. Tegn diagramsymbolet for en fotodiode.

5. For en fotodiode er følgende påstand rigtig:

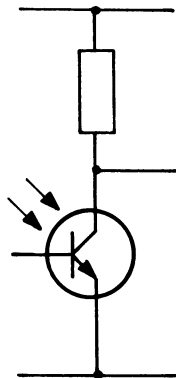
Lækstrømmen stiger ved stigende belysning

Lækstrømmen falder ved stigende belysning

6. For viste kredsløb gælder:

Ved stigende belysning stiger kollektorspændingen

Ved stigende belysning falder kollektorspændingen



Navn: \_\_\_\_\_ Trin: \_\_\_\_\_ Dato: \_\_\_\_\_ / 19 \_\_\_\_\_ Godk.: \_\_\_\_\_



7. Hvor stor en spænding kan måles over en LED, der lyser ?

0,5 til 0,7 V

1 til 2 V

0,2 til 0,5 V

2 til 5 V

8. Hvad sker der med det udsendte lys fra en LED, hvis diodestrømmen øges ?

LED'en lyser svagere

LED'en lyser kraftigere

9. Hvilken "cut-off"-frekvens har fotodioden BPX 42 ?

---

---

---

10. Hvor stor en spænding kan forventes målt på anoden af et nixie-rør, der lyser ?

---

---

---

11. Hvorfor kaldes et nixie-rør også koldkatoderør ?

---

---

---

---

---



1. Hvad forstås der ved et integreret kredsløb?

---

---

---

---

---

---

2. Hvad forstås der ved tynd- og tykfilm?

---

---

---

---

---

---

3. Hvad forstås der ved et monolitisk kredsløb?

---

---

---

---

---

---

4. Hvad forstås der ved analog-teknik?

---

---

---

---

---

---

5. Hvad forstås der ved digital-teknik?

---

---

---

---

---

---

Navn: \_\_\_\_\_ Trin: \_\_\_\_\_ Dato: / 19 Godk.: \_\_\_\_\_



6. Kodningen på et integreret kredsløb er TBA 540BQ.

Hvad kan der læses ud af denne kode?

Ref. Philips Pocket Book eller TI: Integreret kredsløb

7. Ref. TAA 263, Philips Pocket Book eller TI: Integreret kredsløb

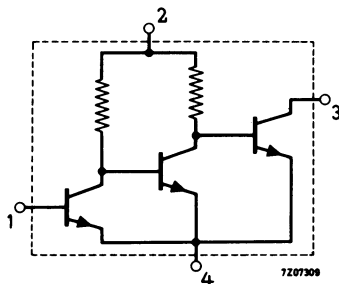
a. Hvilket anvendelsesformål har TAA 263?

b. Hvor stor er forstærkningen i dB?

c. Hvor stor forsyningsspænding skal IC'en arbejde med?

d. Hvilken hustype er anvendt?

e. Indtegn signalvejen på diagrammet over IC'en





1. Hvad betyder følgende forkortelser?

RTL

---

DTL

---

HLL

---

TTL

---

ECL

---

MOS

---

CMOS

---

2. Hvilken fordel har et HLL-kredsløb i forhold til et DTL-kredsløb?

---



---



---



---

3. Hvilken fordel har et TTL-Schottky-kredsløb i forhold til et standard TTL-kredsløb?

---



---



---



---

4. Hvilket spændingsområde accepteres som logisk "0" af en TTL-gate?

---



---



---

5. Hvilket spændingsområde accepteres som logisk "1" af en TTL-gate?

---



---



---

6. Hvor stor en støjmargen har en TTL-gate?

---



---

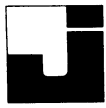


---



---

Navn: \_\_\_\_\_ Trin: \_\_\_\_\_ Dato: / 19 Godk.: \_\_\_\_\_



7. Hvor stor er arbejdsfrekvensen for :

En TTL-gate ?

---

En TTL-Schottky-gate ?

---

En ECL-gate ?

---

En CMOS-gate ?

---

---

---

8. Hvor stor er støjmargen på en CMOS-gate ?

---

---

---

9. Hvad betyder udtrykket "fan out"?

---

---

---

---

10. Hvor stor er "fan out" på :

En DTL-gate ?

---

En TTL-gate ?

---

En CMOS-gate ?

---

En ECL-gate ?

---

---

11. Hvilke fordele har CMOS-kredsløb ?

---

---

---

---

---

---

---

---

---



1. Hvilket problem kan en TTL-trig-  
ger-probe løse, når man ønsker at  
undersøge en lille del af en se-  
kvens med et oscilloskop?

---

---

---

---

---

---

---

---

2. Hvordan anvendes en "Logic clip"  
til fejlsøgning?

---

---

---

---

---

---

---

---

3. Kan en Hewlett Packard logic  
probe (10525T) indikere, om en  
spænding ligger mellem logisk "0"  
og logisk "1"?

Ja   
Nej

4. Hvorkan kan en kortslutning til  
stel konstateres med en "Logic  
probe" og en "Logic pulser"?

5. Hvilken spænding viser et univer-  
salinstrument, hvis der måles på  
en impulssekvens?

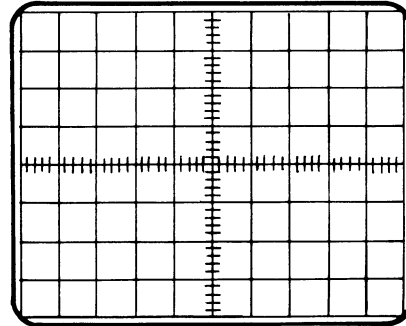
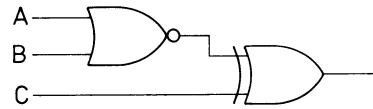
Peak-værdien   
Effektivværdien   
Middelværdien

Navn: \_\_\_\_\_ Trin: \_\_\_\_\_ Dato: / 19 Godk.: \_\_\_\_\_

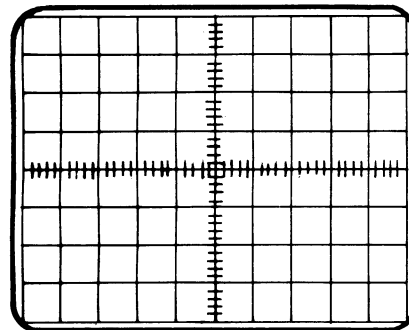


6. Det viste kredsløb testes med karnaughkort display og oscilloskop, kredsløbet er OK.

Hvad viser oscilloskopet?

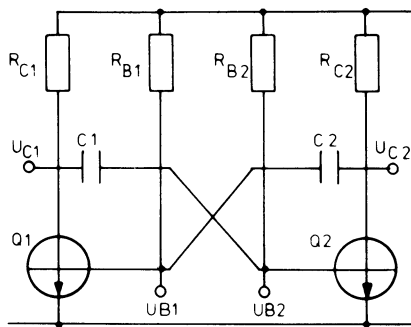


7. Hvad viser oscilloskopbilledet for kredsløbet i opgave 6, hvis output fra NOR-gaten konstant er  $U_{CC}$ ?





1. Skriv de tidsbestemmende komponenter for den viste multivibrator.




---



---



---



---



---



---

2. Det er karakteristisk for en astabil multivibrator, at:

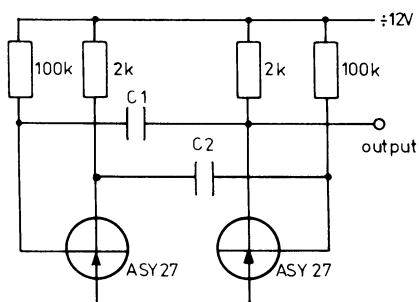
- Den har ikke nogen stabil stilling.
- Den har to stabile stillinger.
- Den har en stabil stilling.
- Den er følsom overfor indgangssignalets amplitude.

3. Pausetiden i punktet  $U_{C2}$  på den viste multivibrator i opgave 1 er bestemt af:

- $C_2 \cdot R_{B1} \cdot 2,2$
- $C_1 \cdot R_{B2}$
- $C_2 \cdot R_{B1}$
- $C_1 \cdot R_{C1}$

4. Som output ønskes en firkantspænding med repetitionsfrekvensen 10 kHz og med 25  $\mu$ s brede impulser.

Bestem de manglende komponenter.



$$C_1 =$$

---

$$C_2 =$$

---



---



---



---



---



---



---



---



---

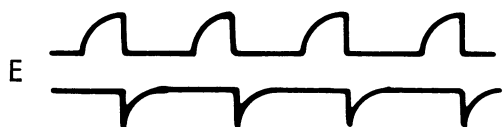
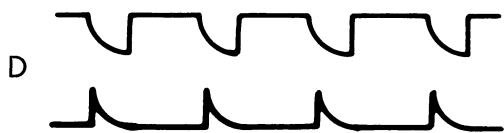
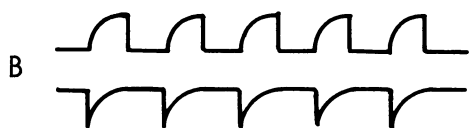
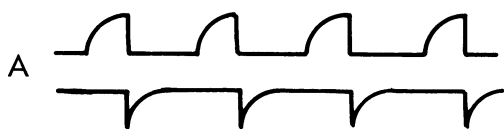
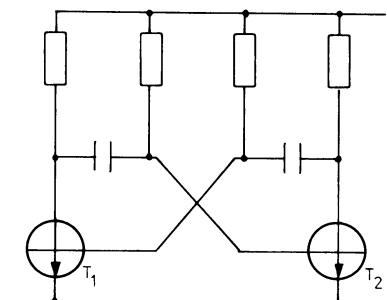


---



5. Signalerne på  $T_2$ , målt på henholdsvis kollektor og base, vil ved hjælp af et dobbeltstråleoscilloskop se ud som vist i figur:

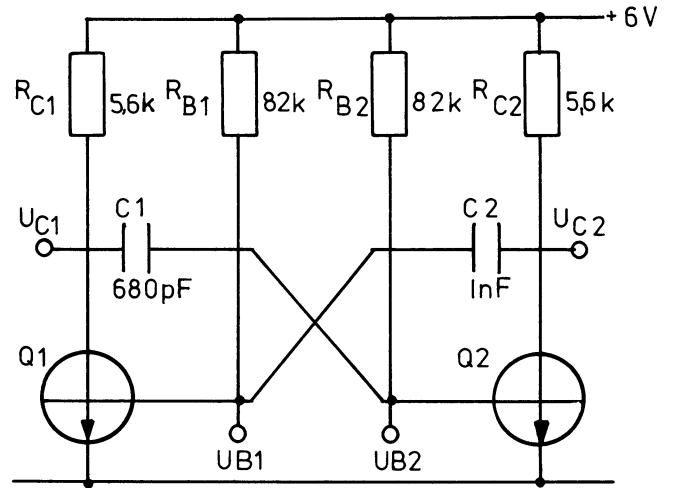
- A   
B   
C   
D   
E



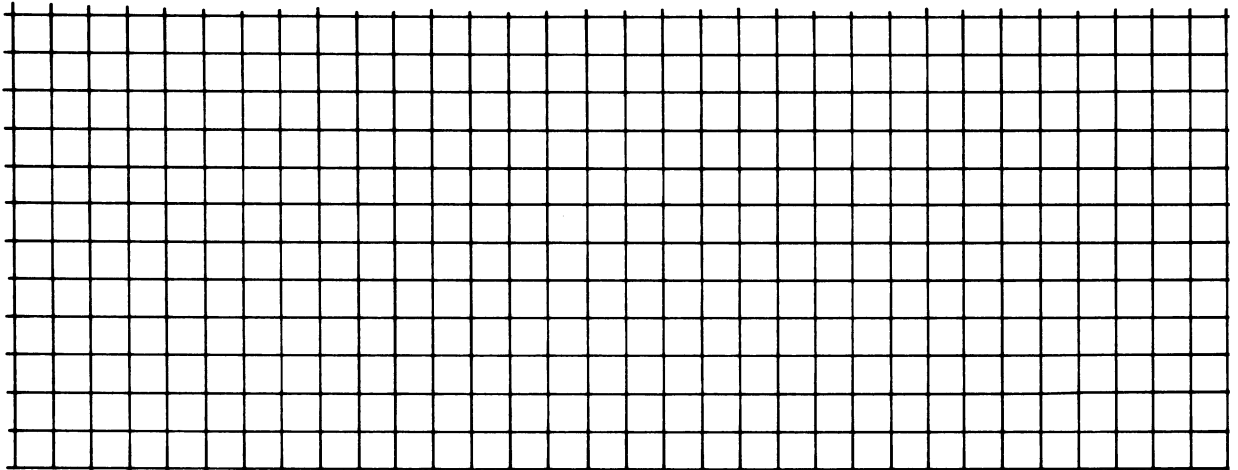


6. Tegn de fire kurver  $U_{C1}$ ,  $U_{B1}$ ,  $U_{C2}$  og  $U_{B2}$  tidsmæssigt sammenfaldende og med 0 volt angivet præcist.

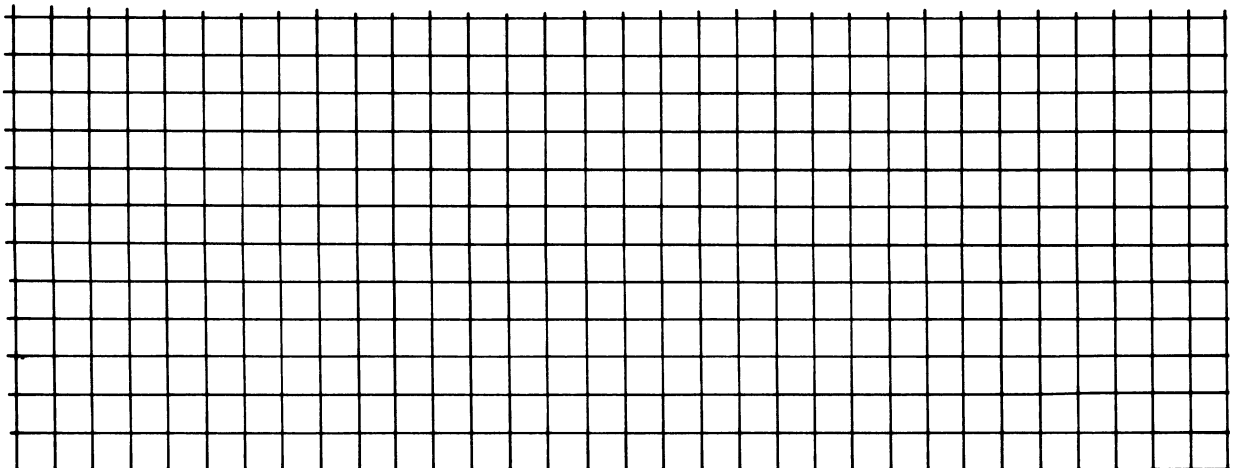
Timebase alle kurver:  $10 \mu\text{s}/\text{cm}$   
 $Y = 1 \text{ V}/\text{div.}$



$U_{C1}$

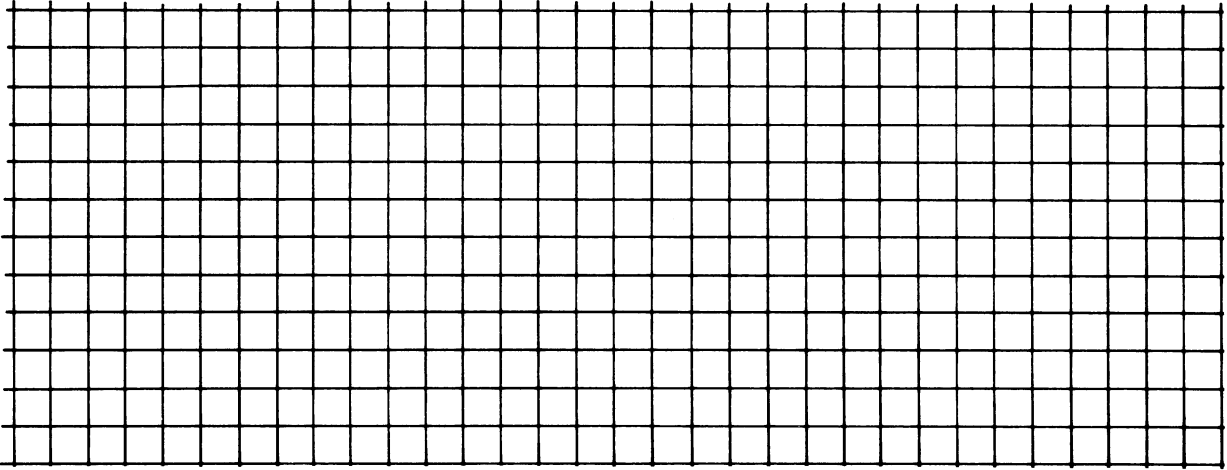


$U_{B1}$

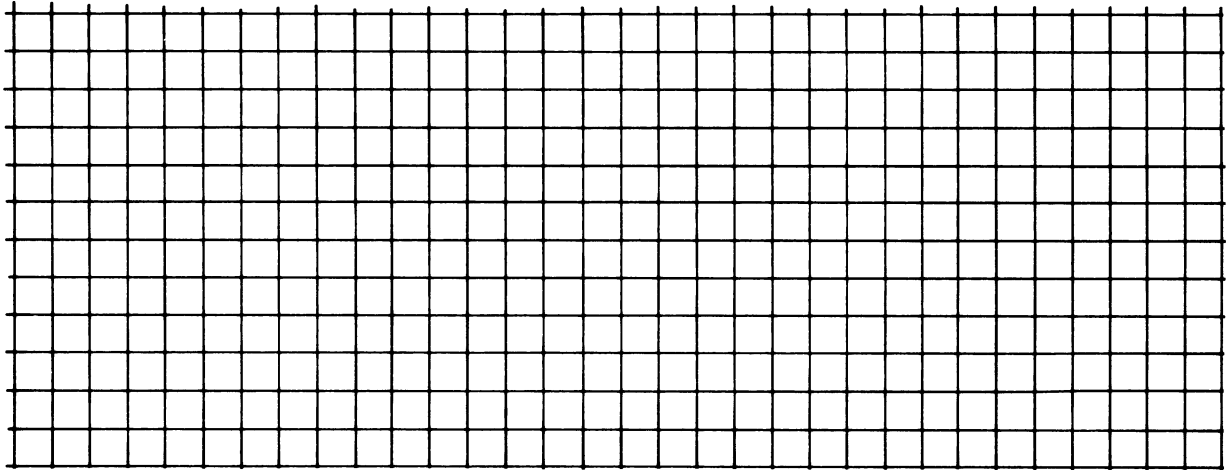


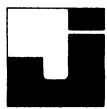


$U_{C_2}$

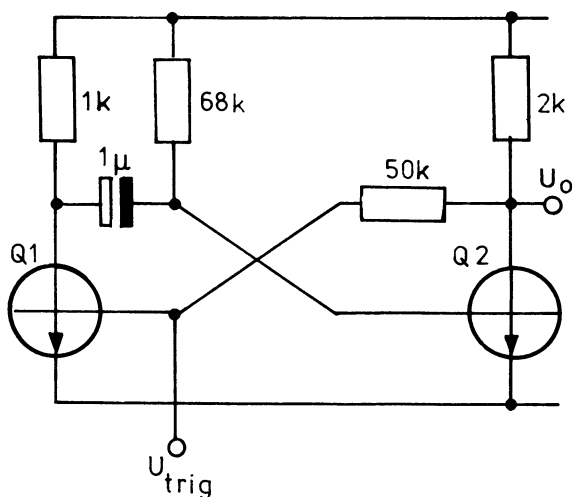


$U_{B_2}$





1. Skriv de tidsbestemmende komponenter for den viste multivibrator.



2. Det er karakteristisk for en monostabil multivibrator, at:

Den har ikke nogen stabil stilling.

Den har to stabile stillinger.

Den har en stabil stilling.

Den har to ustabile stillinger.

3. For den viste multivibrator i opgave 1 gælder:

Udgangssignalets stigetid på kollektoren af  $Q_1$  er hovedsagelig bestemt af turn-off tiden på  $Q_1$ .

Der er ingen forskel på udgangssignalets stigetider på kollektorerne af  $Q_1$  og  $Q_2$ .

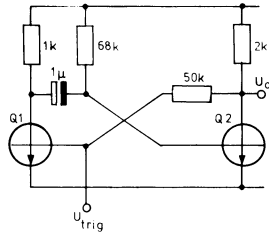
Den bedste stigetid opnås på kollektoren af  $Q_1$  i forhold til  $Q_2$ .

Den bedste stigetid opnås på kollektoren af  $Q_2$  i forhold til  $Q_1$ .

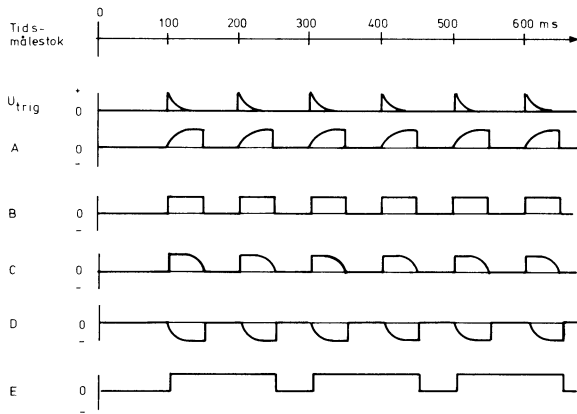


4. Multivibratoren triges med det anførte triggersignal.

Hvilke af de viste udgangssignaler er i overensstemmelse med triggersignalet ?

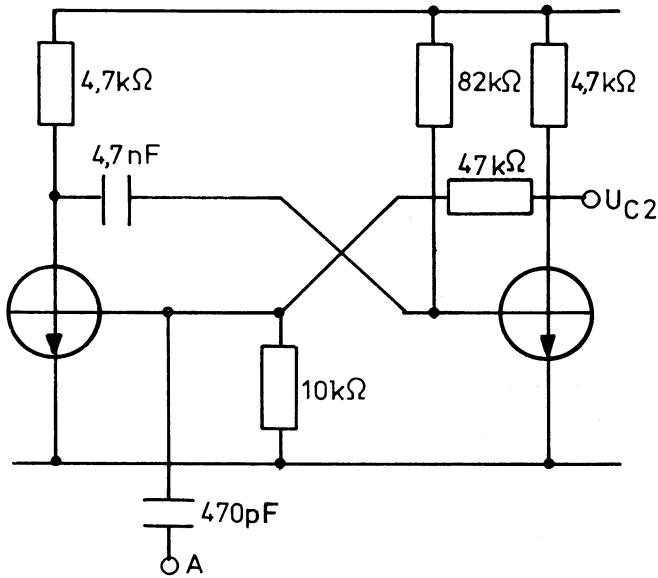


- A
- B
- C
- D
- E

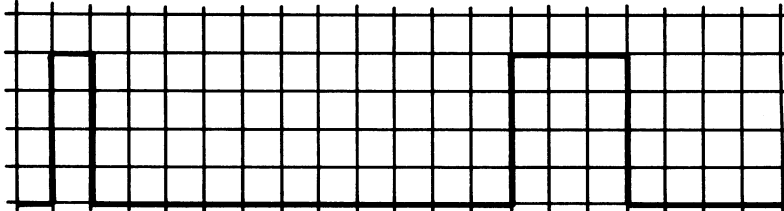




5. Multivibratoren får tilført det viste indgangssignal.



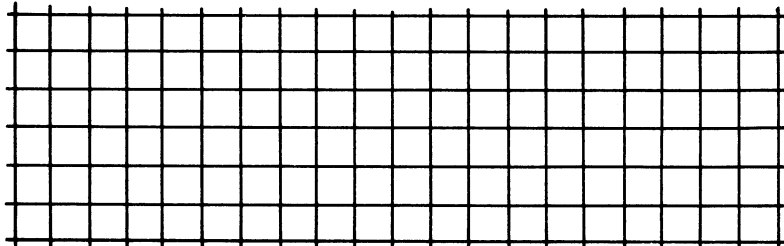
Input

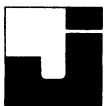


$50\mu\text{s} = 1 \text{ tern}$

Indtegn output  $U_{C_2}$  på testbesvarelsen således, at der er tidsmæssig overensstemmelse med input.

Output

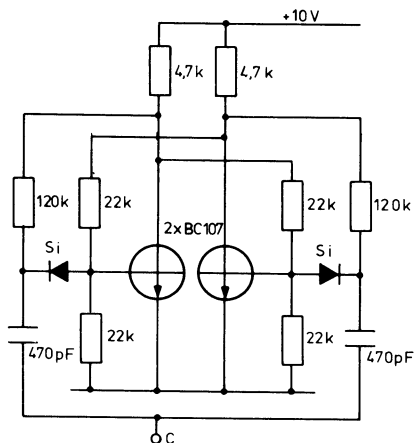




1. Det er karakteristisk for en bistabil multivibrator, at:

- Den har ikke nogen stabil stilling.
- Den har to stabile stillinger.
- Den har en stabil stilling.
- Den er følsom overfor indgangssignalets amplitude.

2. Den viste multivibrator ændrer stilling på:



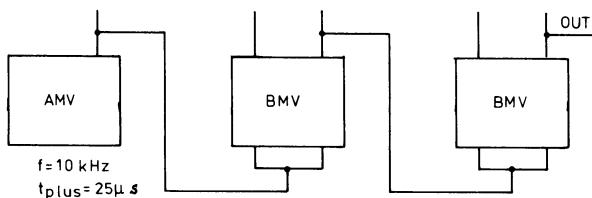
- Forkanten af en positiv firkantimpuls.
- Bagkanten af en negativ firkantimpuls.
- Bagkanten af en positiv firkantimpuls.
- Både for- og bagkant af en positiv firkantimpuls.

3. De to dioders funktion i den viste multivibrator i opgave 2 er, at:

- Udelukke, at de positive forkanter fra styresignalet skifter den transistor, som er OFF.
- Beskytte transistorerne mod for store spændinger på basen.
- Muliggøre, at transistoren kan arbejde på en højere skiftfrekvens.
- Udelukke, at de negative bagkanter fra styresignalet skifter den transistor, som er ON.

4. Output fra en astabil multivibrator ledes til to bistabile multivibrators, der arbejder som to-dele-

re. Output fra den sidste bistabile multivibrator vil da komme til at se således ud:

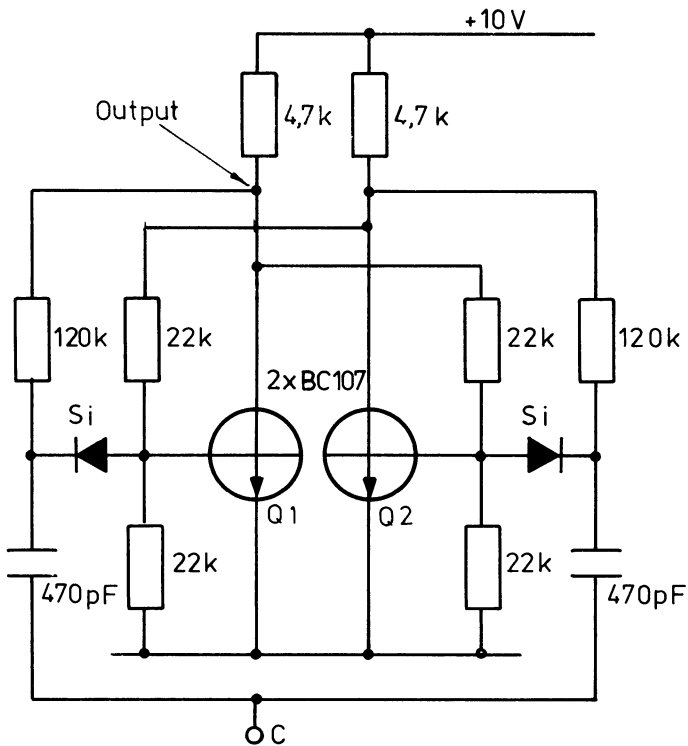


- | $t_{puls}$  | $t_{pause}$ | <input type="checkbox"/> |
|-------------|-------------|--------------------------|
| 200 $\mu s$ | 200 $\mu s$ | <input type="checkbox"/> |
| 6,3 $\mu s$ | 25 $\mu s$  | <input type="checkbox"/> |
| 25 $\mu s$  | 6,3 $\mu s$ | <input type="checkbox"/> |
| 100 $\mu s$ | 400 $\mu s$ | <input type="checkbox"/> |
| 400 $\mu s$ | 100 $\mu s$ | <input type="checkbox"/> |
| 100 $\mu s$ | 300 $\mu s$ | <input type="checkbox"/> |

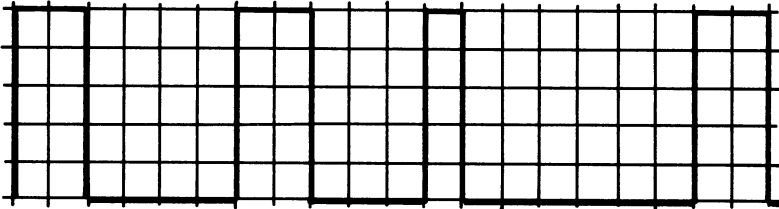


5. Tegn output fra  $Q_1$  således, at dette er tidsmæssigt korrekt sammenfaldende med det viste input.

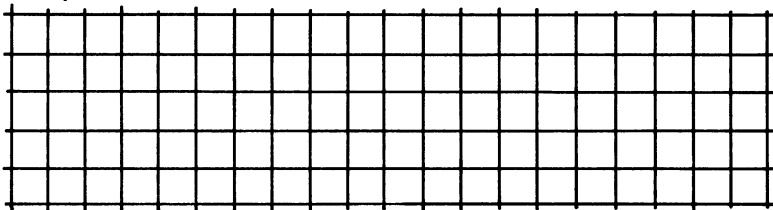
Det forudsættes, at  $Q_1$  er OFF og  $Q_2$  ON før input.

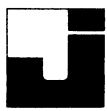


Input

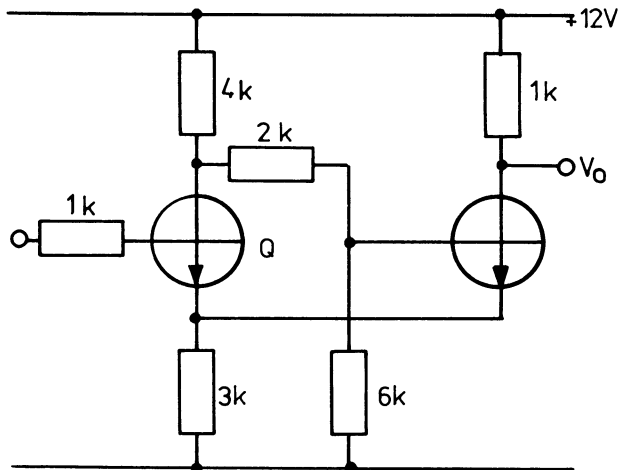


Output





1. Anslå upper trigger level, lower trigger level samt hysteresen på viste Schmitt-trigger.

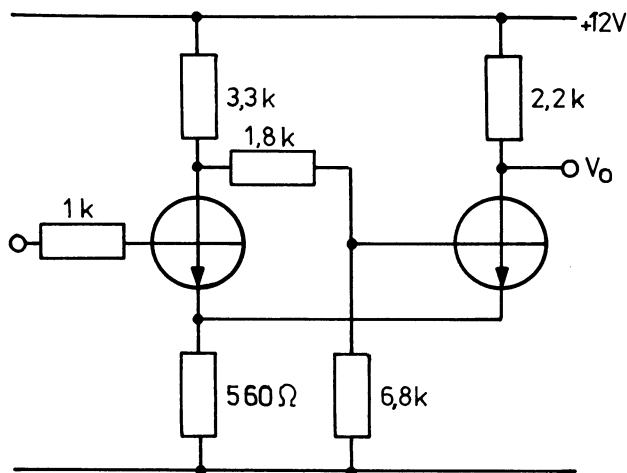


$U_{UTL} =$  \_\_\_\_\_

$U_{LTL} =$  \_\_\_\_\_

$U_H =$  \_\_\_\_\_

2. Anslå upper trigger level, lower trigger level, samt hysteresen på viste Schmitt-trigger.

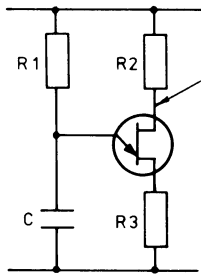


$U_{UTL} =$  \_\_\_\_\_

$U_{LTL} =$  \_\_\_\_\_

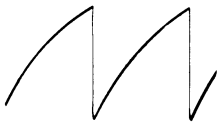
$U_H =$  \_\_\_\_\_

1. Angiv den kurveform, man kan forvente at finde i det angivne punkt for opstillingen.



- A
- B
- C
- D
- E

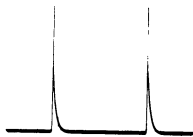
A



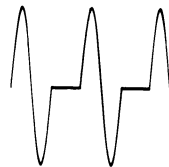
B



C



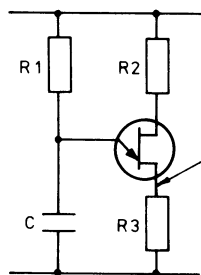
D



E



2. Angiv den kurveform, man kan forvente at finde i det angivne punkt for opstillingen.

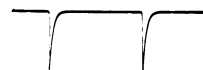


- A
- B
- C
- D
- E

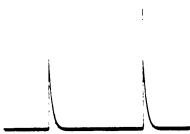
A



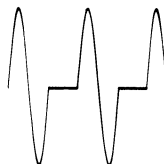
B



C



D

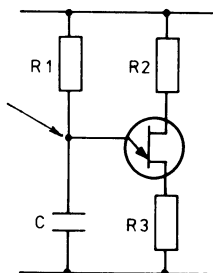


E





3. Angiv den kurveform, man kan forvente at finde i det angivne punkt for opstillingen.



- A   
B   
C   
D   
E

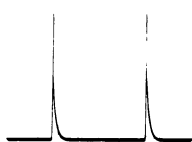
A



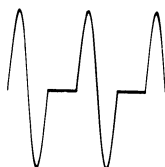
B



C



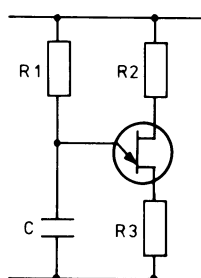
D



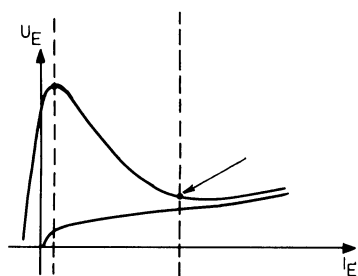
E



4. Angiv for den viste oscillator, hvilke komponenter der har betydning for oscillatorfrekvensen.

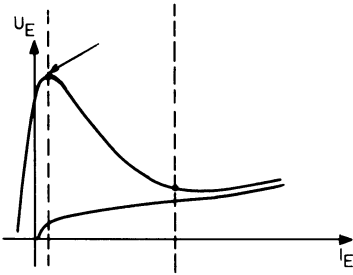
 $R_1 - R_2$   $R_2 - C$   $R_3 - R_1$   $R_1 - C$   $R_3 - C$  

5. Angiv for den viste karakteristik, hvad det angivne punkt benævnes.

Valley-point Peak-point Saturation region Cut-off region Negative resistance region

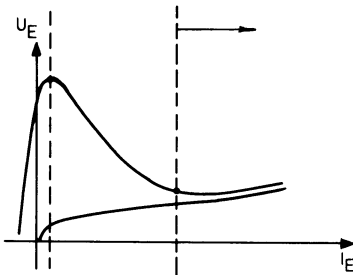


6. Angiv for den viste karakteristik, hvad det angivne punkt benævnes.



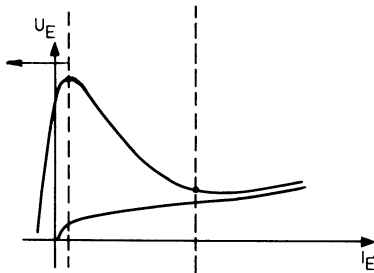
- Valley-point
- Peak-point
- Saturation region
- Cutt-off region
- Negative resistance region

7. Angiv for den viste karakteristik, hvordan det angivne område benævnes.



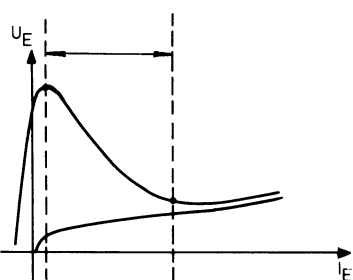
- Valley-point
- Peak-point
- Saturation region
- Cut-off region
- Negative resistance region

8. Angiv for den viste karakteristik, hvordan det angivne område benævnes.



- Valley-point
- Peak-point
- Saturation region
- Cutt-off region
- Negative resistance region

9. Angiv for den viste karakteristik, hvordan det angivne område benævnes.



- Valley-point
- Peak-point
- Saturation region
- Cutt-off region
- Negative resistance region



1. Tegn et diagram af en emitterkoblet astabil multivibrator.

Grid for drawing the circuit diagram.

2. Hvad sker der med frekvensen, dersom den nederste spændingsdelermodstand til én af baserne gøres mindre?

Horizontal lines for answer to question 2.

3. Hvad sker der med frekvensen, dersom kondensatoren mellem de to emittere gøres mindre?

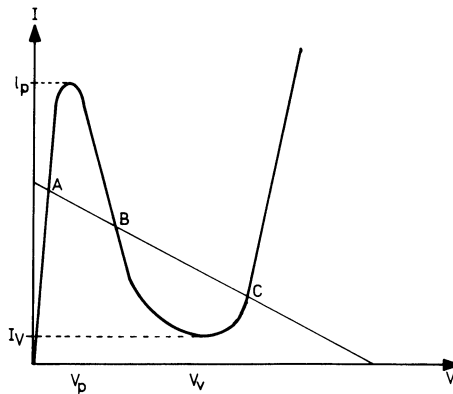
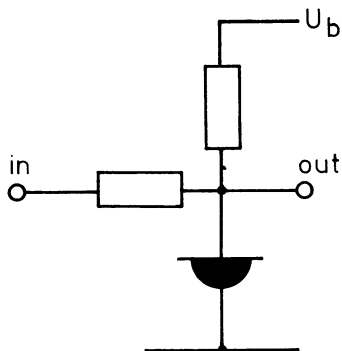
Horizontal lines for answer to question 3.

4. Hvad bevirker en forøgelse af modstandsværdien i den ene emittermodstand?

Horizontal lines for answer to question 4.



1. Viste BMV har to stabile tilstande,



Hvilke arbejds punkter svarer det til?

---

---

2. Multivibratoren befinder sig i pkt. A og tilføres en negativ impuls. Hvad sker der ?

---

---

---

---

3. Multivibratoren befinder sig i pkt. A og tilføres en positiv impuls. Hvad sker der ?

---

---

---

---

4. Multivibratoren befinder sig i pkt. C og tilføres en negativ impuls. Hvad sker der ?

---

---

---

---

5. Multivibratoren befinder sig i pkt. C og tilføres en positiv impuls. Hvad sker der ?

---

---

---

---

Navn: \_\_\_\_\_ Trin: \_\_\_\_\_ Dato: / 19 Godk.: \_\_\_\_\_





6. Bestem ved hjælp af databladet for SN74121 impulslængden, når  $R_T = 10 \text{ k}\Omega$  og  $C_T = 1 \text{ nF}$ .

---

---

---

---

---

7. Hvor længe må en standard TTL-gate være i det udefinerede område ved et skift fra 1  $\rightarrow$  0?

---

---

---

---

---

---

---

---

---

---

---

---

---

---

---

---

---

---

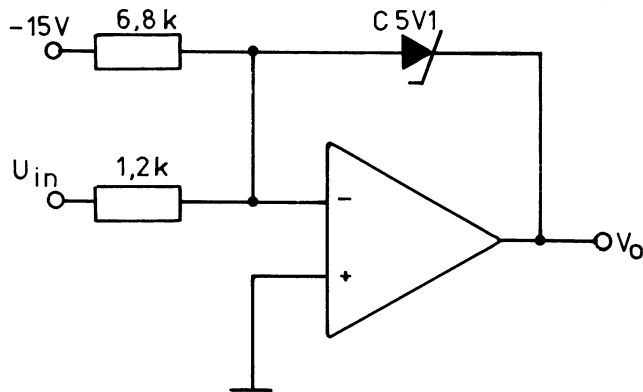
---

---



1. Find på viste comperator:

- Største udgangsspænding
- Mindste udgangsspænding
- Den indgangsspænding, der får comperatoren til at skifte på output

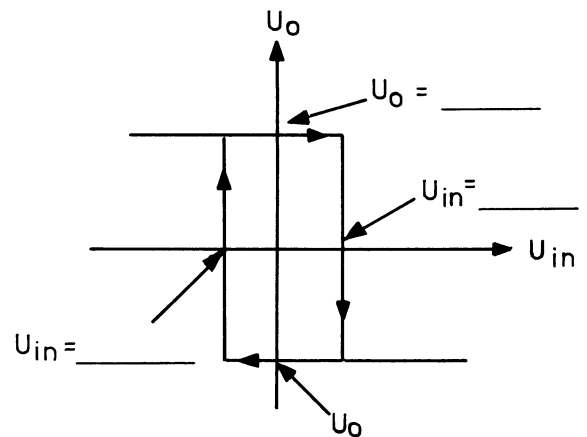
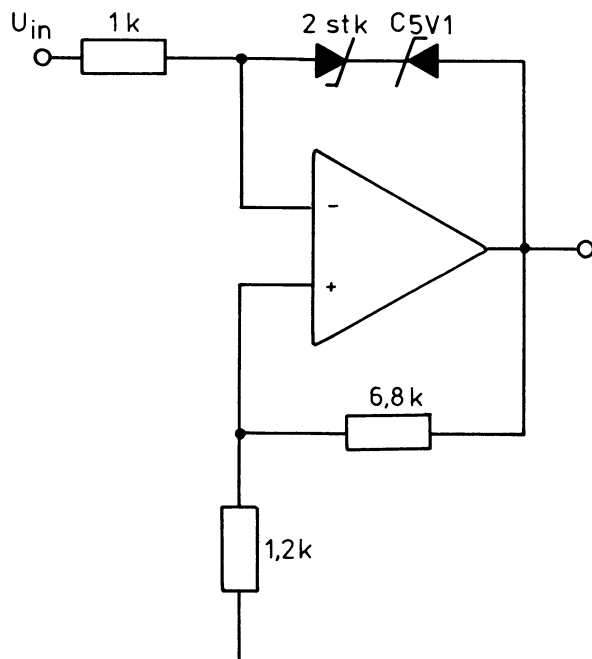


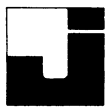
$$U_o \text{ maks.} = \underline{\hspace{2cm}}$$

$$U_o \text{ min.} = \underline{\hspace{2cm}}$$

$$U = \underline{\hspace{2cm}}$$

2. Find spændingerne på hysteresekurven for viste comperator.





1. Hvilken værdi i decimalsystemet repræsenterer :

$$1101_2 =$$

$$1001_2 =$$

$$11110_2 =$$

$$101101_2 =$$

$$11100011_2 =$$

$$101_2 =$$

$$11_2 =$$

$$11111_2 =$$

$$10000_2 =$$

$$111101001_2 =$$

2. Hvilken værdi i det binære talsystem repræsenterer :

$$257_{10} =$$

$$68_{10} =$$

$$7_{10} =$$

$$33_{10} =$$

$$10_{10} =$$

$$6_{10} =$$

$$159_{10} =$$

$$97_{10} =$$

$$615_{10} =$$

$$2436_{10} =$$



3. Vi ønsker at vise et binært tal med en række lamper således, at hvis en lampe er ON (lyser), betyder det 1, og er en lampe OFF (slukket), betyder det 0.

a. Hvor mange lamper er nødvendige for at vise ethvert tal fra  $1_{10}$  til  $99_{10}$  i binært kode?

---



---

b. Hvor mange lamper er ON, hvis tallet  $78_{10}$  vises i binært?

---

c. Hvad er det højeste tal vi kan vise med disse lamper?

---



---



---

4. Konverter nedenstående decimalbrøker til binære brøker, maks. 5 bit efter binærpunktet.

$$0,66 = \underline{\hspace{2cm}}$$

$$0,75 = \underline{\hspace{2cm}}$$

$$0,48 = \underline{\hspace{2cm}}$$

$$0,125 = \underline{\hspace{2cm}}$$

$$0,082 = \underline{\hspace{2cm}}$$

$$0,975 = \underline{\hspace{2cm}}$$

$$0,097 = \underline{\hspace{2cm}}$$

$$0,423 = \underline{\hspace{2cm}}$$

$$0,163 = \underline{\hspace{2cm}}$$

$$0,375 = \underline{\hspace{2cm}}$$

5. Konverter nedenstående binære brøker til ægte brøker.

$$0,111 = \underline{\hspace{2cm}}$$

$$0,01 = \underline{\hspace{2cm}}$$

$$0,1011 = \underline{\hspace{2cm}}$$

$$0,1 = \underline{\hspace{2cm}}$$

$$0,101 = \underline{\hspace{2cm}}$$





Løs følgende opgaver binært :

7.  $9 \cdot 7$

8.  $11 \cdot 3$

9.  $4 \cdot 7$

10.  $15 : 5$

11.  $12 : 3$

12.  $8 : 3$



1. Skriv de første 16 stillinger i den binære kode.

2. Skriv 5421-koden med tilhørende decimalværdier.

3. Skriv 8421-koden med tilhørende decimalværdier.

4. Skriv de første 16 stillinger i gray-koden med tilhørende decimalværdier.

5. Skriv Excess-3-koden med tilhørende decimalværdier.

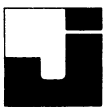
Large grid area for writing answers to the five questions.



Tegn symbol efter amerikansk norm,  
udfyld sandhedsskema og angiv Booles  
udtryk for en AND, OR, INVERTER,  
(excl. NOR).

Symbol	Booles udtryk	Sandhedsskema
AND		
OR		
INV		
NAND		
NOR		

Navn: \_\_\_\_\_ Trin: \_\_\_\_\_ Dato: / 19 Godk.: \_\_\_\_\_ 169



1. En 3-input positive NAND-gate, SN7410, skal anvendes i negativ logik.

- a. Udfyld sandhedstabel for funktionen i negativ logik.  
b. Skriv det booleske udtryk for funktionen i negativ logik.

A	B	C	Y

$$Y = \underline{\hspace{10em}}$$

2. En 3-input positive AND-gate, SN7411, skal anvendes i negativ logik.

- a. Udfyld sandhedstabel for funktionen i negativ logik.  
b. Skriv det booleske udtryk for funktionen i negativ logik.

A	B	C	Y

$$Y = \underline{\hspace{10em}}$$

3. En 2-input positive NOR-gate, SN7402, skal anvendes i negativ logik.

- a. Udfyld sandhedstabel for funktionen i negativ logik.  
b. Skriv det booleske udtryk for funktionen i negativ logik.

A	B	Y

$$Y = \underline{\hspace{10em}}$$

4. En 2-input positive OR-gate, SN7432, skal anvendes i negativ logik.

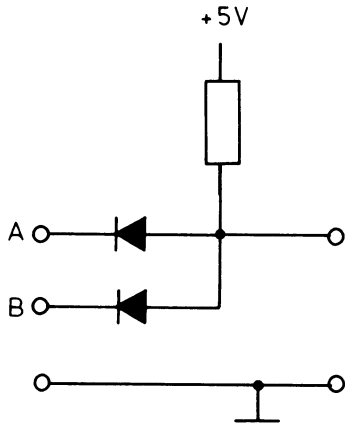
- a. Udfyld sandhedstabel for funktionen i negativ logik.  
b. Skriv det booleske udtryk for funktionen i negativ logik.

A	B	Y

$$Y = \underline{\hspace{10em}}$$



5. Den viste diodegate anvendes i positiv logik.

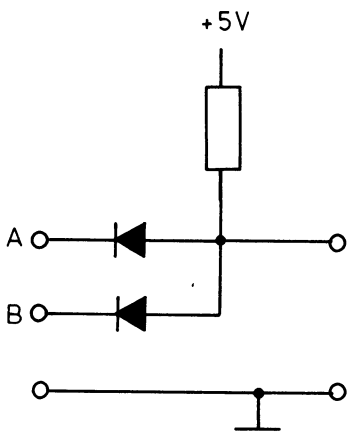


A	B	Y

- a. Udfyld sandhedstabel for funktionen i positiv logik.
- b. Skriv det booleske udtryk for funktionen i positiv logik.

Y = \_\_\_\_\_

6. Den viste diodegate anvendes i negativ logik.



A	B	Y

- a. Udfyld sandhedstabel for funktionen i negativ logik.
- b. Skriv det booleske udtryk for funktionen i negativ logik.

Y = \_\_\_\_\_



Reducer følgende booleske udtryk  
og tegn diagram af det reducerede  
udtryk.

1.  $\overline{A}B + \overline{A}BC + \overline{A}BC$

2.  $AB + \overline{A}\overline{C} + CB.$

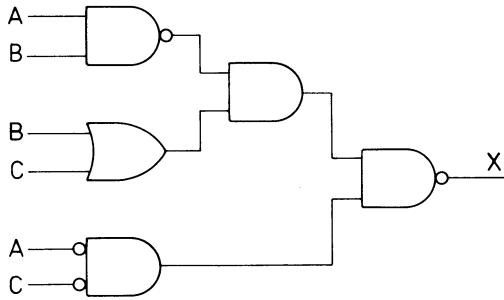
3.  $\overline{A}B + \overline{A}BC + \overline{A}C.$

4.  $ABC + \overline{A}BC + B\overline{C} + AD + \overline{A}D.$

5.  $AC(B + \overline{D}) + AC(\overline{B} + E).$

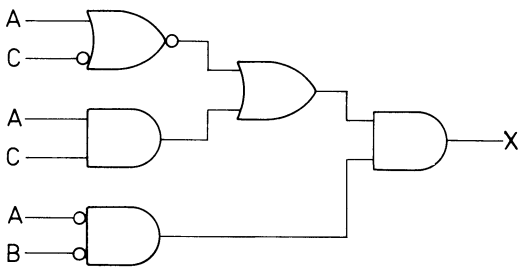


6. Find det booleske udtryk og reducer.



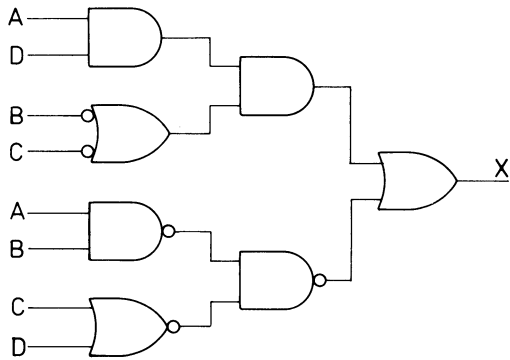
X = \_\_\_\_\_

7.



X = \_\_\_\_\_

8.



X = \_\_\_\_\_

Udlæs karnaughkortene.

9.

		AB			
		00	01	11	10
C	0	1	1	1	1
	1		1		

X = \_\_\_\_\_



10.

	AB			
CD	00	01	11	10
00				
01		1	1	
11	1	1	1	1
10	1			1

X = \_\_\_\_\_

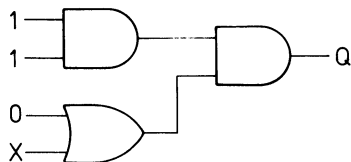
11.

	AB			
CD	00	01	11	10
00	1			1
01	1	1		
11			1	1
10				1

X = \_\_\_\_\_

 $\bar{X}$  = \_\_\_\_\_

12. Skal der tilføres logisk "0" eller "1" til X for at få  $Q = 1$ ?



X = \_\_\_\_\_

13. Simplificer ved hjælp af sandhedstabel  $Q = A(B + \overline{BC}) + \overline{ABC}$ .

14. Transformer viste udtryk for AND og OR udtryk ved hjælp af de Morgans.  $\overline{AB} + \overline{CD}$ .

---



---

15. Anvend de Morgans love til at reducere udtrykket:

$$\overline{A} + \overline{B} + \overline{(\overline{AC} + \overline{B})} + C.$$

---



---



---

16. Hvilken gate har følgende booleske funktion?

$$\overline{A} + \overline{B}.$$

---

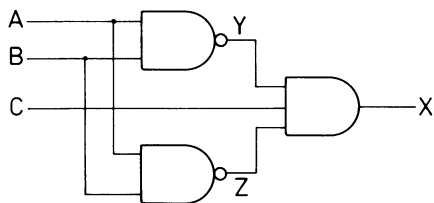


---



---

17. Find funktionen af følgende kredsløb.



X =

Udfyld sandhedstabellen.

A	B	C	Z	Y	X



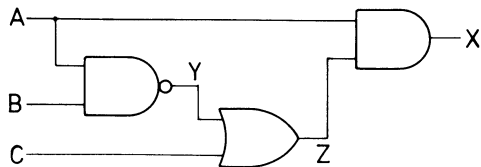
Indsæt funktionen i karnaughkortet og find det reducerede udtryk.

	AB			
C	00	01	11	10
0				
1				

X = \_\_\_\_\_

Tegn det nye kredsløb.

18. Find funktionen af følgende kredsløb.



X = \_\_\_\_\_

Udfyld sandhedstabellen.

A	B	C	Y	Z	X



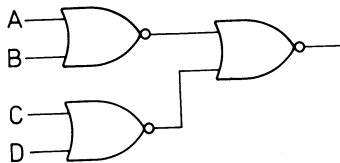
Indsæt funktionen i karnaughkortet og find det reducerede udtryk.

	AB			
C	00	01	11	10
0				
1				

X = \_\_\_\_\_

Tegn det nye kredsløb.

19. Viste NOR-funktion skal udføres med NAND-gates og invertere.



Tegn kredsløbet med NAND-gates og invertere.

20. Nedenstående EX-OR-funktion skal udføres med NAND-gates, og eventuel INV, tegn kredsløbet.

$$X = \overline{A}B + A\overline{B}$$



1. Hvor stor er  $V_{IH}$  og  $V_{IL}$  for en SN7451 ?

 $V_{IH}$  $V_{IL}$ 

2. Hvor stor er  $V_{OH}$  og  $V_{OL}$  for en SN7451 ?

 $V_{OH}$  $V_{OL}$ 

3. Hvor stor er  $I_{IH}$  og  $I_{IL}$  for en SN7451 ?

 $I_{IH}$  $I_{IL}$ 

4. Hvor stor er  $I_{OH}$  og  $I_{OL}$  for en SN7451 ?

 $I_{OH}$  $I_{OL}$ 

5. Hvor stor er "fan out" for en SN7451 ?

6. Hvor stor er "fan in" for en SN7451 ?

7. Hvor mange inputkombinationer har en gate med otte input ?

8. Hvor mange inputkombinationer har en gate med et input?

9. Hvor mange inputkombinationer har en gate med ti input ?

10. Hvilken funktion har en "strobe"-indgang ?



11. Hvilken funktion har en "expander"-indgang?

---



---



---



---



---



---



---



---

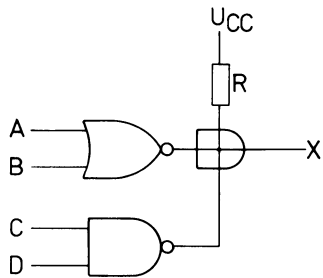


---



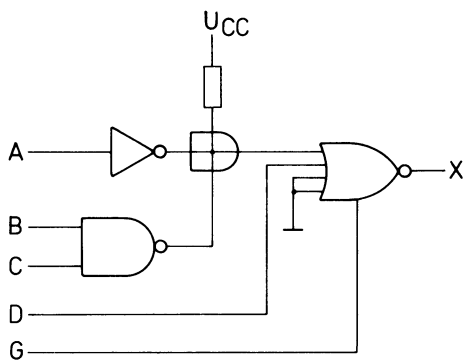
---

12. Skriv den booleske funktion for viste kredsløb.

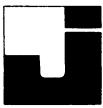


X = \_\_\_\_\_

13. Skriv den booleske funktion for viste kredsløb.



X = \_\_\_\_\_



1. Idet der kun anvendes AND, OR og NOT-gates, ønskes der fremstillet et gate-kredsløb, som opfylder følgende betingelser:

Q skal følge A input, når input B = 0 og

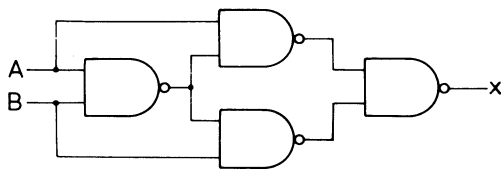
Q skal følge B input, når input A = 0

Funktionen skal være eksklusiv AND-funktion  $AB$ , dvs.  $AB = 0$ .

Start med at fremstille sandhedstabellen.

Tegn kredsløbet.

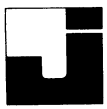
2. Udfyld sandhedstabellen for viste kredsløb.



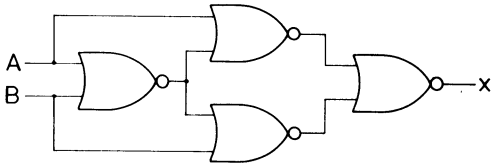
A	B	X
0	0	
0	1	
1	0	
1	1	

Skriv det booleske udtryk for kredsløb.

X = \_\_\_\_\_



3. Udfyld sandhedstabellen for viste kredsløb.



Skriv det booleske udtryk for kredsløbet.

A	B	X
0	0	
0	1	
1	0	
1	1	

X = \_\_\_\_\_

4. Kredsløbet i opgave 2 fungerer som en:

- Indgangsinverteret NAND-gate   
 Exclusive OR-gate   
 Indgangsinverteret NOR-gate   
 Exclusive NOR-gate

5. Kredsløbet i opgave 3 fungerer som en:

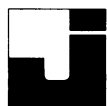
- Indgangsinverteret NAND-gate   
 Exclusive OR-gate   
 Indgangsinverteret NOR-gate   
 Exclusive NOR-gate

6. Hvilket tilnavn har en EX-NOR-gate?

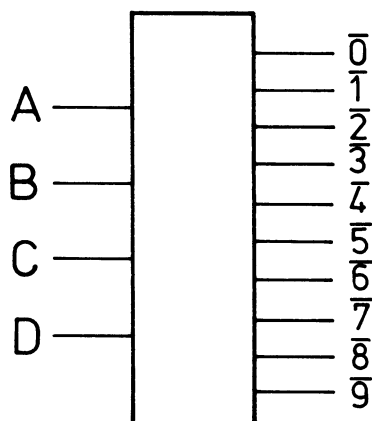
- Lighedsdetektor   
 Ulighedsdetektor   
 Størrelsesdetektor   
 Ringdetektor

7. Hvilket tilnavn har en EX-OR-gate?

- Lighedsdetektor   
 Ulighedsdetektor   
 Størrelsesdetektor   
 Ringdetektor



1. Tegn et kredsløb, der kan dekode NBCD-koden til decimaltal.



D	C	B	A	0	1	2	3	4	5	6	7	8	9
0	0	0	0	0	1	1	1	1	1	1	1	1	1
0	0	0	1	1	0	1	1	1	1	1	1	1	1
0	0	1	0	1	1	0	1	1	1	1	1	1	1
0	0	1	1	1	1	1	0	1	1	1	1	1	1
0	1	0	0	1	1	1	1	0	1	1	1	1	1
0	1	0	1	1	1	1	1	1	0	1	1	1	1
0	1	1	0	1	1	1	1	1	1	0	1	1	1
0	1	1	1	1	1	1	1	1	1	1	0	1	1
1	0	0	0	1	1	1	1	1	1	1	1	0	1
1	0	0	1	1	1	1	1	1	1	1	1	1	0

Skriv de booleske udtryk for :

$\bar{0}$  = \_\_\_\_\_

$\bar{1}$  = \_\_\_\_\_

$\bar{2}$  = \_\_\_\_\_

$\bar{3}$  = \_\_\_\_\_

$\bar{4}$  = \_\_\_\_\_

$\bar{5}$  = \_\_\_\_\_

$\bar{6}$  = \_\_\_\_\_

$\bar{7}$  = \_\_\_\_\_

$\bar{8}$  = \_\_\_\_\_

$\bar{9}$  = \_\_\_\_\_

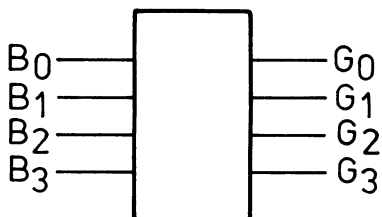
Navn: \_\_\_\_\_ Trin: \_\_\_\_\_ Dato: / 19 \_\_\_\_\_ Godk.: \_\_\_\_\_



Tegn kredsløbet med gates.

2. Tegn et kredsløb, der kan omforme binærkoden til gray-koden.

	Gray				Binary			
	G <sub>3</sub>	G <sub>2</sub>	G <sub>1</sub>	G <sub>0</sub>	B <sub>3</sub>	B <sub>2</sub>	B <sub>1</sub>	B <sub>0</sub>
0	0	0	0	0	0	0	0	0
1	0	0	0	1	0	0	0	1
2	0	0	1	1	0	0	1	0
3	0	0	1	0	0	0	1	1
4	0	1	1	0	0	1	0	0
5	0	1	1	1	0	1	0	1
6	0	1	0	1	0	1	1	0
7	0	1	0	0	0	1	1	1
8	1	1	0	0	1	0	0	0
9	1	1	0	1	1	0	0	1
10	1	1	1	1	1	0	1	0
11	1	1	1	0	1	0	1	1
12	1	0	1	0	1	1	0	0
13	1	0	1	1	1	1	0	1
14	1	0	0	1	1	1	1	0
15	1	0	0	0	1	1	1	1





Start med at skrive det booleske udtryk for de fire udgange.

 $G_0 =$ 


---



---



---

 $G_1 =$ 


---



---



---

 $G_2 =$ 


---



---



---

 $G_3 =$ 


---



---



---

Indfør i karnaughkort.

 $G_0$ 

	00	01	11	10
00				
01				
11				
10				

 $G_1$ 

	00	01	11	10
00				
01				
11				
10				

 $G_2$ 

	00	01	11	10
00				
01				
11				
10				

 $G_3$ 

	00	01	11	10
00				
01				
11				
10				

Udlæs de reducerede udtryk for  $G_0$ ,  $G_1$ ,  $G_2$  og  $G_3$  af karnaughkortene.

 $G_0 =$ 

---

 $G_1 =$ 

---

 $G_2 =$ 

---

 $G_3 =$ 

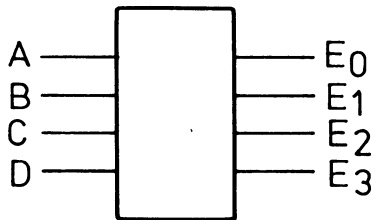
---

Tegn kredsløbet.



3. Tegn et kredsløb, der omformer NBCD-koden til excess-3 koden.

	Excess-3				BCD			
	E <sub>3</sub>	E <sub>2</sub>	E <sub>1</sub>	E <sub>0</sub>	D	C	B	A
0	0	0	1	1	0	0	0	0
1	0	1	0	0	0	0	0	1
2	0	1	0	1	0	0	1	0
3	0	1	1	0	0	0	1	1
4	0	1	1	1	0	1	0	0
5	1	0	0	0	0	1	0	1
6	1	0	0	1	0	1	1	0
7	1	0	1	0	0	1	1	1
8	1	0	1	1	1	0	0	0
9	1	1	0	0	1	0	0	1



Start med at skrive de booleske udtryk for de fire udgange.

E<sub>0</sub> =

---



---

E<sub>1</sub> =

---



---

E<sub>2</sub> =

---



---

E<sub>3</sub> =

---



---



Indfør i karnaughkort.

$E_0$

	00	01	11	10
00				
01				
11				
10				

$E_1$

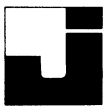
	00	01	11	10
00				
01				
11				
10				

$E_2$

	00	01	11	10
00				
01				
11				
10				

$E_3$

	00	01	11	10
00				
01				
11				
10				



Udlæs de reducerede udtryk for  $E_0$ ,  $E_1$ ,  $E_2$  og  $E_3$  af karnaugh-kortene.

 $E_0 =$ 

---

 $E_1 =$ 

---

 $E_2 =$ 

---

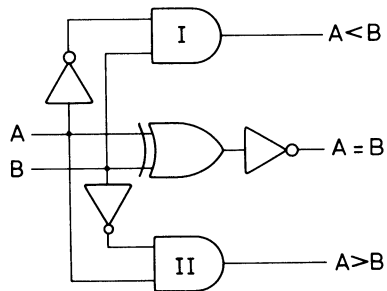
 $E_3 =$ 

---

Tegn kredsløbet.



1. Skriv det booleske udtryk for udgangene i viste 1-bit-størrelsesdetektor.

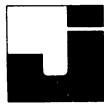


"A < B" = \_\_\_\_\_

"A = B" = \_\_\_\_\_

"A > B" = \_\_\_\_\_

2. Tegn diagrammet af en 2-bit-størrelsesdetektor.



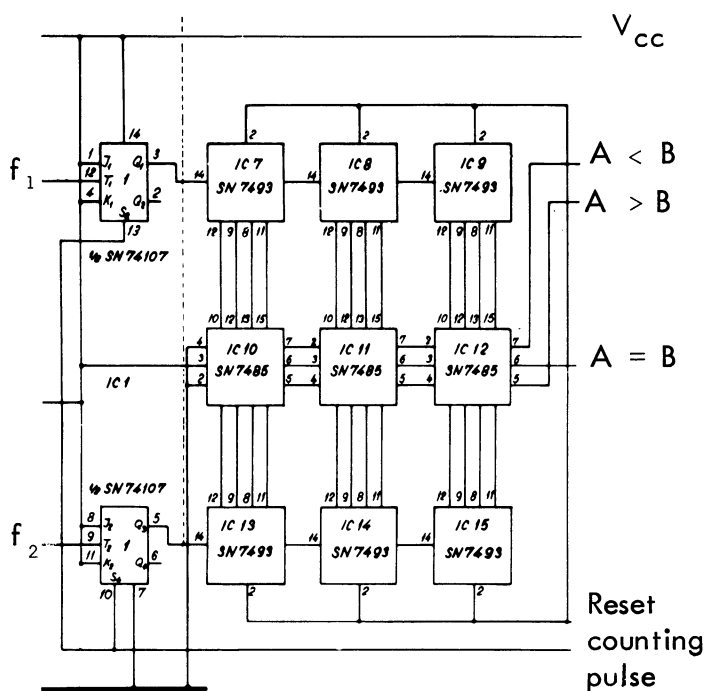
3. Skriv det booleske udtryk for udgangene i en 2-bit-størrelsesdetektor.

"A < B" =

"A = B" =

"A > B" =

4. Giv en kort kredsløbsbeskrivelse af viste udsnit fra et industriagram.




---

---

---

---

---

---

---

---

---

---

---

---

---

---

---

---

---

---

---

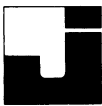
---

---

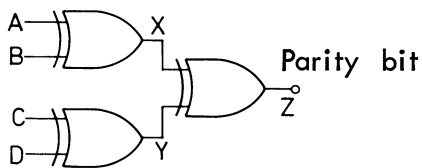
---

---

---

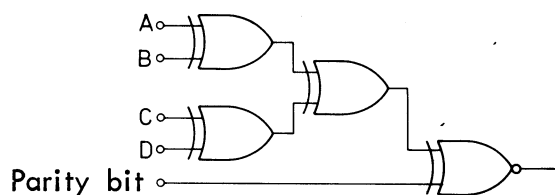


1. Skriv det booleske udtryk for viste "Parity bit generator".



Z = \_\_\_\_\_

2. Skriv det booleske udtryk for viste "Parity bit checker".



Z = \_\_\_\_\_

3. Hvilken forskel er der mellem parity bit generator og parity bit checker'en ?

\_\_\_\_\_

\_\_\_\_\_

\_\_\_\_\_

\_\_\_\_\_

\_\_\_\_\_

\_\_\_\_\_

4. Hvilket tilnavn har en EX-NOR-gate ?

\_\_\_\_\_

\_\_\_\_\_

\_\_\_\_\_

5. Hvilket tilnavn har en EX-OR-gate ?

\_\_\_\_\_

\_\_\_\_\_

\_\_\_\_\_

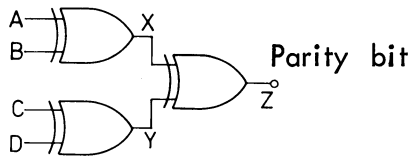
\_\_\_\_\_

\_\_\_\_\_

Navn: \_\_\_\_\_ Trin: \_\_\_\_\_ Dato: / 19 Godk.: \_\_\_\_\_



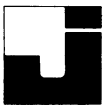
6. Udfyld sandhedstabellen for parity bit generatoren.



A	B	C	D	X	Y	Z
0	0	0	0			
0	0	0	1			
0	0	1	0			
0	0	1	1			
0	1	0	0			
0	1	0	1			
0	1	1	0			
0	1	1	1			
1	0	0	0			
1	0	0	1			
1	0	1	0			
1	0	1	1			
1	1	0	0			
1	1	0	1			
1	1	1	0			
1	1	1	1			

7. Hvilke af de viste koder har korrekt lige paritet, parity bit → LSB ?

- 01100
- 01110
- 10010
- 10001
- 10111
- 11001
- 10101



1. Hvilket formål har "3-state" logik?

---

---

---

---

---

---

---

2. Hvor stor strøm kan der trækkes fra en 3-state udgang, der er OFF, eksempel SN74251 ?

$I_{O(OFF)} =$  \_\_\_\_\_

3. Hvilket input skal SN74251 have for  $Y = D3$  ?

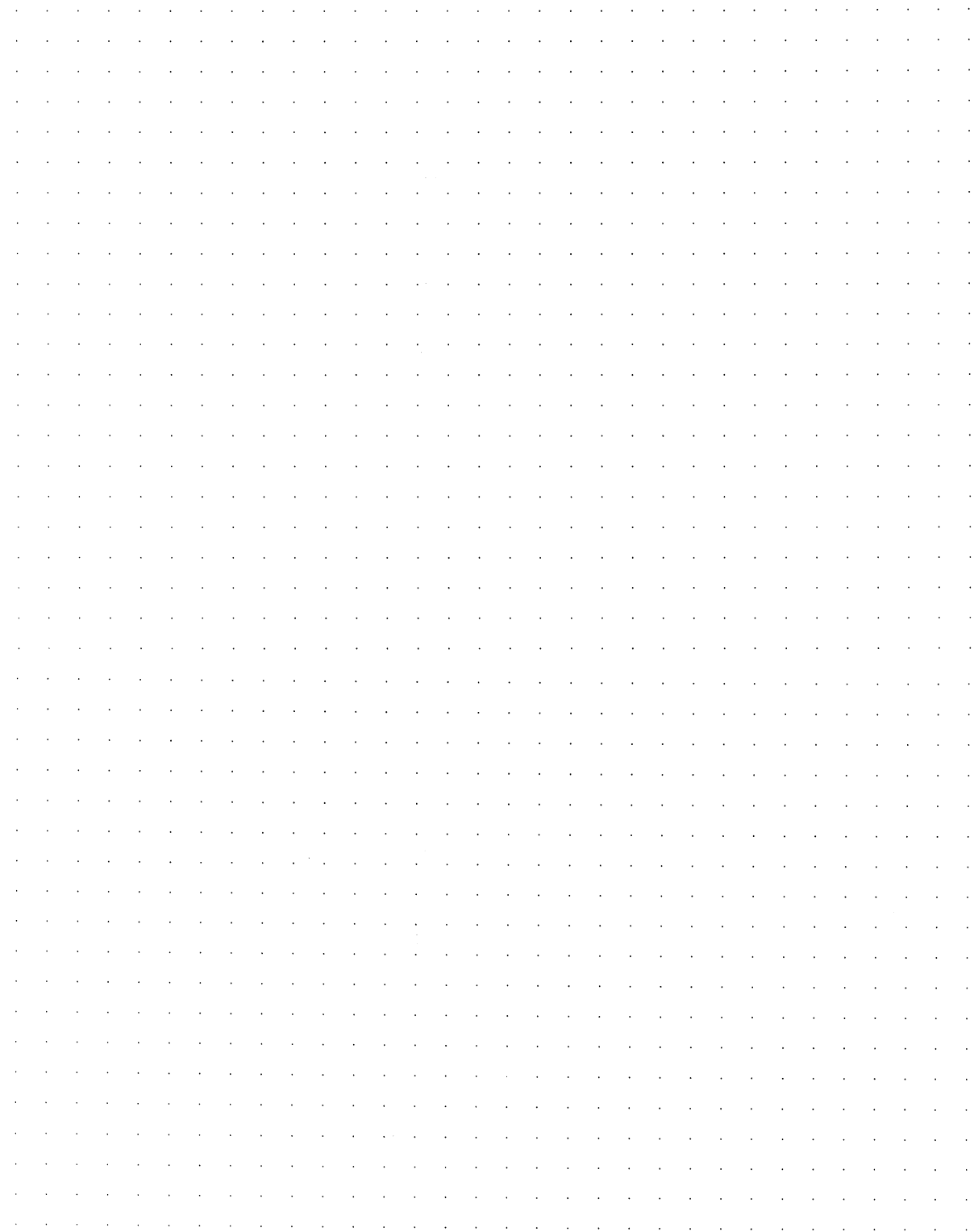
4. Hvilket input skal SN74251 have for  $W = D7$  ?

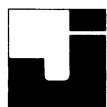


5. Tegn en 4 til 1 linie-multiplekser.



6. Tegn et diagram af 2 stk. SN74251, sammenkoblet til en 16 til 1 linie-multiplekser.





1. Hvad forstås ved statisk hazard?

---

---

---

---

---

---

---

---

---

---

---

---

---

---

---

---

2. Hvad forstås ved dynamisk hazard?

---

---

---

---

---

---

---

---

---

---

---

---

---

---

---

---

3. Hvad forstås ved " $t_{PLH}$ "?

---

---

---

---

---

---

---

---

---

---

---

---

---

---

---

---

4. Hvad forstås ved " $t_{PHL}$ "?

---

---

---

---

---

---

---

---

---

---

---

---

---

---

---

---

Navn: \_\_\_\_\_ Trin: \_\_\_\_\_ Dato: / 19 Godk.: \_\_\_\_\_



5. Hvor stor er propagation delay på en standard TTL-gate ?

---

---

På en CMOS-gate ?

---

---

På en ECL-gate ?

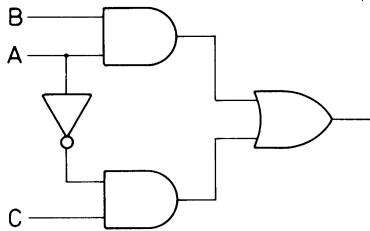
---

---

---

6. Kan der opstå hazard i viste kredsløb ?

Ja   
Nej



Begrund svaret .

---

---

---

---

---

---

---

---

---

---

---

---

---

---

---

---



1. Adder viste binære tal.

A	0	0	1	1
B	+0	+1	+0	+1
Σ				
Co				

2. Tegn sandhedstabellen for addition af 2 bit.

	0	1	Σ	Co
0				
1				

3. Hvilken gatetype skal anvendes for at realisere Σ - søjlen?

\_\_\_\_\_

4. Hvilken gatetype skal bruges til carry ?

\_\_\_\_\_

\_\_\_\_\_

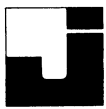
\_\_\_\_\_

5. Tegn kredsløbet, der kan udføre addition af 2 bit.

	0	1	Σ	Co
0				
1				

Navn: \_\_\_\_\_ Trin: \_\_\_\_\_ Dato: / 19 Godk.: \_\_\_\_\_





11. Hvilken gatetype skal anvendes for at realisere differenssøjlen ( $\Sigma$ )?

---

---

12. Hvilken gatetype skal anvendes til "borrow out" ?

---

---

13. Tegn kredsløbet, der kan udføre subtraktion af 2 bit.

.....

.....

.....

.....

.....

.....

.....

.....

.....

.....

.....

.....

.....

.....

.....

.....

.....

.....

.....

.....

.....

.....

14. Tegn symbolet for en binær 2-bit full subtractor.

15. Udfyld sandhedstabellen for en full subtractor.

A	B	$b_{in}$	$\Sigma$	$b_o$



16. Skriv de booleske udtryk for  $\Sigma$  og  $b_o$ .

$\Sigma =$  \_\_\_\_\_

$b_o =$  \_\_\_\_\_

17. Tegn blokdiagrammet af en 4-bit binær full adder.

18. Tegn blokdiagrammet af en 4-bit NBCD full adder.



19. Hvor mange forskellige binære værdier kan en addition af 2 NBCD-værdier give?

---



---

20. Hvilke af disse binære værdier skal korrigeres for at give et korrekt resultat i NBCD?

---



---



---



---



---

21. Adder følgende NBCD-koder og korriger om nødvendigt  $\Sigma$  til korrekt NBCD-kode.

a. A 0101  
B 0011  
C<sub>i</sub> 1

---



---



---

b. A 1001  
B 1001  
C<sub>i</sub>

---



---



---

c. A 0001  
B 0111  
C<sub>i</sub> 0

---



---



---

d. A 1001  
B 0101  
C<sub>i</sub> 0

---



---



---

e. A 1000  
B 0110  
C<sub>i</sub> 1

---



---



---

f. A 0100  
B 0101  
C<sub>i</sub> 1

---



---



---

g. A 0011  
B 0111  
C<sub>i</sub> 1

---



---



---

h. A 1000  
B 1000  
C<sub>i</sub> 0

---



---



---

i. A 0100  
B 0101  
C<sub>i</sub> 0

---



---



---

j. A 0111  
B 1001  
C<sub>i</sub> 1

---



---



---



22. Skriv det booleske udtryk for output (X) fra > 9 det/0110 gen. i en 4- bit NBCD-adder

\_\_\_\_\_
X = \_\_\_\_\_

23. Skriv det booleske udtryk for "carry out" (Y) fra en 4- bit NBCD-adder.

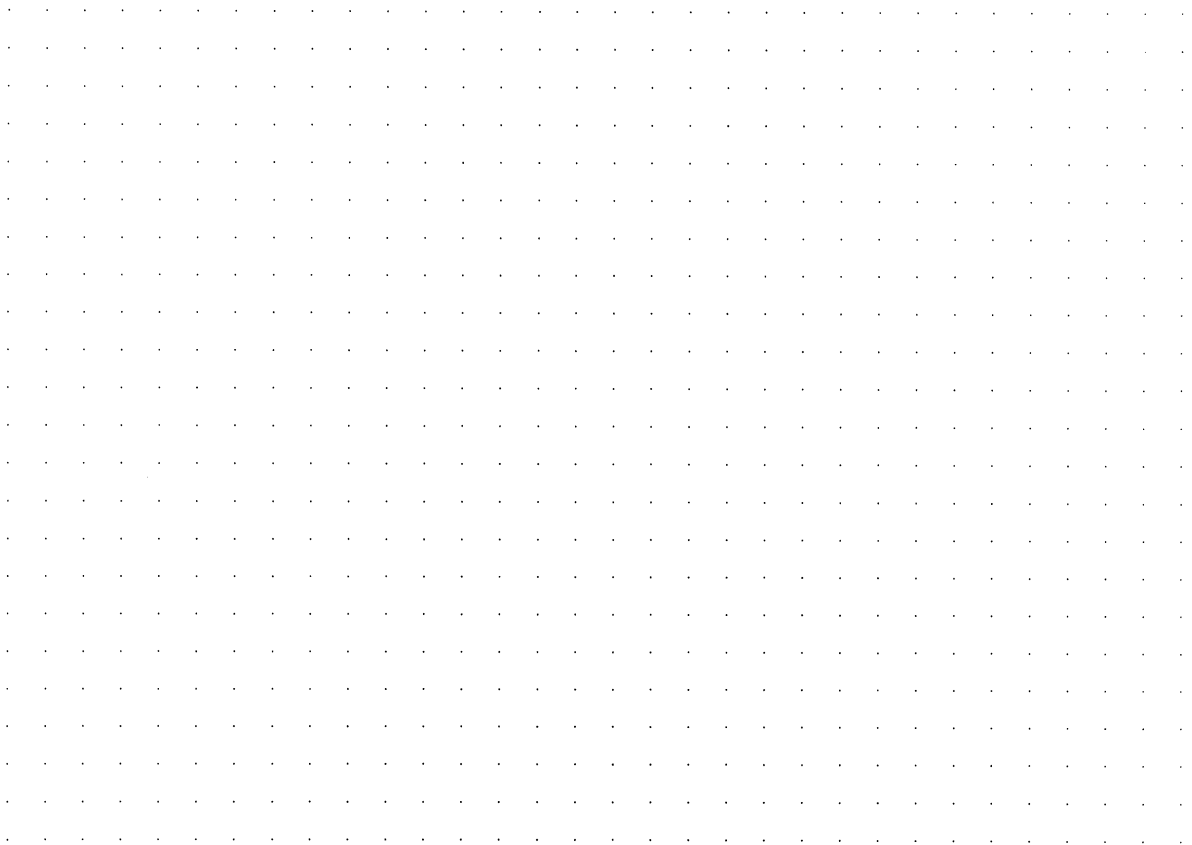
\_\_\_\_\_
Y = \_\_\_\_\_

24. Reducer udtrykkene i opgave 22 og 23.

\_\_\_\_\_
X = \_\_\_\_\_

\_\_\_\_\_
Y = \_\_\_\_\_

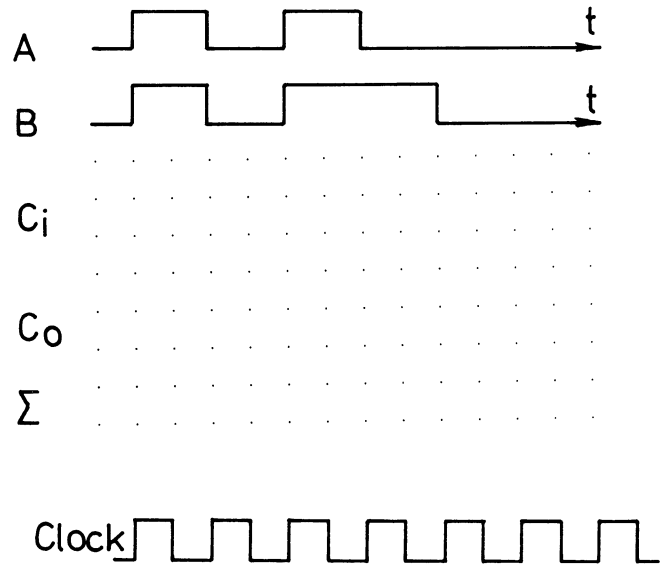
25. Tegn en 4- bit NBCD-adder, tegn de to binære addere som blokfunktioner og >9 det/0110 gen. som gatekredsløb.

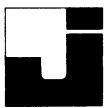




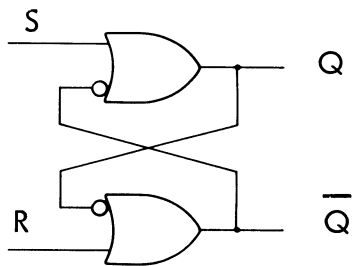
26. Tegn blokdiagrammet af en binær serie adder.

27. Tegn kurveformerne for  $C_i$  og  $\Sigma$  for en serie adder med viste input.

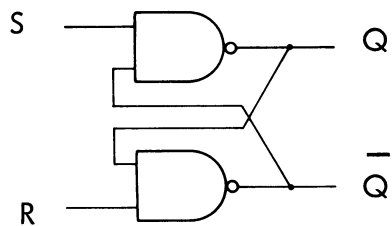




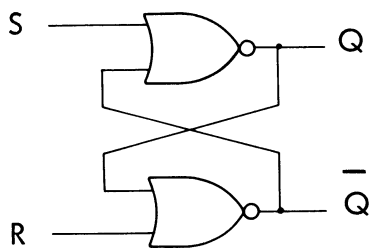
1. Tegn symbolet for viste kredsløb.



2. Tegn symbolet for viste kredsløb.

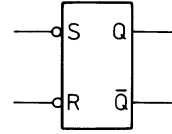
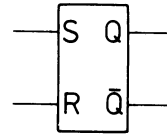


3. Tegn symbolet for viste kredsløb.





4. Tegn kredsløbene med OR-gates og tilføj nødvendige invertere



5. Hvilken forskel er på de to kredsløb i opgave 4, når de er tegnet med samme type gate?

---

---

---

---

---

---

---

---

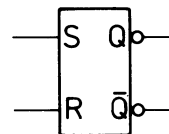
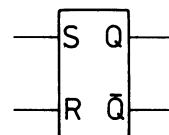
---

---

---



6. Tegn kredsløbene med OR-gates og tilføj nødvendige invertere



7. Hvilken forskel er der på de to kredsløb i opgave 6, når de er tegnet med samme type gate?

---

---

---

---

---

---

---

---

---

---

---

---

---

---

---

---

---

---

---

---

---

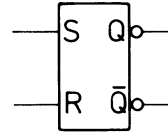
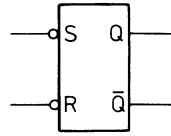
---

---

---



8. Tegn kredsløbene med OR-gates og tilføj nødvendige inverttere



9. Hvilken forskel er der på de to kredsløb i opgave 8, når de er tegnet med samme type gate?

---

---

---

---

---

---

---

---

---

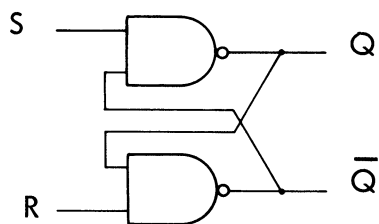
---

---

---

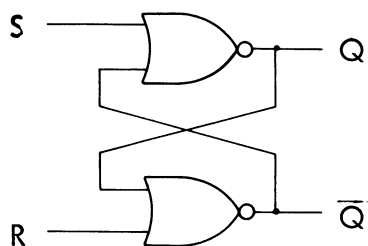


10. Viste kredsløb, der er tegnet i positiv logik, skal anvendes i negativ logik.

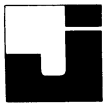


- tegn kredsløbet i negativ logik

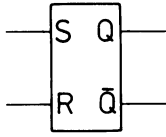
11. Viste kredsløb, der er tegnet i positiv logik, skal anvendes i negativ logik.



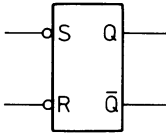
- tegn kredsløbet i negativ logik



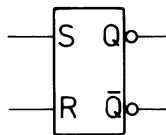
12. Tegn og udfyld sandhedstabellen for viste FF.



13. Tegn og udfyld sandhedstabellen for viste FF.

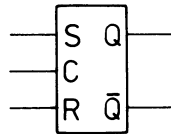


14. Tegn og udfyld sandhedstabellen for viste FF.



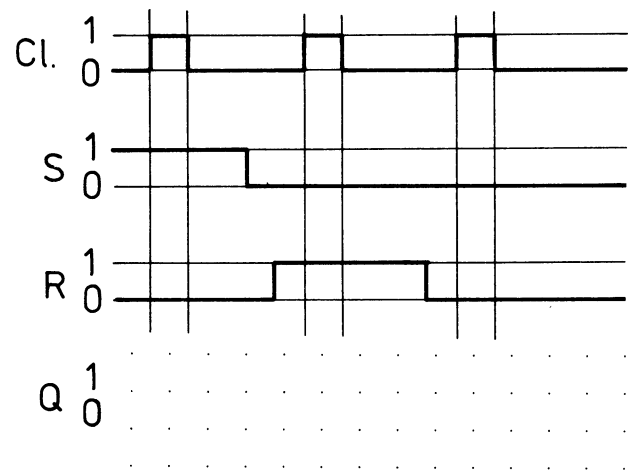


15. Tegn og udfyld sandhedstabellen for viste FF.



16. Tegn kredsløbet i opgave 15 med NAND-gates.

17. Tegn signalet på Q med viste input på kredsløbet i pkt. 15.





18. Tegn symbolet for en positiv kant-trigget D-FF.

19. Tegn og udfyld sandhedstabellen for en D-FF.

20. Hvilken forskel er der mellem en CP-styret RS-FF og en D-FF?

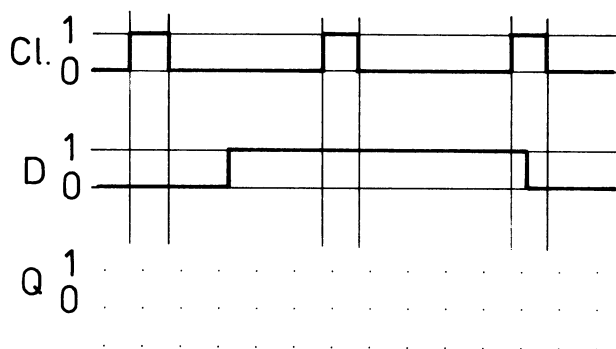
---

---

---

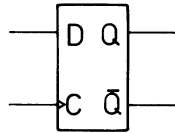
---

21. Tegn signalet på Q med viste input på en niveautrigget D-latch.





22. Er viste D-FF:



Niveautrigget

↑ triggeret

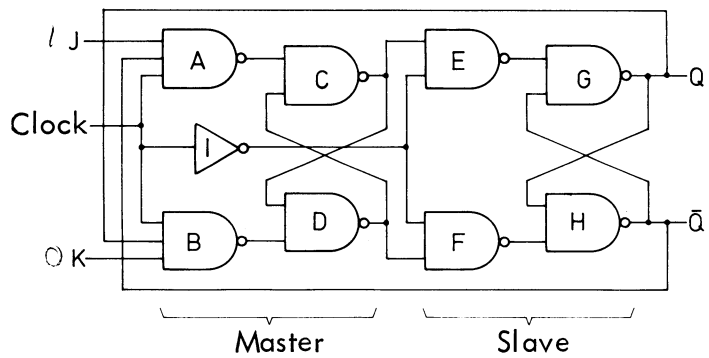
↓ triggeret

23. Udfyld skemaet.

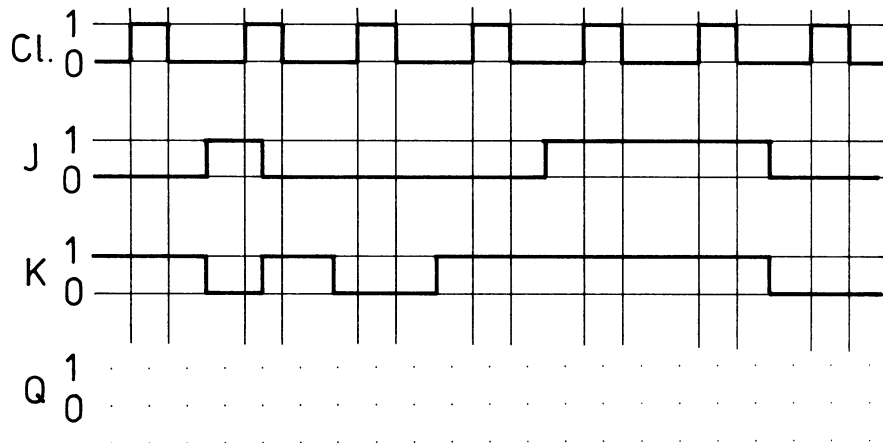
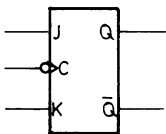
Udgangsstilling		Forberedelse		Efter clock-impuls	
Q	$\bar{Q}$	J (S)	K (C)	Q	$\bar{Q}$
0	1	0	0		
0	1	0	1		
0	1	1	0		
0	1	1	1		
1	0	0	0		
1	0	0	1		
1	0	1	0		
1	0	1	1		

24. Tegn og udfyld sandhedstabellen for en JK-FF.

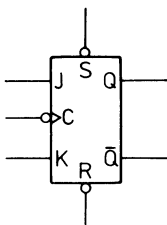
25. Viste JK-FF har  $J = 1, K = 0$ ,  $Q = 0$  og  $\bar{Q} = 1$  før clock-impulsen, vis med  $\uparrow 0, \uparrow 1, \downarrow 0$  og  $\downarrow 1$ , hvad der sker på for- og bagkant af clock-impulsen.



26. Tegn signalet på Q med viste input på en JK-FF uden data lock-out.



27. På viste JK-FF er  $J = 1, K = 0$ ,  $C = 0, S = 1$  og  $R = 0$ .



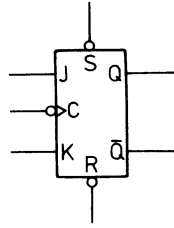
- hvilket logisk niveau har Q og  $\bar{Q}$ ?

Q = \_\_\_\_\_

$\bar{Q}$  = \_\_\_\_\_



28. På viste JK-FF er  $J = 1$ ,  $K = 0$ ,  $C = 1$   $S = 0$  og  $R = 0$ .



- hvilket logisk niveau har Q og  $\bar{Q}$ ?

Q = \_\_\_\_\_  
 $\bar{Q}$  = \_\_\_\_\_

29. Hvad sker i en JK-MS flip-flop på viste tidspunkter?



1. \_\_\_\_\_

2. \_\_\_\_\_

3. \_\_\_\_\_

4. \_\_\_\_\_

30. Hvilken forskel er der på en kant-triggeret JK-MS FF og en JK-MS med data-lockout?

\_\_\_\_\_  
\_\_\_\_\_  
\_\_\_\_\_  
\_\_\_\_\_  
\_\_\_\_\_  
\_\_\_\_\_  
\_\_\_\_\_  
\_\_\_\_\_  
\_\_\_\_\_



31. Tegn og udfyld sandhedstabellen  
for en JK-FF koblet som en T-FF.

32. Tegn en D-FF koblet som T-FF.



1. Tegn en modul 8 asynkron binær optæller.

Grid area for drawing the 8-bit asynchronous binary up-counter.

2. Tegn en modul 8 asynkron binær nedtæller.

Grid area for drawing the 8-bit asynchronous binary down-counter.

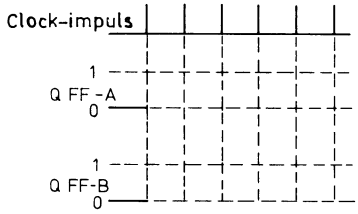
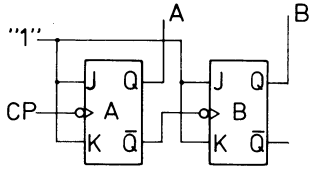
3. Hvor stort er propagation delay ved en asynkron modul 8 tæller med SN7493 ved et skift fra 111 → 000.

t<sub>PHL</sub> = \_\_\_\_\_

4. Hvor stort er propagation delay ved en asynkron modul 8 tæller med SN7493 ved et skift fra 000 → 111.

t<sub>PLH</sub> = \_\_\_\_\_

5. Tegn impulsplan og udfyld sandhedstabellen for viste tæller.



cp	A	B
0		
1		
2		
3		
4		
5		

Hvilken vej tæller denne tæller?

---

Hvor meget vil en 4-bittæller kunne udlæse?

---

6. Hvor mange FF skal der bruges for at tælle til og med 64?

---

7. Hvad er den maksimale tællerfrekvens for en asynkron modul 65 fremstillet af SN7493?

---

$f_{maks.} =$

---

8. Tegn diagrammet af en asynkron modul 9 selvstændende tæller.

Grid area for drawing the circuit diagram for question 8.



9. Tegn diagrammet af en modul 8 op/nedtæller.

Tælleren skal tælle op med logisk 0 på styreindgangen og ned med logisk 1 på styreindgangen.



10. Her ses sandhedstabellen for en 4-bit binær tæller.

Gør ved hjælp af tabellen den viste synkrone tæller færdig.

- brug karnaughkort

cp	A	B	C	D
0	0	0	0	0
1	1	0	0	0
2	0	1	0	0
3	1	1	0	0
4	0	0	1	0
5	1	0	1	0
6	0	1	1	0
7	1	1	1	0
8	0	0	0	1
9	1	0	0	1
10	0	1	0	1
11	1	1	0	1
12	0	0	1	1
13	1	0	1	1
14	0	1	1	1
15	1	1	1	1

Binær tæller ved hjælp af Karnaugh kort

Tællertype: \_\_\_\_\_

Tællerkode: \_\_\_\_\_

Tællermodul: \_\_\_\_\_

Karnaugh kode:

1 : fra 0 til 1

/ : fra 1 til 1

$\Phi$  : fra 1 til 0

0 : fra 0 til 0

- : ligegyldigt

Sandhedstabel				CP nr.
D	C	B	A	
				0
				1
				2
				3
				4
				5
				6
				7
				8
				9
				10
				11
				12
				13
				14
				15
				16

DC		BA			
		00	01	11	10
00					
01					
11					
10					

$$J_D =$$

$$K_D =$$

DC		BA			
		00	01	11	10
00					
01					
11					
10					

$$J_C =$$

$$K_C =$$

DC		BA			
		00	01	11	10
00					
01					
11					
10					

$$J_B =$$

$$K_B =$$

DC		BA			
		00	01	11	10
00					
01					
11					
10					

$$J_A =$$

$$K_A =$$

Udlæsning af boolske udtryk:

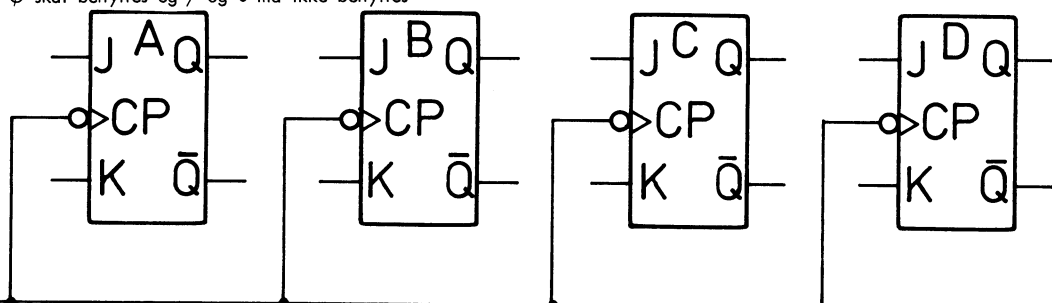
JK-FF J : 1 skal, 0 må ikke benyttes

RS-FF R :  $\Phi$  skal, 1 og / må ikke benyttes

T-FF T : 1 og  $\Phi$  skal benyttes og / og 0 må ikke benyttes

K :  $\Phi$  skal, / må ikke benyttes

S : 1 skal, 0 og  $\Phi$  må ikke benyttes





11. Tegn en modul 8 synkron binær nedtæller.



12. Tegn en 3-bit synkron tæller med følgende tællerforløb: 0, 1, 3, 2, 6, 7, 5, 4.  
 - udfyld tabellen og tegn kredsløbet

Binær tæller ved hjælp af Karnaugh kort

Tællertype: \_\_\_\_\_

Tællerkode: \_\_\_\_\_

Tællermodul: \_\_\_\_\_

Karnaugh kode:

1 : fra 0 til 1

/ : fra 1 til 1

∅ : fra 1 til 0

0 : fra 0 til 0

- : ligegyldigt

Sandhedstabel

D	C	B	A	CP nr.
				0
				1
				2
				3
				4
				5
				6
				7
				8
				9
				10
				11
				12
				13
				14
				15
				16

D - FF

DC \ BA	00	01	11	10
00				
01				
11				
10				

$$J_D =$$

$$K_D =$$

C - FF

DC \ BA	00	01	11	10
00				
01				
11				
10				

$$J_C =$$

$$K_C =$$

B - FF

DC \ BA	00	01	11	10
00				
01				
11				
10				

$$J_B =$$

$$K_B =$$

A - FF

DC \ BA	00	01	11	10
00				
01				
11				
10				

$$J_A =$$

$$K_A =$$

Udlæsning af boolske udtryk:

JK-FF J : 1 skal, 0 må ikke benyttes

K : ∅ skal, / må ikke benyttes

RS-FF R : ∅ skal, 1 og / må ikke benyttes

S : 1 skal, 0 og ∅ må ikke benyttes

T-FF T : 1 og ∅ skal benyttes og / og 0 må ikke benyttes





13. Tegn XS-3 synkron BCD-tæller  
- udfyld tabellen og tegn kredsløbet

Binær tæller ved hjælp af Karnaugh kort

Tællertype: \_\_\_\_\_

Tællerkode: \_\_\_\_\_

Tællermodul: \_\_\_\_\_

Karnaugh kode:

1 : fra 0 til 1

/ : fra 1 til 1

$\emptyset$  : fra 1 til 0

0 : fra 0 til 0

- : ligegyldigt

Sandhedstabel

D	C	B	A	CP nr.
				0
				1
				2
				3
				4
				5
				6
				7
				8
				9
				10
				11
				12
				13
				14
				15
				16

DC \ BA	D - FF			
	00	01	11	10
00				
01				
11				
10				

$J_D =$

$K_D =$

DC \ BA	C - FF			
	00	01	11	10
00				
01				
11				
10				

$J_C =$

$K_C =$

DC \ BA	B - FF			
	00	01	11	10
00				
01				
11				
10				

$J_B =$

$K_B =$

DC \ BA	A - FF			
	00	01	11	10
00				
01				
11				
10				

$J_A =$

$K_A =$

Udlæsning af boolske udtryk:

JK-FF J : 1 skal, 0 må ikke benyttes

K :  $\emptyset$  skal, / må ikke benyttes

RS-FF R :  $\emptyset$  skal, 1 og / må ikke benyttes

S : 1 skal, 0 og  $\emptyset$  må ikke benyttes

T-FF T : 1 og  $\emptyset$  skal benyttes og / og 0 må ikke benyttes



14. Tegn en synkron modul 12 binær selvstændsende tæller  
 - udfyld tabellen og tegn kredsløbet

Binær tæller ved hjælp af Karnaugh kort

Tællertype: \_\_\_\_\_

Tællerkode: \_\_\_\_\_

Tællermodul: \_\_\_\_\_

Karnaugh kode:

1 : fra 0 til 1

/ : fra 1 til 1

∅ : fra 1 til 0

0 : fra 0 til 0

- : ligegyldigt

Sandhedstabel

D	C	B	A	CP nr.
				0
				1
				2
				3
				4
				5
				6
				7
				8
				9
				10
				11
				12
				13
				14
				15
				16

D - FF

DC \ BA	00	01	11	10
00				
01				
11				
10				

$J_D =$

$K_D =$

C - FF

DC \ BA	00	01	11	10
00				
01				
11				
10				

$J_C =$

$K_C =$

B - FF

DC \ BA	00	01	11	10
00				
01				
11				
10				

$J_B =$

$K_B =$

A - FF

DC \ BA	00	01	11	10
00				
01				
11				
10				

$J_A =$

$K_A =$

Udlæsning af boolske udtryk:

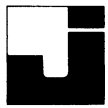
JK-FF J : 1 skal, 0 må ikke benyttes

RS-FF R : ∅ skal, 1 og / må ikke benyttes

T-FF T : 1 og ∅ skal benyttes og / og 0 må ikke benyttes

K : ∅ skal, / må ikke benyttes

S : 1 skal, 0 og ∅ må ikke benyttes



15. Tegn en modul 3 tæller med en SN7490 og de nødvendige gates.

16. Tegn en modul 5 tæller med en SN7490 og de nødvendige gates.

17. Hvilke fordele har en asynkron tæller i forhold til en synkron?

---

---

---

---

---

---

---

---

---

---



18. Hvilke fordele har en synkron tæller i forhold til en asynkron?

---

---

---

---

---

---

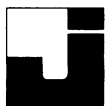
---

---

---

---

19. Tegn en 3-bit skifteregistertæller med EX-OR-tilbagekobling fra 2. og 3. trin til det 1. trin  
- skriv sandhedstabellen, start med 111  
- tegn kredsløbet



20. En NBCD optæller i positiv logik anvendes i negativ logik, hvilken tællertype virker den som?

---

---

---

---

---

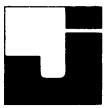
---

---

---

---

---



1. I det viste register er indholdet 10110111 og  $A = B = 0$ .

Hvad er indholdet efter

2 clock-impulser ?

4 clock-impulser ?

6 clock-impulser ?

---



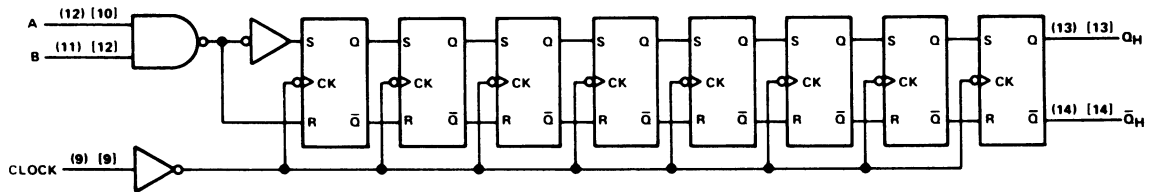
---



---



---



2. Registeret i opgave 1 kan udføre følgende funktioner:

- Serie ind- parallel ud
- Parallel ind- serie ud
- Serie ind- serie ud
- Parallel ind- parallel ud
- Skift right
- Skift left

3. I det viste register er indholdet 1101.

Hvad er indholdet efter:

2 CP på clock 1, mode control = 0 og seriel input = 0 ?

2 CP på clock 2, mode control = 1 og seriel input = 0 ?

---



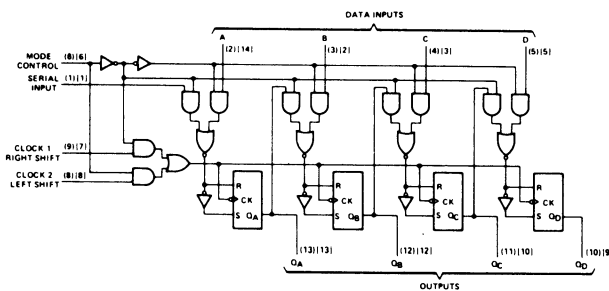
---



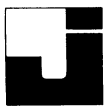
---



---



Navn: \_\_\_\_\_ Trin: \_\_\_\_\_ Dato: / 19 Godk.: \_\_\_\_\_



4. Registeret i opgave 3 kan udføre følgende funktioner:

- Serie ind- parallel ud
- Parallel ind- serie ud
- Serie ind- serie ud
- Parallel ind- parallel ud
- Skift right
- Skift left

5. I det viste register indlæses fra Preset A...E 11010.

Hvad er indholdet, hvis  $Q_E$  er forbundet til serial input, preset enable = 0 og clear = 1

Efter 2 clock-impulser?

Efter 4 clock-impulser?

Efter 6 clock-impulser?

---



---



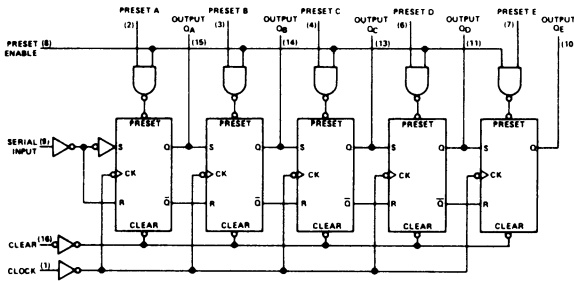
---



---



---



6. Registeret i opgave 5 kan udføre følgende funktioner:

- Serie ind- parallel ud
- Parallel ind- serie ud
- Serie ind- serie ud
- Parallel ind- parallel ud
- Skift right
- Skift left

7. Hvilken registerfunktion udfører registeret i opgave 5?

---



---



---



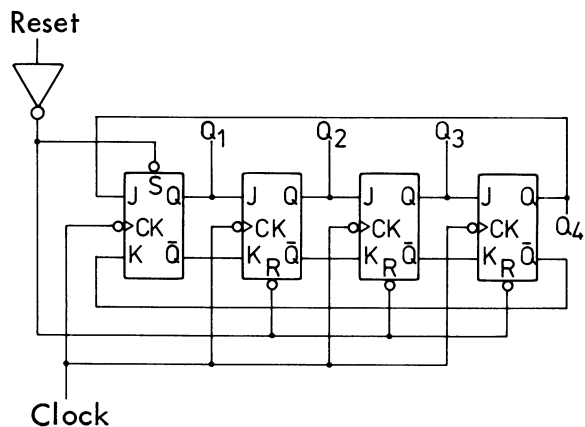
---



---



8. Hvilken funktion udfører viste skifteregister ?

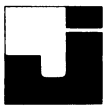


---

---

---

9. Tegn sandhedstabellen for indholdet efter reset og 1., 2. ....5. clock-impuls.



1. Hvad betyder forkortelsen "ROM"?

---

---

---

2. Hvilke egenskaber har en "ROM"?

---

---

---

---

---

---

---

3. Hvad betyder forkortelsen "PROM"?

---

---

---

4. Hvilke egenskaber har en "PROM"?

---

---

---

---

---

---

---

5. Hvad betyder forkortelsen "RAM"?

---

---

---

6. Hvilke egenskaber har en "RAM"?

---

---

---

---

---

---

---

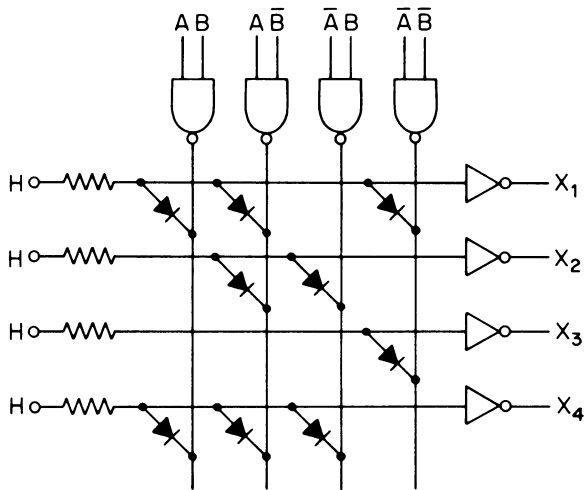
Navn: \_\_\_\_\_ Trin: \_\_\_\_\_ Dato: / 19 Godk.: \_\_\_\_\_



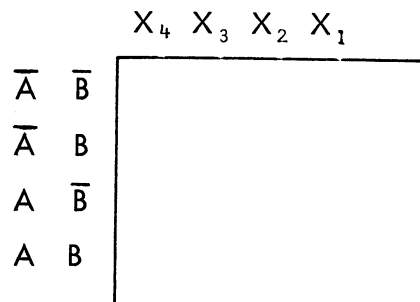
7. Hvilken tilgang er der til en "RAM"?

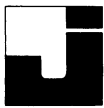
- Direkte
- Sekventiel

8. Den viste "ROM" har en 2 bit-adressedekoder  
 - hvilke binære værdier udlæses på udgangen  $X_4 \dots X_1$ , på de fire adresser



H = UCC





9. En SN7489 64-bit read/write memory ønskes anvendt som gray til binær konverter.

**TTL  
LSI**

**TYPE SN7489  
64-BIT READ/WRITE MEMORY**

BULLETIN NO. DL-S 7211386, FEBRUARY 1971—REVISED DECEMBER 1972

- For Application as a "Scratch Pad" Memory with Nondestructive Read-Out
- Fully Decoded Memory Organized as 16 Words of Four Bits Each
- Fast Access Time . . . 33 ns Typical
- Diode-Clamped, Buffered Inputs
- Open-Collector Outputs Provide Wire-AND Capability
- Typical Power Dissipation . . . 375 mW
- Compatible with Most TTL and DTL Circuits

**description**

This 64-bit active-element memory is a monolithic, high-speed, transistor-transistor logic (TTL) array of 64 flip-flop memory cells organized in a matrix to provide 16 words of four bits each. Each of the 16 words is addressed in straight binary with full on-chip decoding.

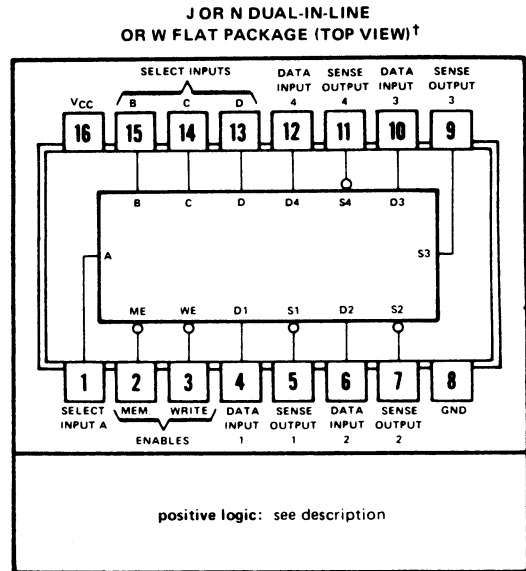
The buffered memory inputs consist of four address lines, four data inputs, a write enable, and a memory enable for controlling the entry and access of data. The memory has open-collector outputs which may be wire-AND connected to permit expansion up to 4704 words of N-bit length without additional output buffering. The open-collector outputs may be utilized to drive external loads directly; however, dynamic response of an output can, in most cases, be improved by using an external pull-up resistor in conjunction with a partially loaded output. Access time is typically 33 nanoseconds; power dissipation is typically 375 milliwatts.

**write operation**

Information present at the data inputs is written into the memory by addressing the desired word and holding both the memory enable and write enable low. Since the internal output of the data input gate is common to the input of the sense amplifier, the sense output will assume the opposite state of the information at the data inputs when the write enable is low.

**read operation**

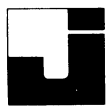
The complement of the information which has been written into the memory is nondestructively read out at the four sense outputs. This is accomplished by holding the memory enable low, the write enable high, and selecting the desired address.



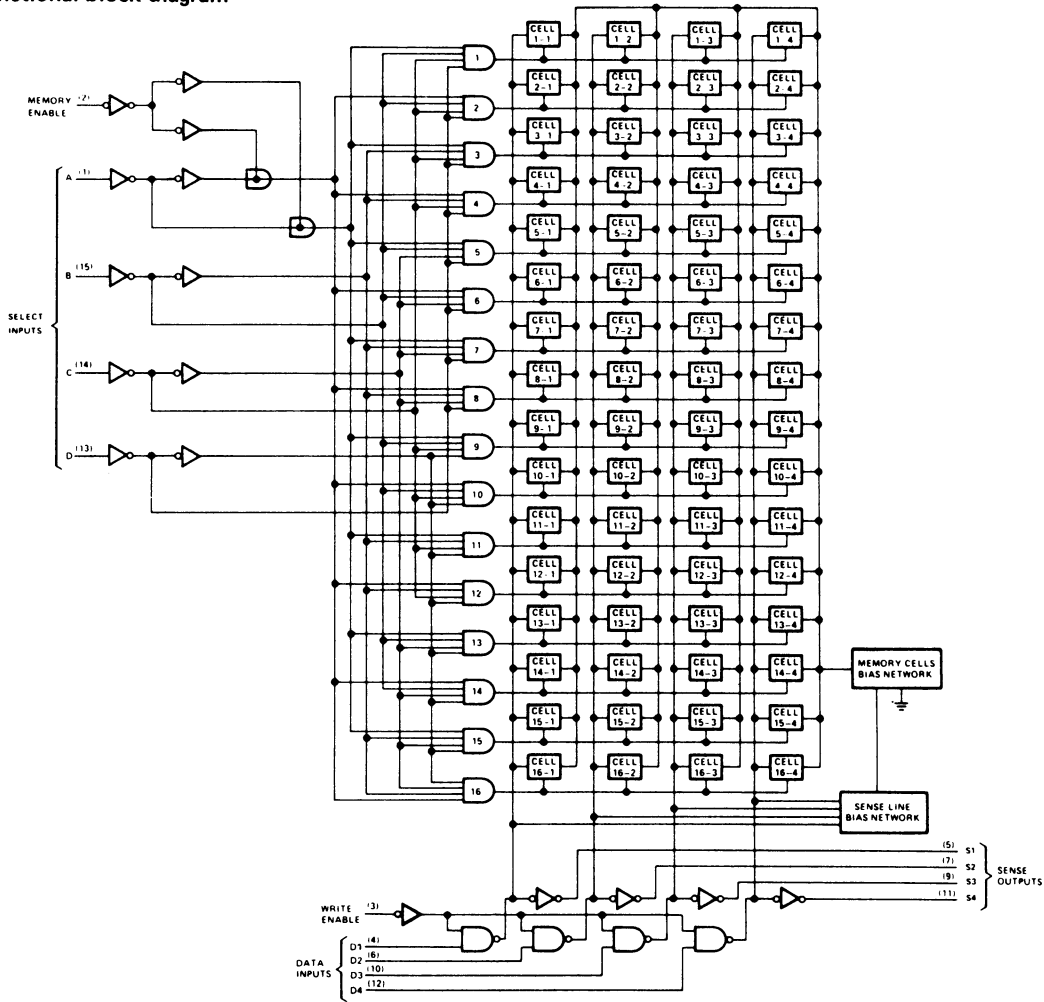
† Pin assignments for these circuits are the same for all packages.

**FUNCTION TABLE**

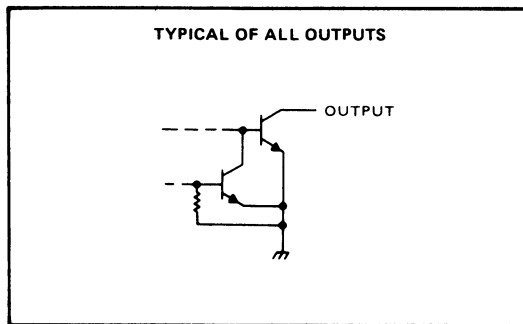
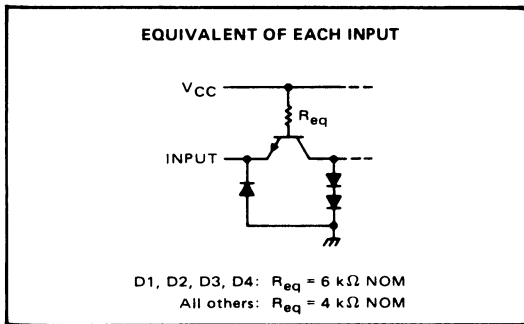
ME	WE	OPERATION	CONDITION OF OUTPUTS
L	L	Write	Complement of Data Inputs
L	H	Read	Complement of Selected Word
H	L	Inhibit Storage	Complement of Data Inputs
H	H	Do Nothing	High



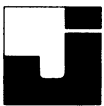
functional block diagram



schematics of inputs and outputs



De fire sense output forbindes til hver sin pull-up modstand.



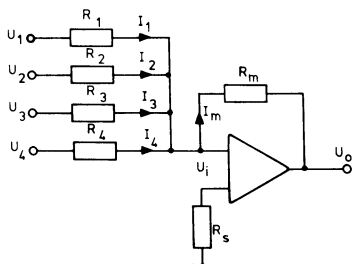
Hvad skal der indlæses på  $D_1$  til  $D_4$  til de seksten adresser for at få en korrekt binær kode på sense output for en given gray-kode?

$D_4$   $D_3$   $D_2$   $D_1$

1  
2  
3  
4  
5  
6  
7  
8  
9  
10  
11  
12  
13  
14  
15  
16



1. Hvad kaldes viste kredsløb?



2. Skriv udtrykket for  $U_o$  for kredsløbet i opgave 1.

$$U_o =$$

3. For kredsløbet i opgave 1 gælder:

$$U_1 = U_2 = U_3 = U_4 = 4 \text{ V,}$$

$$R_1 = R_m = 1\text{k}, R_2 = 2 R_1,$$

$$R_3 = 4 R_1 \text{ og } R_4 = 8 R_1.$$

- hvor meget er det største  $U_o$ ,  
når indgangen tilsluttes en  
NBCD-kode?

$$U_o =$$

- hvilken værdi har "full scale"?

$$\text{F.S.} =$$

4. Hvad er udgangsspændingen, hvis  
BCD-input = 0011.

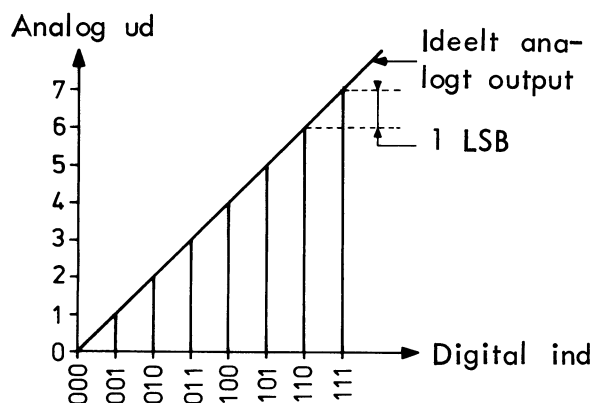
$$U_o =$$

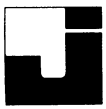
BCD-input = 0101.

$$U_o =$$

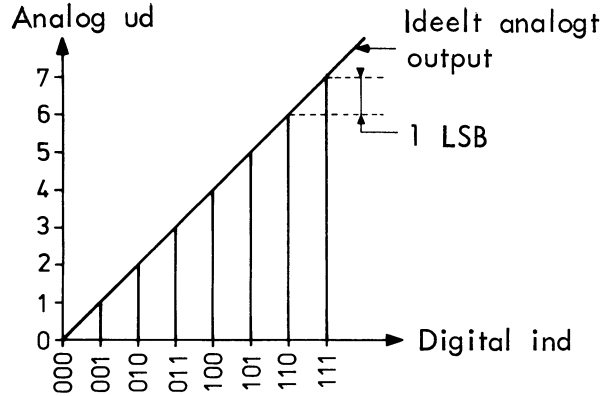
5. Hvorledes vil en gain-fejl,  $R_m$  for  
stor, ytre sig i summationskoblin-  
gen, koblet som DAC?

- indtegn  $U_o$  med gain-fejl

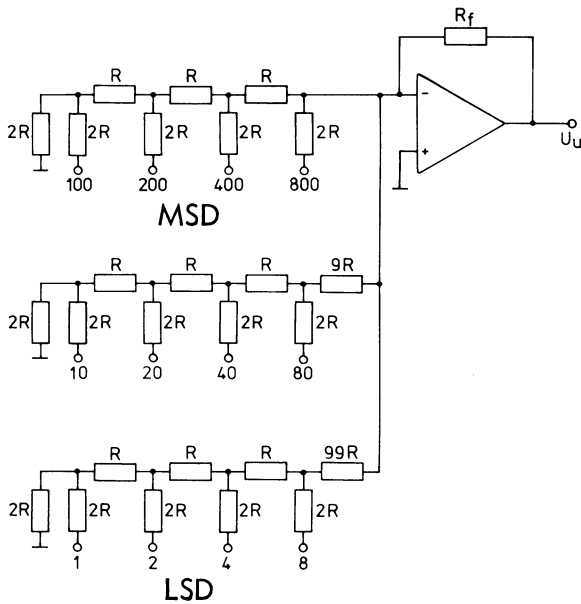




6. Hvorledes vil en offsetfejl ytre sig i summationskoblingen, koblet som DAC?  
- indtegn  $U_o$  med offsetfejl



7. Hvad kaldes viste kredsløb?




---

---

---

---

---

---

---

---

8. Dersom kredsløbet i opgave 7 tilføres en NBCD-kode, hvor "1" = +4 V og "0" = 0 V, hvor stor er udgangsspændingen, når  $R_f = 4R$ ?  
NBCD-input = 10011111010  
NBCD-input = 011000010111

$U_o =$  \_\_\_\_\_  
 $U_o =$  \_\_\_\_\_

9. En 10-bit binær DAC har "full scale" = 10 V, hvilken værdi har LSB?

LSB = \_\_\_\_\_

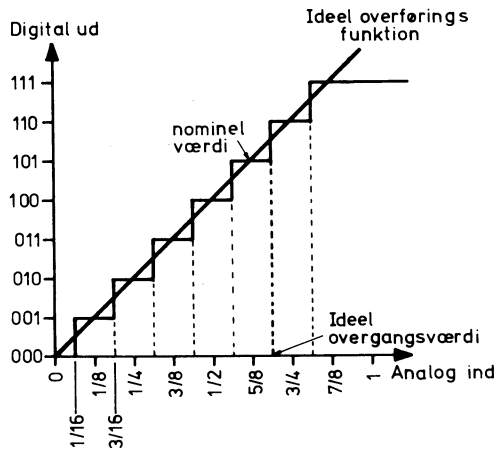
10. Hvor stor er nøjagtigheden på en 10-bit DAC under forudsætning af, at modstande og forstærker er ideelle?

---

---



1. Hvor stor er konverteringsnøjagtighed for viste ADC's overføringsfunktion?




---

---

---

---

---

---

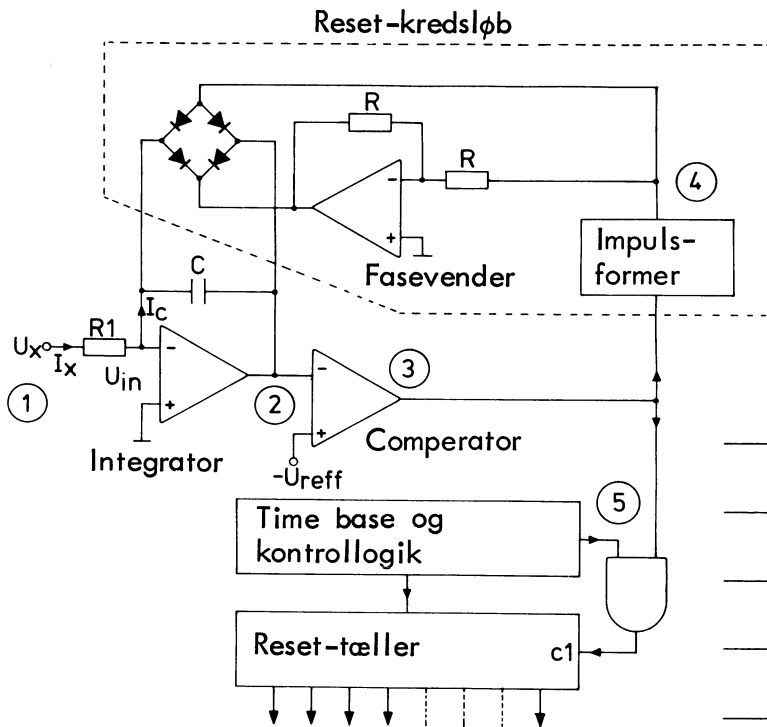
---

---

---

---

2. Hvilken sammenhæng er der mellem  $U_x$  og frekvensen på  $c1$  i viste kredsløb?




---

---

---

---

---

---

---

---

---

---

3. Hvis  $U_x$  i opgave 2 er positiv, hvilken kurveform kan da måles i (2) ?



4. Hvilken blokfunktion har resetkredsløbet i opgave 2?

---

---

---

---

- hvorfra styres resetkredsløbet?

---

---

---

5. Er outputfrekvensen fra computeren et udtryk for  $U_x$ ?

Ja   
Nej

- begrund svaret

---

---

---

---

---

---

---

---

---

---

---

---

---

---

---

---

---

---

---

---

---

---

---

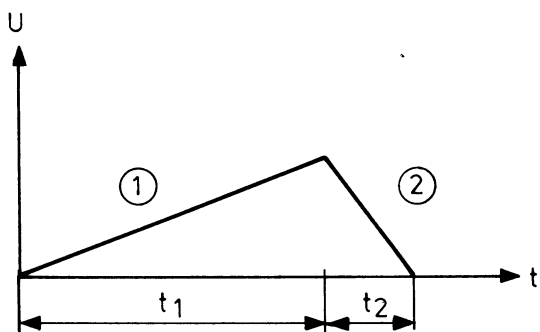
---



6. Tegn blokdiagrammet af en dual-slope AD-konverter.

Grid area for drawing the block diagram of a dual-slope ADC.

7. Viste kurveform er fra integratoren i en dual-slope A-konverter.



Horizontal lines for writing answers to question 7.

- hvilken del af kurven er den integrerede  $U_x$ ?
- hvilken del af kurven er den integrerede  $U_{REF}$ ?
- hvorledes ændres stejlheden af ① og ②, hvis  $U_x$  stiger?



- hvorledes ændres tidene  $t_1$  og  $t_2$ , hvis  $U_x$  stiger?

---

---

- hvilket sammenhæng er der mellem  $U_x$  og  $t_2$ ?

---

---

8. Tegn et blokdiagram af en rampe-tæller AD-konverter.



9. Beskriv kort den principielle virkemåde af rampetælleren i opgave 8.

Blank lines for writing the answer to question 9.

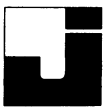
10. Tegn et blokdiagram af en successive approximation AD-konverter.

Grid area for drawing a block diagram for question 10.

11. I en successive approximation AD-konverter er DA-konverteren en 12-bit BCD-kodet konverter, LSB = 1 mV MSB = 800 mV.

- hvor mange clock-impulser skal der tilføres konverteren for at konvertere en  $U_x = 500 \text{ mV}$  ?

Blank lines for writing the answer to question 11.



1. Tegn et blokdiagram af et digitalvoltage meter indeholdende en dual-slope AD-konverter?

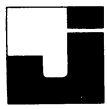
Grid area for drawing the block diagram of a digital voltage meter with a dual-slope AD converter.

2. Hvilken fordel opnås, hvis integreringsperioden af  $U_x$  er 20 ms i et dual-slope AD-konverter?

Blank lines for answering question 2.

3. Hvad vil et dual-slope DVM vise, hvis  $U_x$  ændres i integreringsperioden?

Blank lines for answering question 3.



4. Tegn et blokdiagram af et DVM indeholdende en successive approximation AD-konverter.

Grid area for drawing a block diagram of a DVM with a successive approximation AD converter.

5. Hvilken fordel har et DVM med en successive approximation AD-konverter i forhold til et dual-slope DVM?

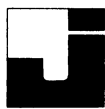
Three horizontal lines for answer to question 5.

6. Hvilke ting har indflydelse på målenøjagtigheden med et successive approximation DVM.

Four horizontal lines for answer to question 6.

7. I et dual-slope DVM kan 50 Hz brum undertrykkes ved rigtigt valg af integreringsperiode. Hvorledes kan brumproblemet klares i et successive approximation DVM?

Five horizontal lines for answer to question 7.



DISPOSITION

- 1. PLL
- 2. X-Y skriver

1. PLL

1.1 Tegn et blokdiagram af en PLL-oscillator

Dotted grid area for drawing a block diagram of a PLL oscillator.

1.2 Hvad betyder PLL ?

\_\_\_\_\_

1.3 Hvis referencefrekvensen er 25 kHz og delerforholdet  $N = 150$ , hvad er frekvensen fra VCO'en ?

\_\_\_\_\_

- hvis delerforholdet  $N = 151$ , hvad er frekvensen fra VCO'en ?

$f_{VCO} =$   
\_\_\_\_\_

$f_{VCO} =$   
\_\_\_\_\_



2. X-Y SKRIVER

2.1 Tegn blokdiagrammet af en X-Y skriver



2.2 Hvad er et "chopper"-kredsløb ?

---

---

---

---

---

---

---

---

---

---

2.3 Hvilke fordele opnås med en chopper ?

---

---

---

---

---

---

---

---

---

---

2.4 Hvilken opgave har et "Zero circuit" i en X-Y skriver ?

---

---

---

---

---

---

---

---

---

---

2.5 Hvilken sammenhæng er der mellem polariteten af impulsspændingen til en X- eller Y-indgang og fasen af den choppede spænding i forhold til netfrekvensen ?

---

---

---

---

---

---

---

---

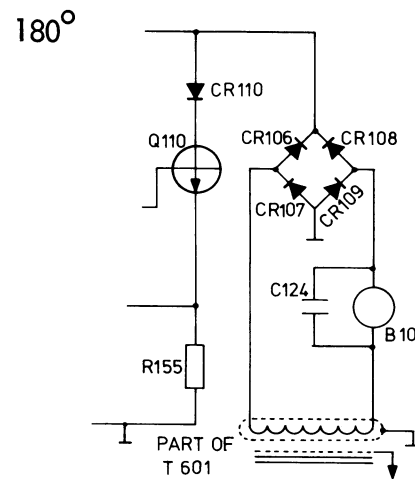
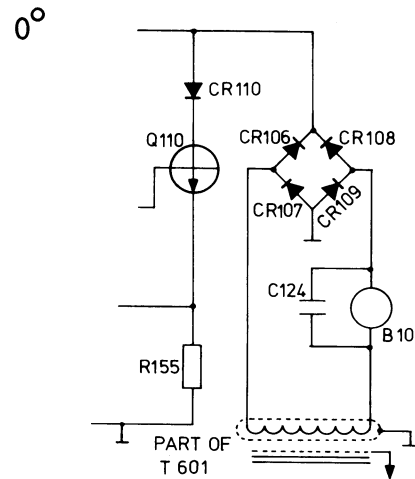
---

---



2.6 Dersom Q110 betragtes som en kontrakt, der styres af chop-frekvensen

- vis da strømvejen gennem motoren med  $0^\circ$  og  $180^\circ$  mellem chop-frekvens og netfrekvens





1. Tegn et blokdiagram af en funktionsgenerator.

Large grid area for drawing a block diagram.

2. Hvordan konverteres trekantspændingen til en firkantspænding?

Three horizontal lines for answer to question 2.

3. Hvordan kan trekanten omdannes til sinus?

Four horizontal lines for answer to question 3.

4. Hvor stor en klir-% vil sinusspændingen have ?  
- angiv ca. værdi

klir-% =  
Two horizontal lines for answer to question 4.